

JEOFİZİK

CİLT 6, SAYI 2 / EYLÜL 1992

VOL. 6, NO. 2 / SEPTEMBER 1992

Kalman Süzgeçinin Sismik Verilere Uygulanması
Ali SAYMAN

Doğal Gerilim Verisinden Küre Biçimli Bir Cismin
Parametrelerinin Türev Yöntemi ile Kestirimi
Ibrahim ONUR ve Erkan ÇETİNER

Magnitude Hatalarının Sismik Risk Hesaplarındaki Etkisi
ve Erzincan Çevresinde Deprem Riski
Ömer ALPTEKİN ve Ali Osman ÖNCEL

13 Mart 1992 Erzincan Depreminin
Ana Şok ve Art Sarsıntı Özellikleri Üzerine
Bir Tartışma
Haluk EYİDOĞAN

Döntüştürülmüş Fazlarla İstanbul Civarında Yerkabuğu
Yapısının Modellemesi
Mithat Fırat ÖZER ve Özer KENAR

Application of Kalman Filter to Synthetic Seismic Traces
Ali SAYMAN

The Estimation of the Parameters of the Spherical Body
from Self - Potential Data by the Gradient Method
Ibrahim ONUR and Erkan ÇETİNER

Effects of Magnitude Errors in Seismic Risk Estimates and
the Seismic Risk in Erzincan and Vicinity
Ömer ALPTEKİN and Ali Osman ÖNCEL

A Discussion on the Mainshock and Aftershock
Characteristics of the Erzincan Earthquake of
March 13, 1992
Haluk EYİDOĞAN

Crustal Structure Modeling Through the Use of Body
Wave Conversions Beneath İstanbul
Mithat Fırat ÖZER and Özer KENAR



TMMOB JEOFİZİK MÜHENDİSLERİ ODASI
THE CHAMBER OF GEOPHYSICAL ENGINEERS OF TÜRKİYE

**Leading-edge technology for
fast, efficient operations in
sensitive environments.**



CGG operates the most sophisticated 3D seismic tools and methods worldwide.

MASSY

Tel: (33-1) 64 47 30 00
Fax: (33-1) 64 47 39 70

LONDON

Tel: (44-81) 899 2400
Fax: (44-81) 899 2500

MOSCOW

Tel: (7-095) 230 20 71
Fax: (7-095) 230 26 63

HOUSTON

Tel: (1) 713/784 07 40
Fax: (1) 713/266 97 54

RIO DE JANEIRO

Tel: (55-21) 224 59 79
Fax: (55-21) 252 77 39

SINGAPORE

Tel: (65) 235 9
Fax: (65) 732 7



JEOFİZİK

TMMOB JEOFİZİK MÜHENDİSLERİ ODASI SÜRELİ YAYINI
JOURNAL OF THE CHAMBER OF GEOPHYSICAL ENGINEERS OF TÜRKİYE

**TMMOB
JEOFİZİK MÜHENDİSLERİ
ODASI**

Adına Sahibi ve Sorumlu
Yazı İşleri Müdürü
Osman DEMİRAG

•
YÖNETİM KURULU
Executive Committee
Osman DEMİRAG
M. Ali AK
Mehmet ALTINTAŞ
T. Fikret AKSU
Cemil KAVUKÇU
A. Uğur GÖNÜLALAN
İmam ÇELİK

•
EDİTÖR
Editor
Ahmet Tuğrul BAŞOKUR

•
**TMMOB
JEOFİZİK MÜHENDİSLERİ ODASI**
Mithatpaşa Cad. 45/15 P.K. 255
Kızılay - ANKARA - TÜRKİYE
Tel: (312) 435 13 79 Fax: (312) 432 10 85

•
BASILDIĞI YER
KOZAN Ofset Matbaacılık
Tic. ve San. Ltd. Şti.
Tel: (312) 341 14 27 • Fax: 341 28 60

•
DİZGİ
NORM AJANS
TANITIM HİZMETLERİ ve
TİC. LTD. ŞTİ.
Tel: (312) 230 40 50 Fax: 231 83 32

•
**YILDA İKİ KEZ MART VE EYLÜL
AYLARINDA YAYINLANIR.**
Published Twice a Year
in March and September

CİLT 6, SAYI 2 / EYLÜL 1992 VOL. 6, NO. 2 / SEPTEMBER 1992

İÇİNDEKİLER / CONTENTS

APPLICATION OF KALMAN FILTER TO SYNTHETIC SEISMIC TRACES	67
Kalman Süzgeçinin Sismik Verilere Uygulanması	
Ali SAYMAN	
DOĞAL GERİLİM VERİSİNDEN KÜRE BİÇİMLİ BİR CISMIN PARAMETRELERİNİN TÜREV YÖNTEMİ İLE KESTİRİMİ	77
The Estimation of the Parameters of the Spherical Body from Self - Potential Data by the Gradient Method	
İbrahim ONUR ve Erkan ÇETİNER	
MAGNİTÜD HATALARININ SİSMİK RİSK HESAPLARINDAKİ ETKİSİ VE ERZİNCAN ÇEVRESİNDE DEPREM RİSKİ	85
Effects of Magnitude Errors in Seismic Risk Estimates and the Seismic Risk in Erzincan and Vicinity	
Ömer ALPTEKİN ve Ali Osman ÖNCEL	
13 MART 1992 ERZİNCAN DEPREMİNİN ANA ŞOK VE ART SARSINTI ÖZELLİKLERİ ÜZERİNE BİR TARTIŞMA	103
A Discussion on the Mainshock and Aftershock Characteristics of the Erzincan Earthquake of March 13, 1992	
Haluk EYİDOĞAN	
DÖNÜŞMÜŞ FAZLARLA İSTANBUL CİVARINDA YERKABUĞU YAPISININ MODELLENMESİ	
Crustal Structure Modeling Through the Use of Body Wave Conversions Beneath İstanbul	
Mithat Fırat ÖZER ve Özer KENAR	
TEZ ÖZETLERİ	125
ODA ÜYELERİ	126

APPLICATION OF KALMAN FILTER TO SYNTHETIC SEISMIC TRACES

Kalman Süzgecinin Sismik Verilere Uygulanması

Ali SAYMAN*

ABSTRACT

In this paper, the application of the Kalman filter for the seismic deconvolution problem is discussed. The behaviors of these feedback filters with different dimensions are examined by applying them to different kind of synthetic seismic traces. The outputs of discrete Kalman filter for deconvolution are noisy as expected. For this reason, optimal fixed interval smoothing filters are applied to the outputs of these filters to attenuate high frequency energy. From the outputs of the filters, it has been observed that the Kalman and the fixed-interval smoothing filters are successful in random noise suppression.

ÖZET

Bu yazıda geri beslemeli bir süzgeç türü olan Kalman süzgecinin sismik tersevrism işlemelerine uygulanması yapılarak, çeşitli boyutlardaki süzgeçlerin farklı nitelikteki sismik izler karşısındaki davranışları tartışılmıştır. Beklenildiği gibi, tersevrism için aynı Kalman süzgecinin çıktıları gürültülüdür. Bu süzgeçlerin çıktılarına yüksek sıklıkta enerjiyi sönmlemek için, en iyi belirli aralık yuvarlatma süzgeci uygulanmıştır. Kalman ve belirli aralık yuvarlatma süzgeçlerinin çıktıları, bu süzgeçlerin gürültü bastırmasında başarılı olduklarını göstermiştir.

INTRODUCTION

One of the major problems of exploration seismology is the deconvolution of seismic traces. Most of the algorithms use the Wiener filtering. In the present paper, we have attempted to use the Kalman filtering. The first attempt to use the Kalman filtering for seismic deconvolution has been made by Bayless and Brigham (1970). Ott and Meder (1972) have used the Kalman filtering and the associated state-space representation to design a prediction error filter. Crump (1974) has used the discrete Kalman filter for deconvolution of seismic traces. Mendel (1976, 1977) has used the Kalman filtering to obtain the optimal smoothing estimation for the reflection coefficient series. Mendel and Kormylo (1977, 1978) and Kormylo and Mendel (1980) have developed a Kalman filtering approach to obtain optimal estimation of the reflection coefficient sequence. Their approach is applicable to the time varying or time invariant processes along with stationary or non-stationary noise processes. Mendel et al. (1981) have demonstrated some examples of the use of the state-space representation models in seismic applications. Aminzadeh and

Mendel (1983) have studied the state-space representation of normal incidence waves propagating in a multilayered dissipative medium.

In this paper, the discrete Kalman filters with different dimensions are applied to synthetic seismic traces for deconvolution purpose. The optimum fixed-interval smoothing filter with two different dimensions are also used to eliminate the high frequency energy. The RMS values of the filter outputs are compared with those of the input signal

DISCRETE KALMAN FILTER

State and measurement equations for a single channel data are given (Medich (1969) and Mendel (1979)) as

$$\underline{x}(k+1) = \Phi \underline{x}(k) + \varphi \mu(k) \quad (1)$$

$$z(k) = h' \underline{x}(k) + v(k) \quad (2)$$

In the state equation : \underline{x} is the $n \times 1$ state vector; Φ is the $n \times n$ state transition matrix; $\varphi(k)$ is the input distribution vector (disturbance transition vector); $\mu(k)$ is the scalar input

* Valideçeşme Armağan Sokak, No: 31, Beşiktaş, İstanbul.

noise value. In the measurement equation: $z(k)$ is the scalar measurement (observation) value; $v(k)$ is the scalar measurement (observation) noise value; $h(k)$ is $n \times 1$ the measurement vector and $h'(k)$ denotes transpose of $h(k)$; and $k = 0, 1, 2, 3, \dots$ is the discrete time index.

In this paper, I have made some assumptions about two noise sequences ($\mu(i)$) and $v(i)$. These are:

- a) $\mu(i)$ and $v(i)$ are two zero mean sequences.

$$E[\mu(i)] = 0 : i > 0 \quad (3)$$

$$E[v(i)] = 0 : i > 0$$

- b) $\mu(i)$ and $v(i)$ are stationary white noise sequences.

c) The variance of $\mu(i)$ and $v(i)$ are known and denoted by q and r , respectively:

$$E[\mu(i)\mu(j)] = q\delta_{ij} \quad (4)$$

$$E[v(i)\mu(j)] = r\delta_{ij}$$

where δ_{ij} is the Kronecker delta and defined as unity when $i = j$, and zero otherwise.

- d) $\mu(i)$ and $v(i)$ are uncorrelated.

$$E[\mu(i)v(j)] = 0 \quad (5)$$

The Kalman filter can be applied to measurement sequence $z(1), z(2), \dots, z(k)$. For simplicity, I use "k" to indicate the time index for the present time. Any time t (t_k and t) t_k indicate the past and future times, respectively.

$\hat{x}(k|j)$ indicates the optimal filtered estimate of $x(k)$ based on all measurements of $z(1), z(2), \dots, z(k)$. According to this representation, for $j=k$, the estimate of $x(k)$ is the optimal filtered estimate; for $j < k$, the estimate of $x(k)$ is the optimal predicted estimate; for $j > k$, the estimate of $x(k)$ is the optimal smoothed estimate.

The Kalman filter algorithm for a single channel data can be represented by the following prediction and correction equations.

Prediction equation

$$\hat{x}(k+1|k) = \Phi(k, k)\hat{x}(k|k) \quad (6)$$

$$P(k+1|k) = \Phi P(k|k) \Phi' + \rho q \rho \quad (7)$$

Correction equations

$$\hat{x}(k+1|k+1) = \hat{x}(k+1|k) + K(k+1)[z(k+1) - h'\hat{x}(k+1|k)] \quad (8)$$

$$K(k+1) = P(k+1|k+1)h[h'P(k+1|k)h + r]^{-1} \quad (9)$$

$$P(k+1|k+1) = [I - K(k+1)h']P(k+1|k) \quad (10)$$

In these equations: $\hat{x}(k+1|k+1)$ is the $n \times 1$ optimal filtered estimate; $\hat{x}(k+1|k)$ is the $n \times 1$ optimal predicted estimate; $X(k+1|k+1)$ is the $n \times n$ filtered error covariance matrix; $P(k+1|k)$ is the $n \times n$ predicted error covariance matrix; $K(k+1)$ is the $n \times n$ Kalman gain matrix; I is the $n \times n$ identity matrix. Additionally, $P(0|0) = P(0)$ and $\hat{x}(0|0) = \hat{x}(0)$ are taken as initial conditions.

In the calculation of Φ , ρ , and h , the Laplace transform method which was discussed in detail in Mendel and Kormylo (1978) is used.

OPTIMAL FIXED INTERVAL SMOOTHING FILTER

The Kalman filter with $k(j)$ is used for the smoothing process which was explained in the previous section. The state space representation of the smoothed estimates was given by eq. (1). In that equation $\hat{x}(k|N)$, $k=0, 1, 2, \dots, N-1$, N is called the the fixed-interval smoothed estimate; $\hat{x}(k|j)$, $j = k-1, k-2, \dots, N$ is called the fixed-point estimate; $\hat{x}(k|k+N)$, $k = 0, 1, 2, \dots, 1, N$ is the fixed-lag smoothed estimate. In this section, I will be interested in the fixed-interval smoothing estimate.

The optimal fixed-interval smoothing estimate for single channel data is given in the following equations:

$$\hat{x}(k|N) = \hat{x}(k|k) + A(k)[\hat{x}(k+1|N) - \hat{x}(k+1|k)] \quad (11)$$

$$A(k) = P(k|k)\Phi'(k+1,k)P^{-1}(k+1|k) \quad (12)$$

$$P(k|N) = P(k|k) + A(k)[P(k+1|N) - P(k+1|k)]A'(k) \quad (13)$$

In these equations: $\hat{x}(k|N)$ is the $n \times 1$ fixed-interval smoothed estimate vector; $A(k)$ is the $n \times n$ smoothing filter gain matrix; $P(k|N)$ is the $n \times n$ smoothing error covariance matrix; $K = N-1, N-2, \dots, 1, 0$ is the discrete time index. All values of $\hat{x}(k|k)$, $\hat{x}(k+1|k)$, $P(k|k)$, $P(k+1|k)$ as input for algorithm of optimal fixed-interval smoothed estimates are required for each k in the Kalman filter. Initial conditions or boundary conditions, $\hat{x}(N|N)$ and $P(N|N)$ the last value of $\hat{x}(k|k)$ and $P(k|k)$ for $k = 0, 1, 2, \dots, N$ are taken from Kalman filter. These initial values are the first values of the fixed-interval filtered estimate for $k = N-1, N-2, \dots, 0$.

SEISMIC TRACE

Robinson (1967) showed that a simple synthetic seismogram can be obtained from the deconvolution of the source wavelet with the reflection coefficient sequence. This process can be shown as:

$$y(k) = \sum_{\vartheta=1}^k [\omega(k, \vartheta) \mu(\vartheta)] + v(k), \quad k = 1, 2, 3, \dots \quad (14)$$

where $y(k)$ is the seismic signal; $w(k, \vartheta)$ is the time varying seismic wavelet; $\mu(\vartheta)$ is the reflection coefficient sequence; $v(k)$ is measurement noise; k is the sampling number; N is the index that is defined by $N=1$ for $k < L$ and $N=k-L+1$ for $k \geq L$ where L is the wavelet length in number of sample periods. The term $w(k, \vartheta)$ represents the $(k-\vartheta+1)$ th sample of the wavelet model corresponding to the time of k sample periods.

TIME VARYING SINGLE CHANNEL DISCRETE KALMAN FILTER

The state-space representation is obtained incorporating the base (transition) matrix into the discrete Kalman filter in Crumpton (1974). Let us look at again equation (14). A change in k is defined by $i = k-\vartheta+1$. This transforms the equation (14) to:

$$y(k) = \sum_{i=1}^{J-k} [w(k-i+1) \mu(k-i+1)] + v(k), \quad k = 1, 2, \dots \quad (15)$$

where $J=k$ for $k < L$ and $J=L$ for $k \geq L$.

$h(k)$ takes the wavelet values as $h'(k) = w(k, k-i+1)$. Then the equation (15) can be written as:

$$y(k) = \sum_{i=1}^j [h'(k) \mu(k-i+1)] + v(k) \quad (16)$$

According to this definition, measurement vector can be written as

$$y(k) = h'(k) \underline{x}(k) + v(k) \quad (17)$$

The state vector can also be defined as

$$\underline{x}(k) = \begin{bmatrix} \mu(k) \\ \mu(k-1) \\ \dots \\ \dots \\ \mu(k-L+1) \end{bmatrix} \quad (18)$$

The reflection coefficient sequence is assumed as:

$$\mu(k+1) = \sum_{i=1}^j [b_i(k) \mu(k)] + u(k) \quad (19)$$

where $u(k)$ is the white random process and $b(k)$ is a vector in which the reflectivity function is expected to change with depth.

Using these definitions, the state equation can be written as

$$\underline{x}(k+1) = \Phi(k+1, k) \underline{x}(k) + q u(k) \quad (20)$$

where

$$\Phi(k+1, k) = \begin{bmatrix} b_1(k) & b_2(k) & b_3(k) & \dots & b_{L-1}(k) & b_L(k) \\ 1 & 0 & 0 & \dots & 0 & 0 \\ 0 & 1 & 0 & \dots & 0 & 0 \\ \dots & \dots & \dots & \dots & \dots & \dots \\ 0 & 0 & 0 & \dots & 1 & 0 \end{bmatrix} \quad (21)$$

and

$$q = [1 \ 0 \ 0 \ 0 \ \dots \ 0]^\top \quad (22)$$

Transition matrix or base matrix can be given in this state-space representation as

$$\Phi(k+1, k) = \Phi(k+1, k)^k \quad (23)$$

Here, transition matrix is time-variant, therefore discrete Kalman filter becomes a time-variant filter (Cazdow and Martens, 1970).

APPLICATIONS:

As I have mentioned before, the Kalman filter has been applied to synthetic seismograms. In calculating these synthetics, I have used the actual sonic log taken by the Turkish Petroleum Company. These data are assumed to represent the reflection coefficient series. Using Robinson's approach, which was explained above, I convolved them with a source wavelet. Two different source wavelets have been used. These are defined by

$$w(t) = \exp(-100t) \sin(100t) \quad (24)$$

and

$$w(t) = -1360t \exp(-500t) + 0.5 \exp(-15.3t) \sin(2\pi t/0.06) \quad (25)$$

The source wavelet calculated using (24), the sonic log and the synthetic seismogram are given in Figure 1. As it is

seen in Figure 1 (b), the sonic log contains a certain level of noise. Due to this, the synthetic seismogram given in Figure 1 (c) is slightly noisy. However, in order to see the operation of the Kalman filter on noisy signals, I have added additional Gaussian noise onto the synthetic seismogram. The signal to noise ratio calculated from

$$S = \frac{\frac{1}{M} \sum_{k=1}^M s^2(k)}{\frac{N}{M} \sigma^2} \quad (26)$$

is taken as unity, where $s(k)$ is the noise free discrete synthetic seismic trace; M is the number of sample, σ_M^2 is the variance of the Gaussian (normal) noise.

The result of the 2×2 dimensional discrete Kalman filter are shown in Figure 2. Figure 2 (a) and (b) are the synthetic and noisy synthetic traces. The output of the Kalman filter is given in Figure 2(c). As it is seen in Figure 2(b), the signals are masked by the noise. Though the noise is suppressed in certain amount by the Kalman filter, as it is observed from Figure 2(c), the S/N ratio is still close to 1. On the other hand the fixed-interval smoothing filter is more successful in eliminating the random noise as is seen in Figure 2(d).

The same data have been filtered using a 26×26 dimensional Kalman filter. The result is given in Figure 2(e). Comparing the output of this filter with that of 2×2 Kalman filter given in Figure 2(c), we can see that the 26×26 dimensional filter is better. However, due to the large matrices, it takes more CPU time in numerical calculations. In addition, much more memory space is needed to run the computer program.

The other data set used in numerical calculations was obtained using the source wavelet given in equation (25). The wavelet along with the reflection coefficient sequence and synthetic seismogram are given in Figure 3. These data have been filtered using 4×4 and 40×40 dimensional Kalman filters. Figure 4 shows the result of the 4×4 dimensional Kalman filter and that of the fixed-interval smoothing filter. The results of the 40×40 Kalman filter are given in Figure 4(e).

ERRORS IN THE OUTPUTS OF THE DISCRETE KALMAN AND SMOOTHING FILTERS

Information about the quality of the filtering can be acquire by showing the integral-square-errors of the outputs of discrete Kalman filter and optimal fixed-interval smoothing filter which have been applied to noisy synthetic seismic trace. The square errors between noiseless and noisy seismogram, output of the Kalman filter and fixed-interval smoothing filter can be defined respectively as:

$$\begin{aligned} e_1^2 &= [z(k) - y(k)]^2 \\ e_2^2 &= [h' \underline{x}(k+1 | k+1) - y(k)]^2 \\ e_3^2 &= [h' \underline{x}(k | N) - y(k)]^2 \end{aligned} \quad (27)$$

where $y(k)$ is the noiseless seismic trace, $z(k)$ is the noisy seismic trace, $h' \underline{x}(k+1 | k+1)$ is the output of the discrete Kalman filter, $h' \underline{x}(k | N)$ is the output of the optimal fixed-interval smoothing filter.

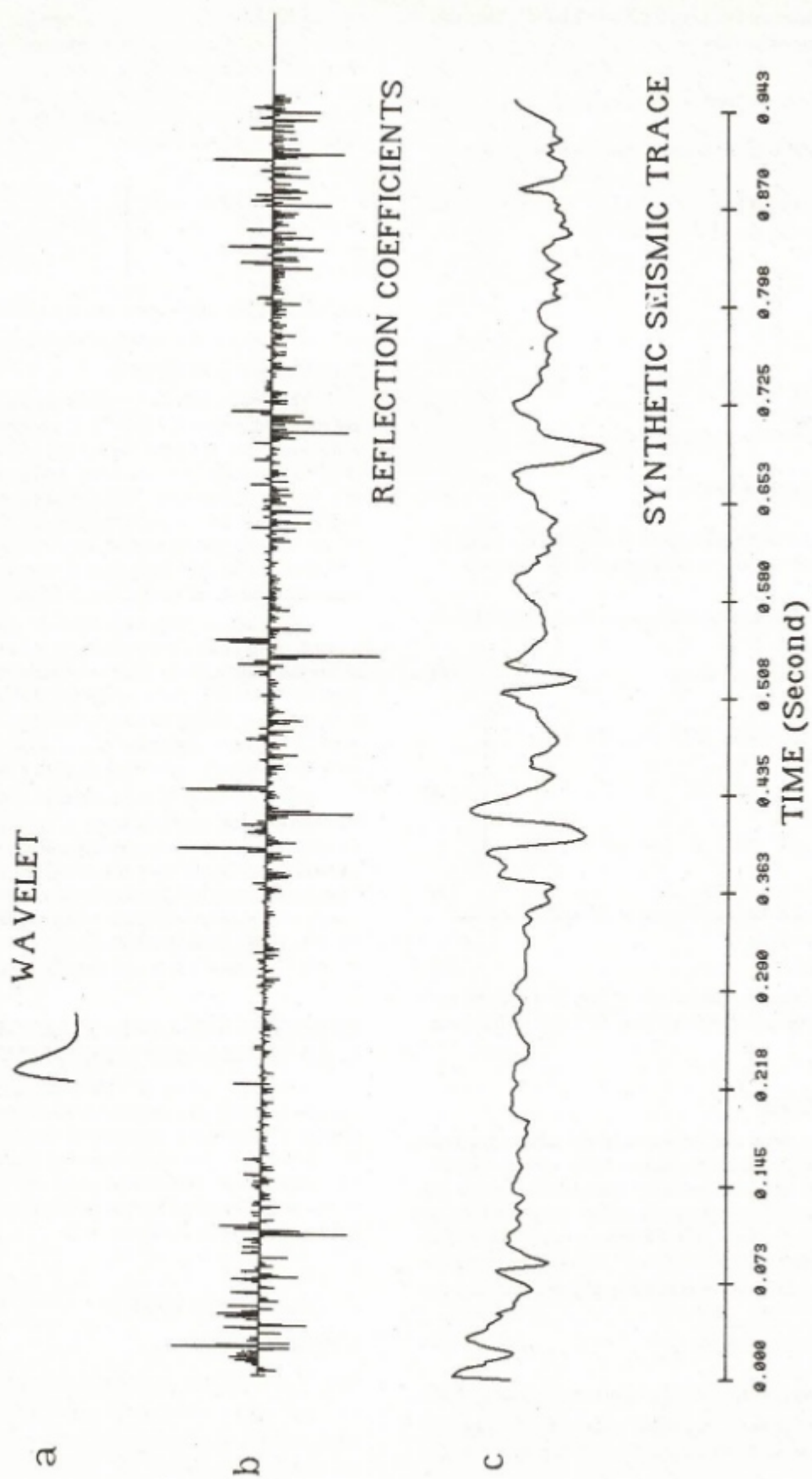


Fig. 1. The source seismic wavelet (a), the reflection coefficient sequence (b), and the noise free synthetic seismic trace (c).

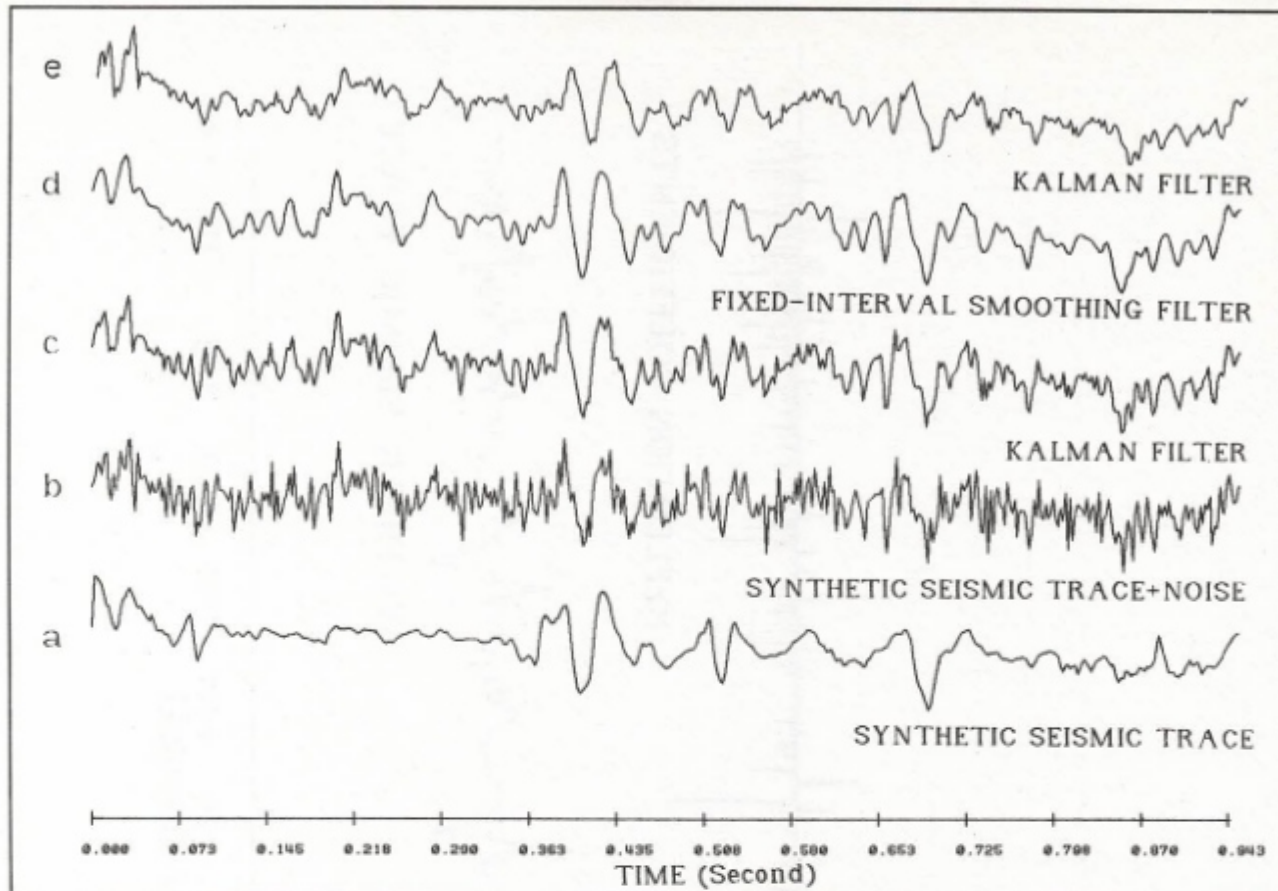


Fig. 2. The application of 2x2 (c) and 26x26 (e) dimensional discrete Kalman filter and 2x2 (d) dimensional fixed interval smoothing filter. Synthetic seismic trace (a, b), (S/N=1).

The square error of 2x2 and 26x26 dimensional Kalman and fixed-interval smoothing filters are shown in Figure 5. Figure 5 (a) shows the square error between the original and noisy seismograms. Figure 5 (b), (c) and (d) display the normalized square errors between original seismogram and the output of 2x2 dimensional Kalman filter, 2x2 dimensional fixed-interval smoothing filter and the output of 26x26 dimensional Kalman filter. Comparing these with the Kalman filter outputs given in Figure 2, we can see that the square errors shown in Figure 5 (b) and (c) are large in those parts of seismogram that the seismic wavelet exist while the square errors are small in the outputs corresponding to random noise. On the other hand, the same feature does not exist in 26x26 dimensional Kalman filter output as it is observed in Figure 5 (d).

The same comparison has been made for 4x4 and 40x40 dimensional filters. The results are given in Figure 6 (a), (b), (c), (d). These are also normalized to their maximum values. If we compare these outputs with those given in Figure 5, we may conclude that the performance of 4x4 dimensional filter is better than that of 2x2 filter. If we compare the large dimensional filters, we may again say that 40x40 dimensional filter is more efficient than 26x26 dimensional filter.

The sequence of the square error is not a good criterion for determination of the filter achievement. Indeed, when I compared only the square errors, I concluded above that 4x4

Kalman filter was better than 2x2 Kalman filter. On the other hand, the performance of the filter is best examined by calculating the integral-square-error of each trace. The total integral square error for 2x2, 4x4, 26x26, 40x40 dimensional Kalman filters calculated are: 0.1001, 0.2576, 0.1513, 0.0277, respectively. Obviously, the best filter is the one with the smallest-integral-square-error. In the present case, 40x40 filter has the smallest-integral-square-error. On the other hand, this filter is too large dimensional filter, consequently it is not economical. The second least-integral-square-error filter is the 2x2 filter with 0.1001 total error. Thus, we may conclude that the most economical and reliable filter is the 2x2 dimensional Kalman filter for the present data set.

CONCLUSION

In this study, the application of the Kalman filter to seismic deconvolution is discussed. The behaviors of these feedback filters with different dimensions are examined by applying them to different kind of seismic traces. It works in the time domain, and one of the most significant features of the Kalman filter is its feedback. This feature makes the computing easy on digital computers. However, large dimensional Kalman filters need too much computing time in application. The experiments showed that the noise reduction is not too sensitive to the filter length.

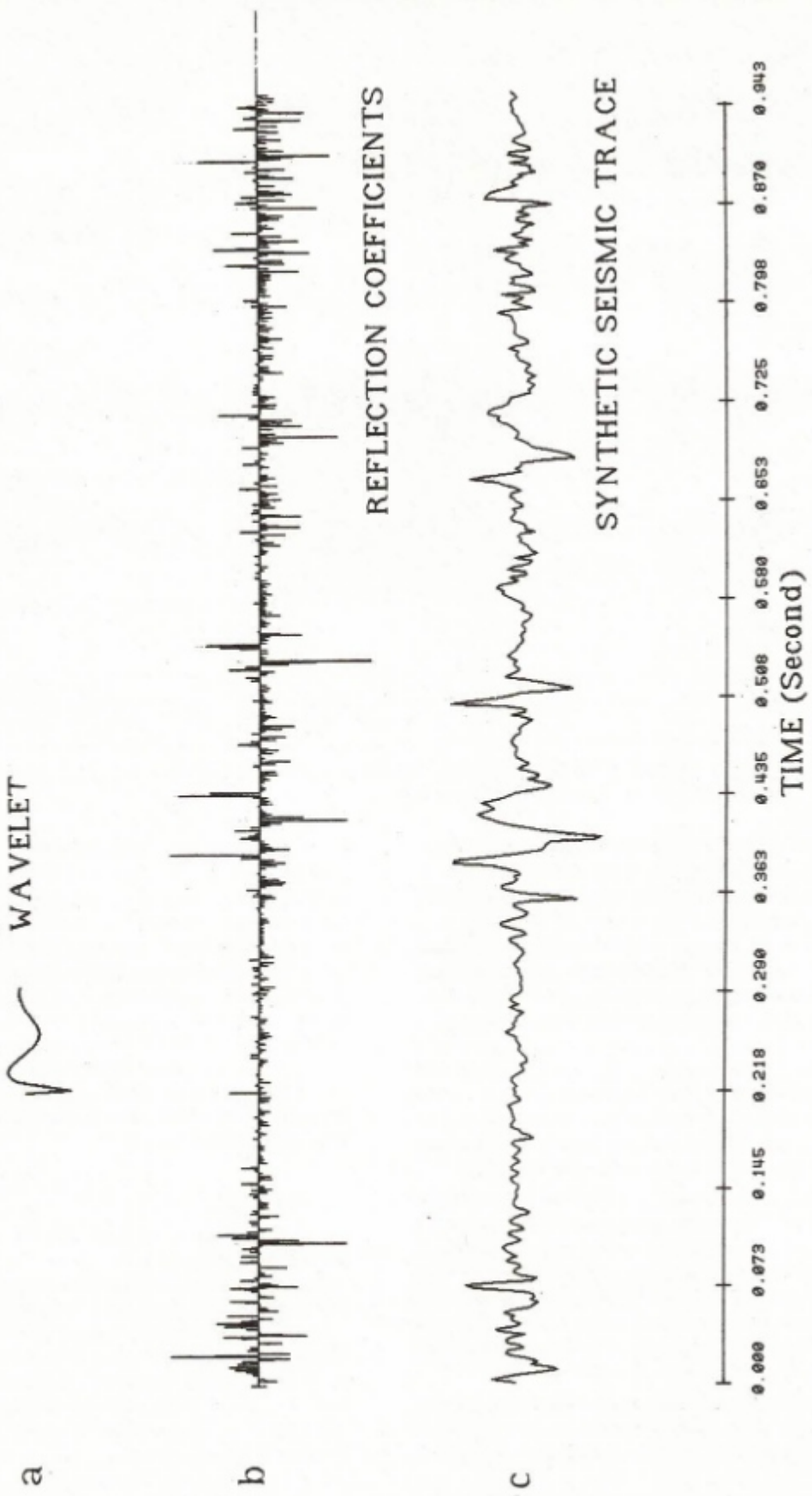


Fig. 3. The source seismic wavelet (a), the reflection coefficient sequence (b), and the noise free synthetic seismic trace (c).

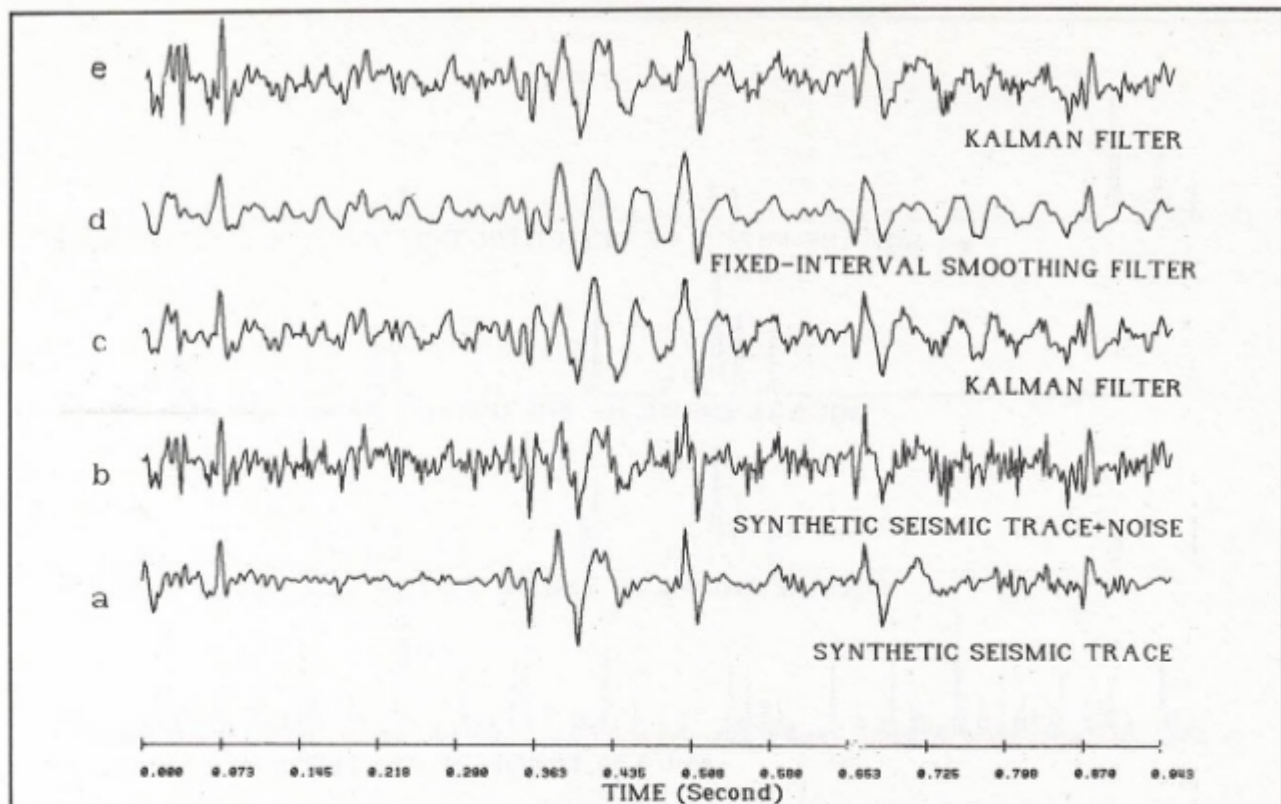


Fig. 4. The application of 4x4 (c) and 40x40 (e) dimensional discrete Kalman filter and 4x4 (d) dimensional fixed interval smoothing filter. Synthetic seismic trace (a,b), ($S/N=1$).

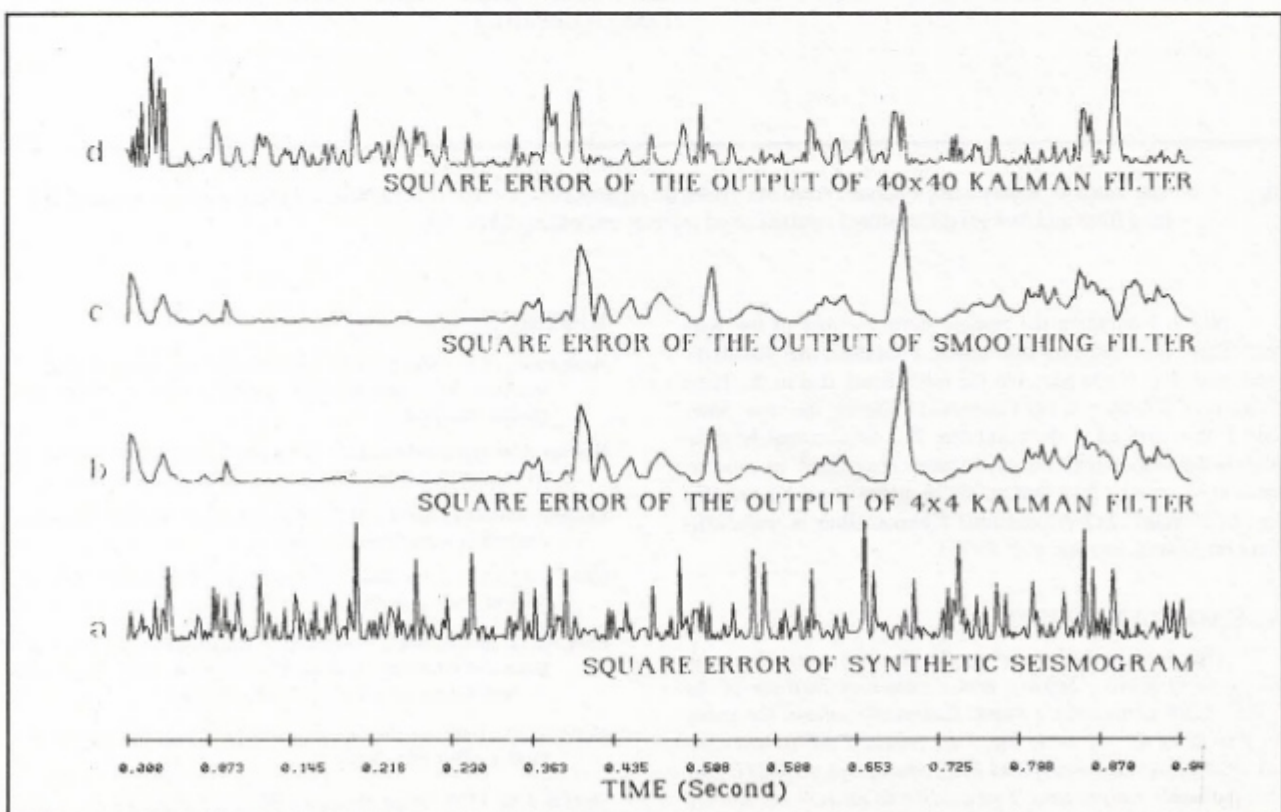


Fig. 5. The value of square error obtained from the synthetic seismogram (a), 2x2 (b) and 26x26 (d) dimensional discrete Kalman filter and 2x2 (c) dimensional optimal fixed interval smoothing filter ($S/N=1$).

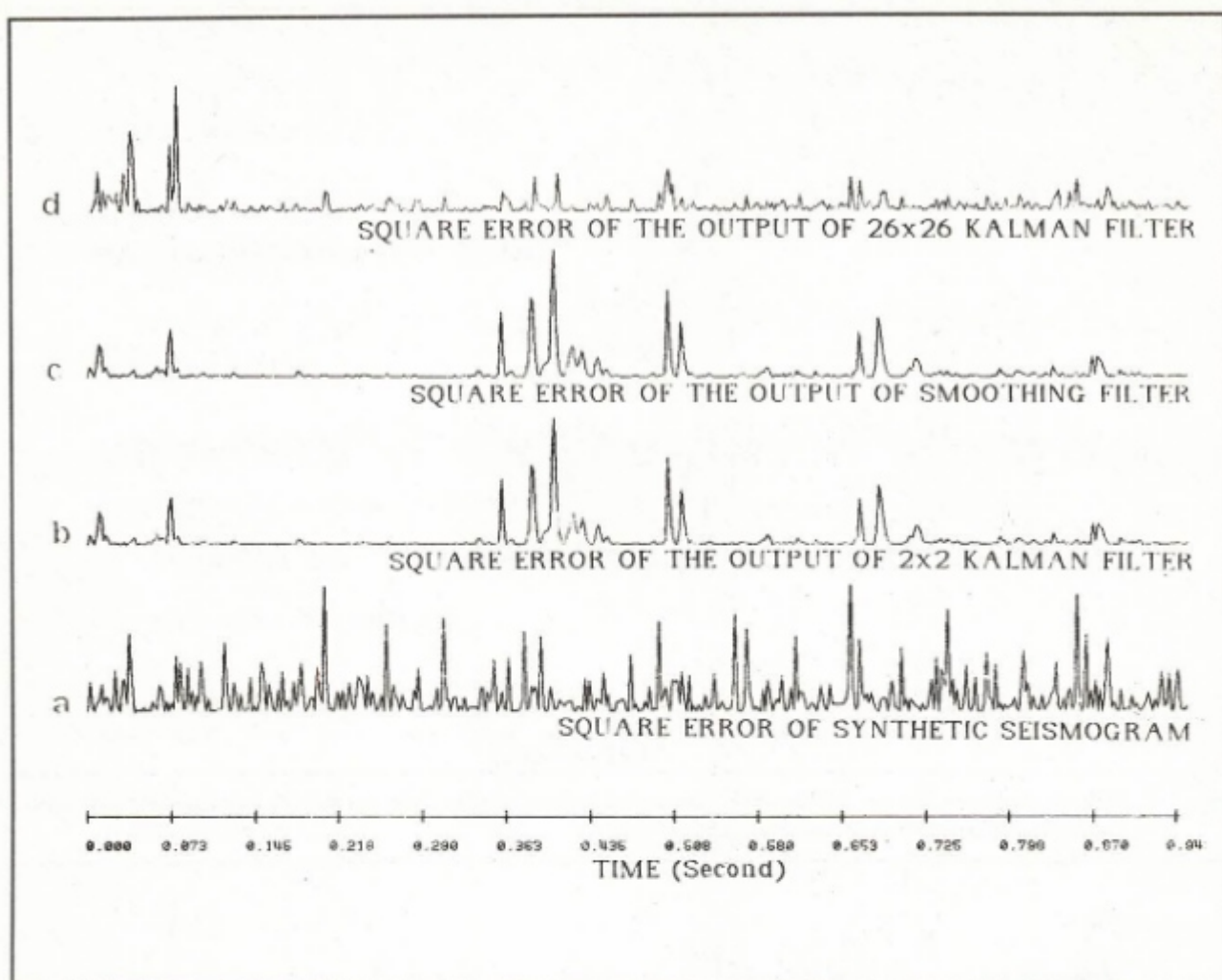


Fig. 6. The value of square error obtained from the synthetic seismogram (a), 4x4 (b) and 40x40 (d) dimensional interval Kalman filter and 4x4 (c) dimensional optimal fixed interval smoothing filter ($S/N=1$).

When I compare the integral-square-errors of the Kalman filters with different dimension, I obtained that 40x40 dimensional one is the best. On the other hand, due to the large dimension, this filter is not economical. During the same analysis, I have arrived at the point that 2x2 dimensional Kalman filter is the second least-integral-square-error filter. Its total error is even smaller than that of 26x26 dimensional Kalman filter. As a result, 2x2 dimensional Kalman filter is more efficient on seismic records with $S/N=1$.

ACKNOWLEDGMENT

This work is the part of my Ph. D. thesis while I was on the study of Marine Science and Technology Institute of the Dokuz Eylül University. I thank Turkish Petroleum Company for providing me the sonic log. I appreciate Prof. Bülent Sançur of Boğaziçi University and Prof. Murat Aşkar (METU) for their valuable suggestions. I would like to express my sincere appreciation to Prof. Nezih Canitez for critically reading and making many valuable improvements.

REFERENCES

- Aminzadeh, F. and Mendel, J.M. 1983, Normal incidence layered system state-space models which include absorption effects, Geophysics 48, 259-271.
- Bayless, J.M. and Brigham, E.O. 1970, Application of the Kalman filter to continuous signal restoration, Geophysics 35, 2-23.
- Cazdow, J.A. and Martens, H.R. 1970, Discrete Time and Computer Control Systems, Prentice Hall.
- Crump, N.D. 1974, A Kalman filter approach to the deconvolution of seismic signals, Geophysics 39, 1-13.
- Korymlo, J. and Mendel, J.M. 1980, Simultaneous spherical divergence correction and optimal deconvolution, IEEE Trans. Geosci. and Remote Sensing V. GE-18, 273-280.
- Meditch, J.S. 1969, Stochastic optimal linear estimation and control, McGraw Hill, New York.
- Mendel, J.M. 1976, Single channel white noise estimators for predictive deconvolution, Presented of the 46th. Annual International SEG Meeting, Houston, Texas.

- Mendel, J.M. 1977, White noise estimators for seismic data processing in oil exploration, *IEEE Trans. on Auto. Contro.* V.AC-22, 694-706.
- Mendel, J.M. 1979, Kalman Filtering for Exploration Geophysicsts In-depth Course, University of Southern California, Dept. of Electrical Engineering.
- Mendel, J.M. and Kormylo, J. 1977, New-fast optimal white noise estimators for deconvolution, Spec. Iss., *IEEE Trans. on Geosci. Electron* V.GE-15, 32-41.
- Mendel, J.M. and Kormylo, J. 1978, Single channel white noise estimators for deconvolution, *Geophysics* 43, 102-124.
- Mendel, J.M.,Kormylo, J., Aminzadeh, F., Lee, J.S. and Ashrafi, F.H. 1981, A novel approach to seismic signal processing and modelling, *Geophysics* 46,1398-1414.
- Ott, N. and Meder, H.G. 1972, The Kalman filter as a prediction error filter, *Geophysical Prospecting* 20, 549-560.
- Robinson, E.A. 1967, Predictive Decomposition of Time Series with Application to Seismic Exploration, *Geophysics* 32,414-484 (1954 Ph.D. Thesis).

DOĞAL GERİLİM VERİSİNDEN KÜRE BİÇİMLİ BİR CISMIN PARAMETRELERİNİN TÜREV YÖNTEMİ İLE KESTİRİMİ

The Estimation of the Parameters of the Spherical Body from Self-Potential Data by the Gradient Method

İbrahim ONUR* ve Erkan ÇETİNER*

ÖZET

Bu çalışmada; uçaşmış bir küre modelinin oluşturacağı kuramsal türev (potential gradient) belirtilerini 0° - 360° arasında istenilen bir uçaşma açısı için çizebilen, kürsel biçimli maden yatağının yerini, uçaşma odak derinliğini, uçaşma ekseniinin düşeyle yaptığı uçaşma açısını ve uçaşma eksene dik olarak alınan eksenin eğimini bulabilen, BASIC dilinde bir bilgisayar programı hazırlanmıştır.

Hazırlanan program, Yüngül (1950) tarafından Ergani bakır sahasında ölçülen Weiss ve Süleymanköy doğal gerilim belirtileri kullanılarak denenmiştir. Türev eğrilerinin en büyük ve en küçük genlik değerleri bilgisayara veri olarak girilmiştir. Bu yataktan elde edilen sonuçlar Ram Babu ve Atchuta Rao (1988b), Bhattacharyya ve Roy (1981) ve Yüngül (1950) tarafından verilen sonuçlar ile karşılaştırılmış ve birbirine yakın değerler bulunmuştur.

ABSTRACT

In this study, a computer program written in BASIC language has been developed for the evaluation of potential gradient anomalies. The theoretical potential gradient anomalies caused by a polarized sphere model can be plotted for a desired polarization angle from 0° to 360° . The location of the spherical orebody, the polarization focal depth, the polarization angle and the inclination of the axis perpendicular to the polarization axis can be computed.

The software has been tested by using the self potential anomalies over Weiss and Süleymanköy orebodies measured in Ergani copper district by Yüngül (1950). The maximum and minimum amplitudes of potential gradient curves are input to the computer. The results calculated for this orebody have been compared with those of Ram Babu and Atchuta Rao (1988b), Bhattacharyya and Roy (1981) and Yüngül (1950), and almost equivalent solutions have been obtained.

GİRİŞ

Yeraltıda doğal olarak oluşan elektriksel gerilimlerin ölçüllü değerlendirilmesi temelne dayanan doğal gerilim yöntemi, başta sülflü maden yatakları olmak üzere, jeotermal alanların, kömür damarlarının, heyelan bölgelerinin, boru hatlarının aşınmaya uğramış bölümlerinin ve jeolojik süreksizliklerin (fay, formasyon sınırı) araştırılmasında başarılı sonuçlar vermektedir.

Değerlendirme, şekli basit geometrik biçimlerin (küre, silindir, dilim vb.) verebileceği doğal gerilim belirtilerinden yararlanılarak ya doğrudan çözüm tekniği (De Witte 1948,

Yüngül 1950, Paul 1965, Bhattacharyya ve Roy 1981, Ram Babu ve Atchuta Rao 1988a) ya da ters çözüm tekniği (Ram Babu ve Atchuta Rao 1988b) kullanılarak yapılır.

Çalışmada; çeşitli açılarda uçaşmış küre biçiminde bir cismin verebileceği doğal gerilim türev belirtileri hesaplanmış, bu kuramsal türev eğrilerinin en küçük ve en büyük genlik oranı değerleri ile araziden elde edilecek türev eğrilerinin en küçük ve en büyük genlik oranı değerlerini karşılaştırarak, küre biçimli maden yataklarının yerinin, derinliğinin ve uçaşma açısının bulunması amaçlanmıştır. Uygulama için Yüngül (1950) tarafından Ergani bakır sahasında ölçülen Weiss ve Süleymanköy doğal gerilim belirtileri gözönüne alınmıştır.

* Karaelmas Ü. Müh. Fak. Maden Müh. Bölümü, Zonguldak.

YÖNTEM

Yarı sonsuz yerortamı içinde çeşitli açılarda (α) uçaşmış küre biçimli bir cisim gözönüne alalım (Şekil 1). Burada; r küre biçiminin yarıçapını, β uçaşma ekseninin yönünü, μ bu na dik olarak alınan eksenin yönünü, Q μ ekseninin yatay düzleme yaptığı açayı, H yeryüzünden kürenin merkezine olan derinliği, x (O) noktasından ölçü noktalarına olan uzaklığı, D küre merkezinin yeryüzündeki izdüşüm noktasının (O noktası) yerini göstermektedir. β ve μ eksenlerinin yönü saat ibresi yönünde alınmıştır. m eksenine göre alınan Q açısının, (-) veya (+) bölgede bulunduğuuna göre açı değeri (-) veya (+) dır.

Uçaşma odak derinliği H , yarıçapı r olan küre biçimindeki bir cismin, merkezinin yeryüzündeki izdüşümünden χ uzaklıktaki bir noktada oluşturacağı gerilim,

$$G = (\Delta V r^2 / 2) [(H \cos \alpha + x \sin \alpha) / (x^2 + H^2)^{3/2}] \quad (1)$$

eşitliği ile verilir (Heiland 1946, s. 674). V , elektrik yükleri $+e$ ve $-e$ olan kürenin iki yarısı arasındaki gerilim farkıdır.

Türev değerleri ise (1) eşitliğinin c uzaklığına göre birinci türevinin alınması ile elde edilir.

$$\frac{\partial G}{\partial x} = -(\Delta V r^2 / 2) [3xH \cos \alpha + 2x^2 \sin \alpha - H^2 \sin \alpha] / (x^2 + H^2)^{5/2} \quad (2)$$

Çalışmada; $\Delta V r^2 / 2$ çarpanı ile uçaşma odak derinliği (H), 1 olarak, χ uzaklığı $-10 < X < 10$ aralığında (0.1 artışlarla) alınmıştır. Eşitlik (2) kullanılarak, bilgisayara, kuramsal türev eğrilerinin 0° den 360° ye kadar istenilen bir uçaşma açısı (α) değeri için çizdirilmesi sağlanmıştır. Şekil 2'de $\alpha=60^\circ$ ve $\alpha=120^\circ$ için bir örnek verilmektedir.

Türev eğrilerinin en büyük (x_d) ve en küçük (x_s) değerine karşı gelen uzaklık değerleri, T fonksiyonunun türevi (T') alınıp sıfır eşitlenmesi ile bulunur.

$$T' = H^3 \cos \alpha + 3H^2 x \sin \alpha - 4Hx^2 \cos \alpha - 2x^3 \sin \alpha = 0 \quad (3)$$

Elde edilen kübik denklemin kökleri, $\alpha=0^\circ$, 180° ve 360° uçaşma açıları için $H_{1,2} = 2x_{c,d}$ olarak, $\alpha=90^\circ$ ve 270° uçaşma açıları için $H_{1,2} = 0.82 x_{c,d}$ olarak kolayca bulunabilir. Diğer uçaşma açıları için kökler, eşitlik (3)

$$\cos \alpha (H^3 + 3H^2 x \tan \alpha - 4Hx^2 - 2x^3 \tan \alpha) = 0 \quad (4)$$

şeklinde düzenlenerek, Spiegel'in (1968, s. 32) verdiği izleyen eşitlikler kullanılarak hesaplanabilir.

$$H^3 + a_1 H^2 + a_2 H + a_3 = 0$$

$$a_1 = 3x \tan \alpha, a_2 = -4x^2, a_3 = -2x^3 \tan \alpha$$

$$q = a_2 / 3 - a_1^2 / 9 = -4x^2 / 3 - x^2 \tan^2 \alpha = -x^2 t(4 + 3 \tan^2 \alpha) / 3$$

$$b = a_1 a_2 / 6 - a_3 / 2 - a_1^3 / 27 = -2x^3 \tan \alpha + x^3 \tan \alpha - x^3 \tan^3 \alpha$$

$$b = -x^3 \tan \alpha (1 + \tan^2 \alpha)$$

$DIS = q^3 + b^2$ diskriminant olarak tanımlanır. $DIS < 0$ ise bütün kökler gerçek ve birbirinden farklıdır. Eşitlik (4) ile verilen kübik denklemin kökleri ($\alpha \neq 90^\circ, 270^\circ$ için)

$$H_1 = 2(-q)^{1/2} \cos[1/3 \arccos(b/(-q)^{3/2})] - a_1/3$$

$$H_2 = 2(-q)^{1/2} \cos[1/3 \arccos(b/(-q)^{3/2}) + 120^\circ] - a_1/3 \quad (5)$$

$$H_3 = 2(-q)^{1/2} \cos[1/3 \arccos(b/(-q)^{3/2}) + 240^\circ] - a_1/3$$

eşitlikleri kullanılarak hesaplanmış ve türev eğrilerinden x_d ve x_s noktalarının yerleri bulunmuştur. Bu noktalar ve türev eğrilerinin değerlendirilmesinde kullanılan diğer simgeler Şekil 3'de gösterilmektedir.

En büyük (x_d) ve en küçük (x_s) noktalar arasındaki yatay mesafe

$$x_s - x_d = N \quad (6)$$

dir. Uçaşma açısının $0^\circ < \alpha < 90^\circ$ ve $270^\circ < \alpha < 360^\circ$ olduğu durumda, H_1 ve H_2 sırasıyla en büyük ve en küçük kök değerlerini verdiginden, $H_{\max} = |H_1|$ ve $H_{\min} = |H_2|$ alınır. Türev eğrisinin en büyük (x_d) ve en küçük (x_s) uzaklık değerlerinin oranları,

$$R_1 = \left| \frac{x_d}{x_s} \right|, R_2 = \left| \frac{x_s}{x_d} \right| \quad (7)$$

ile tanımlanır ve buradan çıkarılan $x_d = R_1 x_s$ ve $x_s = R_2 x_d$ eşitlikleri, (6) eşitliğinde yerine konularak,

$$x_s = N / (R_1 + 1) \quad (8)$$

$$x_d = N / (R_2 + 1)$$

bulunur. Uçlaşmış küresel cismin merkezinin ortalama derinliği,

$$\bar{H}_{\max} = H_{\max} \cdot x_d$$

$$\bar{H}_{\min} = H_{\min} \cdot x_s \quad (9)$$

$$\bar{H} = (\bar{H}_{\max} + \bar{H}_{\min}) / 2$$

eşitliklerinden hesaplanır. Küre biçimli maden yatağının yeri (0 noktası) ise $D = L - x_d$ eşitliğinden bulunur. Uçaşma açısının $90^\circ < \alpha < 180^\circ$ ve $180^\circ < \alpha < 270^\circ$ olduğu durumda; saptanan en büyük ve en küçük kök değerleri sırasıyla H_2 ve H_1 olduğundan, $H_{\max} = |H_2|$ ve $H_{\min} = |H_1|$ alınır. Küresel cismin merkezinin ortalama derinliği (\bar{H}); (7), (8) ve (9) eşitliklerinden, yeri ise $D = L - x_s$ eşitliğinden bulunur.

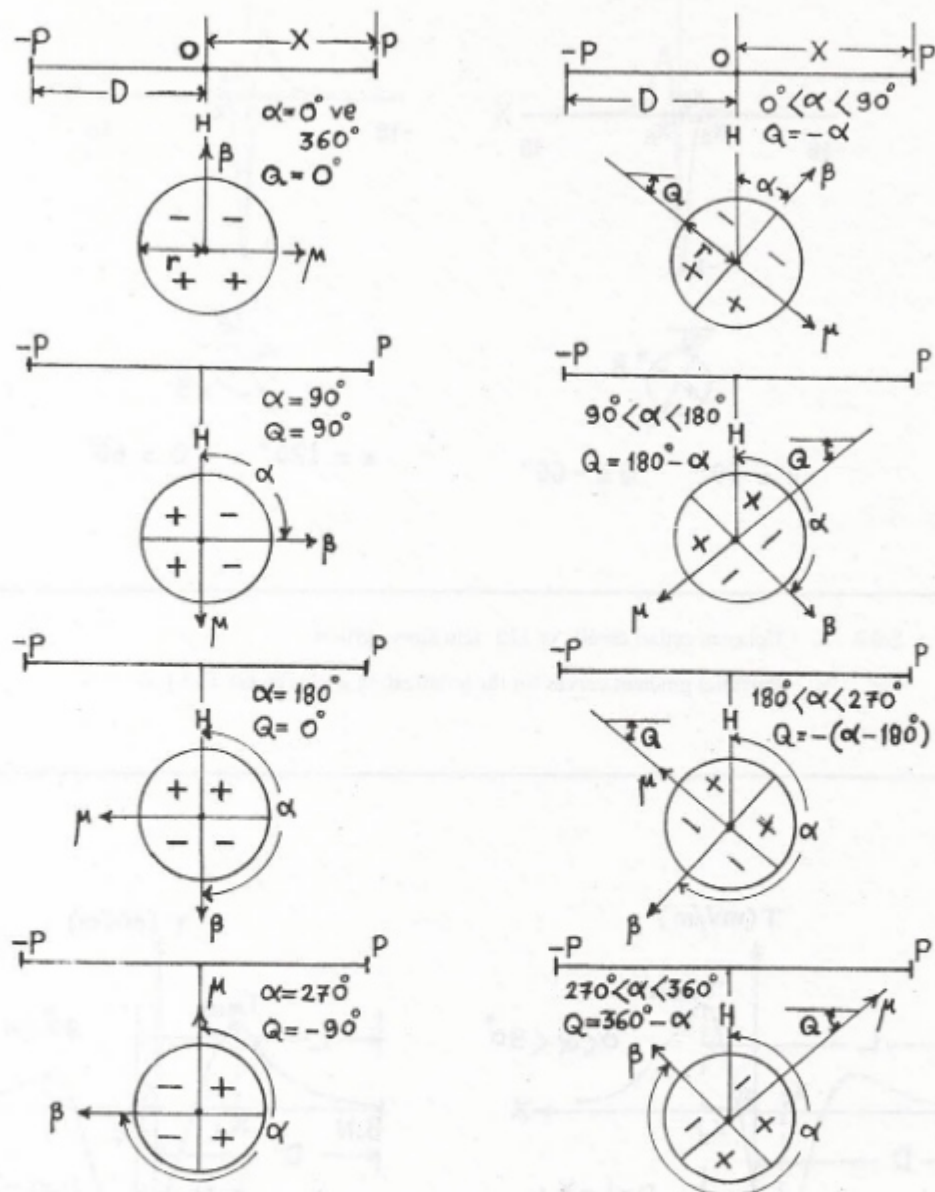
DEĞERLENDİRME

Çalışmada degenilen matematiksel bağıntılar kullanılarak, küre biçimli maden yataklarının doğrudan değerlendirilebilmesi için BASIC dilinde (Microsoft GWBASIC, versiyon 3.23) bir program yazılmıştır. Ek'de sunulan bu program IBM PC uyumlu ve VGA grafik kartlı bilgisayarlarda çalıştırılabilir. Türev eğrilerinin değerlendirilmesinde aşağıdaki adımların izlenmesi önerilir:

1. Araziden alınan doğal gerilim eğrisi örneklenerek ($\text{örneklemme aralığı} = \Delta x$) türev değerleri,

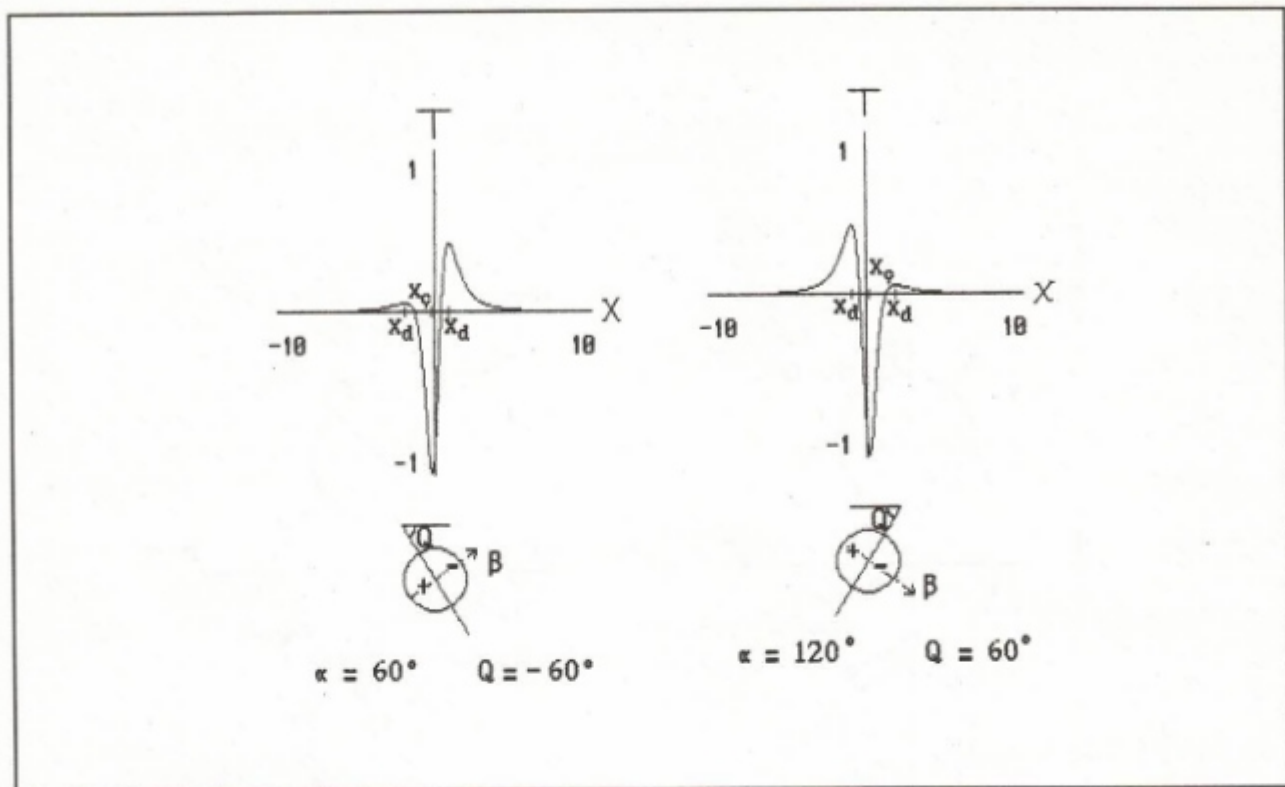
$$T_i = (G_{i+1} - G_i) / \Delta x$$

bağıntısı ile saptanır. Bulunan değer iki ölçü noktası ortasına atanarak türev eğrisi çizilir.



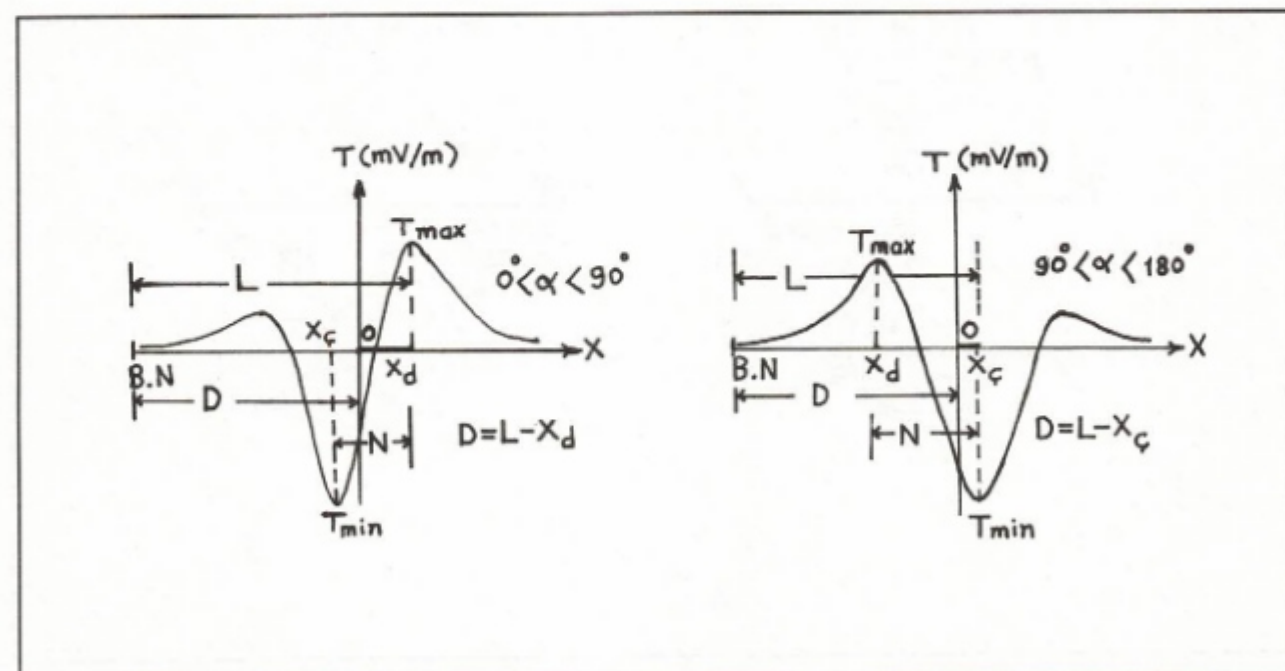
Şekil 1. Uçlaşmış bir küre biçiminin dik kesit görünümü ve parametreleri.

Fig. 1. Cross-sectional view of a polarized sphere model and its parameters.



Şekil 2. Uçlaşma açıları $\alpha=60^\circ$ ve 120° için türev eğrileri.

Fig. 2. Potential gradient curves for the polarization angles $\alpha=60^\circ$ and 120° .



Şekil 3. Türev eğrilerinin değerlendirilmesinde kullanılan simgeler.

Fig. 3. Symbols used for interpretation of potential gradient curves.

2. Program çeşitli uçlaşma açıları için çalıştırılarak, araziden elde edilen türev eğrisine benzer bir eğri bulunmaya çalışılır.

2.1. Seçilen uçlaşma açısı girilir. Uçlaşma açısı 0° , 180° veya 360° ise arazi türev eğrisinin en küçük (x_v) ve en büyük (x_u) noktalarının (0) noktasına göre yatay uzaklıklarını ve arazi türev eğrisinden seçilen başlangıç noktasına göre L uzaklığını girilir.

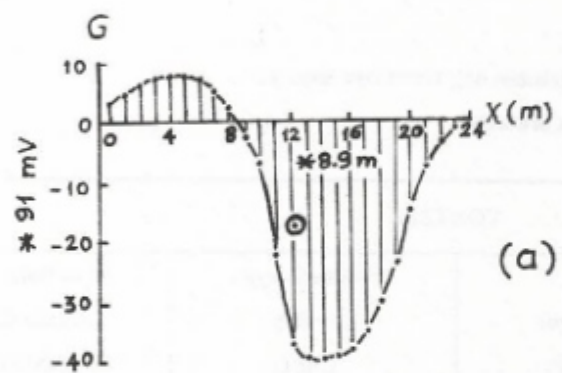
Seçilen uçlaşma açısı 90° ise arazi türev eğrisinin en büyük (x_d) noktaları arasındaki yatay uzaklık girilir. Uçlaşma odak noktası, türev eğrisinin çukur yaptığı yerin tam altındadır. Uçlaşma açısı 270° ise, arazi türev eğrisinin en küçük (x_v) noktaları arasındaki yatay uzaklık girilir. Uçlaşma odak noktası, türev eğrisinin doruk yaptığı yerin tam altındadır.

2.2. Seçilen uçlaşma açısı 0° , 90° , 180° , 270° ve 360°

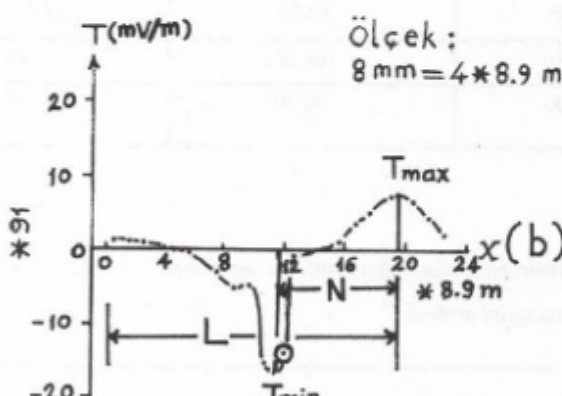
den farklı ise, seçeceğiniz bir son uçlaşma açısı değeri ve istenilen bir uçlaşma açısı artışı (5° , 1° , 0.1° vb.) değeri girilir.

3. Arazi türev eğrisinin en büyük T_{\max} ve en küçük T_{\min} değerleri girilir. Programın 790 numaralı satırında, kuramsal türev eğrisinin en büyütük (EB) ve en küçük (EK) değerlerinden $FARK = |(EB/EK) - (T_{\max}/T_{\min})|$ hesaplanır. Yeterli duyarlılıkta sonuçların bulunabilmesi için 10^{-3} veya 10^{-4} mertebede fark ile hesaplama yapturılması önerilir.

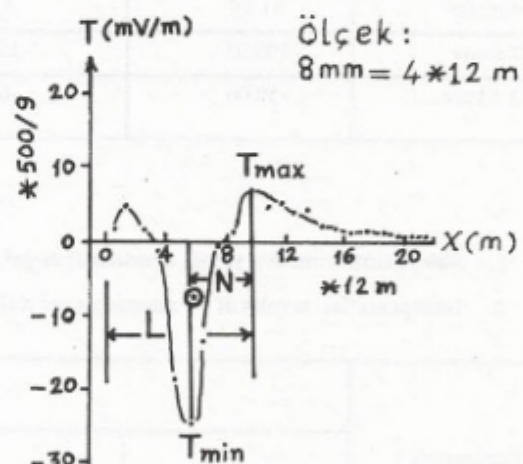
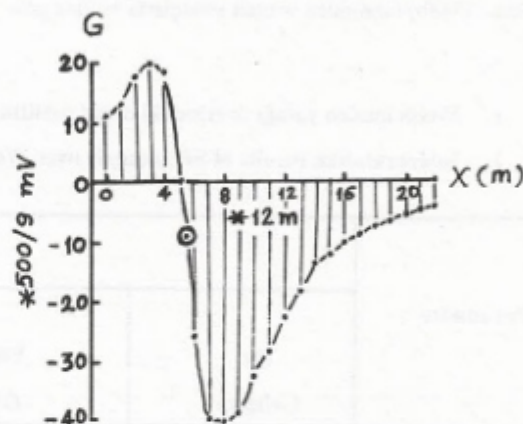
4. Önerilen farkla bulunan uçlaşma açısı (a) ve Q açısı (derece) uygunsa, arazi türev eğrisinin en büyük T_{\max} ve en küçük T_{\min} noktaları arasındaki yatay uzaklık (N) ve seçilen başlangıç noktasına (B.N) göre L uzaklığını girilir. Program istenilen H ve D (metre) parametrelerini hesaplar. Bulunan uçlaşma açısı uygun değilse, önerilen farkla uygun bir uçlaşma açısı bulununcaya kadar programın çalıştırılması yinelenir.



(a)



◎ Uçlaşma odak noktası



Şekil 4. a) Weiss maden yatağı (solda) ve Süleymanköy maden yatağı (sağda) doğal gerilim belirtileri (Ram Babu ve Atchuta Rao'dan 1988b) b) Weiss maden yatağı (solda) ve Süleymanköy maden yatağı (sağda) türev eğrileri.

Fig. 4.a) SP anomalies over Weiss (left) and Süleymanköy (right) orebodies (After Ram Babu and Atchuta Rao 1988b) b) Potential gradient curves over Weiss (left) and Süleymanköy (right) orebodies.

ARAZİ UYGULAMASI

Sunulan program, Yüngül (1950) tarafından Ergani kır sahasında tanımlanan Weiss ve Süleymanköy maden yataklarının değerlendirilmesi için denenmiştir. Bu amaç için, Ram Babu ve Atchuta Rao'nun (1988b) aynı maden yataklarında ters çözüm tekniği için kullandığı değerler gözönüne alınmıştır (Şekil 4a). Doğal gerilim eğrilerinden çıkarılan türev eğrileri Şekil 4b'de görülmektedir.

Weiss maden yatağıının değerlendirilmesinde, arazi verilerinden ön bilgi olarak $T_{\max} = 7.5 \text{ mV/m}$, $T_{\min} = -17 \text{ mV/m}$, $N=65$ m, $L=160$ m girilmiş ve 1° uçaşma açısı artışı için 10^{-3} hata ile $\alpha=59^\circ$, $Q=-59^\circ$, $H=61.24$ m ve $D=105.93$ m bulunmuştur. Süleymanköy maden yatağıının değerlendirilmesinde ise, arazi verilerinden $T_{\max} = 7 \text{ mV/m}$, $T_{\min} = -25 \text{ mV/m}$, $N=48$ m, $L=114$ m girilmiş, 1° uçaşma açısı artışı için 10^{-4} hata ile $\alpha=79^\circ$, $Q=79^\circ$, $H=41.91$ m ve $D=68.68$ m bulunmuştur. Elde edilen sonuçlar, Çizelge 1 ve 2'de, aynı maden yatakları için Yüngül (1950), Bhattacharyya ve Roy (1981), Ram Babu ve Atchuta Rao (1988b) tarafından verilen sonuçlarla birlikte gösterilmiştir.

Çizelge 1. Weiss maden yatağı üzerindeki doğal gerilim eğrisinin değerlendirme sonuçları.

Table 1. Interpretation results of SP anomaly over Weiss orebody.

Parametre	YÖNTEM			
	Bu Çalışma	Yüngül (1950)	Bhattacharyya ve Roy (1981)	Ram Babu ve Atchuta Rao (1988b)
H metre	61.24	53.80	54.00	61.05
D metre	105.93	105.70	108.20	109.83
Q derece	-59.00	-64.00	-60.00	-56.17

Çizelge 2. Süleymanköy maden yatağı üzerindeki doğal gerilim eğrisinin değerlendirme sonuçları.

Table 2. Interpretation results of SP anomaly over Süleymanköy orebody.

Parametre	YÖNTEM			
	Bu Çalışma	Yüngül (1950)	Bhattacharyya ve Roy (1981)	Ram Babu ve Atchuta Rao (1988b)
H metre	41.91	38.80	40.00	41.40
D metre	68.68	76.70	70.00	66.36
Q derece	-79.00	-69.00	-75.00	-86.92

SONUÇLAR

Çalışmada, küresel biçimli maden yatakları üzerinde gözlenen doğal gerilim belirtileri türev yöntemi kullanılarak değerlendirilmiştir. Değerlendirmede, kuramsal ve arazi türev eğrilerinin en büyük ve en küçük genlik oranlarının karşılaştırılması temeline dayanan, doğrudan çözüm tekniği kullanılmıştır. Bu amaç için yazılan BASIC programı, iki arazi örneğinden alınan veriler için çalıştırılmış, gözlenen ile hesaplanan arasındaki fark (hata) en çok 10^{-3} olduğunda kabul edilebilir sonuçlar elde edilmiştir. Sonuç olarak; sunulan program, doğal gerilim yaratabilen küresel biçimli maden yataklarının yerinin, derinliğinin ve uçaşma açısının doğrudan bulunmasında, nomogram veya yardımcı eğriler kullanmak yerine, daha hızlı ve güvenilir bir araç olarak kullanılabilecektir.

EK

10	REM ÇEŞİTLİ AÇILARDA UÇLAŞMIŞ BİR KÜRE BİCİMİNİN	430	IF A\$ = "3" THEN SYSTEM ELSE 400
20	REM VEREBİLECEĞİ DOĞAL GERİLİM TÜREV BELİRTİLERİNİN	440	SCREEN 0, 0, 0
25	REM DÜZ ÇÖZÜMÜ	450	COLOR 14, 14: CLS : INPUT "SEÇTİĞİNİZ UÇLAŞMA AÇISINI (ALFA) GİRİNİZ ...", ALFA
26	REM PROGRAMI YAZAN: Doç. Dr. İBRAHİM ONUR	460	IF (ALFA = 0 OR ALFA = 90 OR ALFA = 180 OR ALFA = 270 OR ALFA = 360) THEN 470 ELSE 650
27	REM BASIC TÜRÜ: GW BASIC (v: 3.23) ve QUICK BASIC (v: 4.0 ve yukarısı)	470	IF (ALFA = 0 OR ALFA = 360) THEN 480 ELSE 510
30	KEY OFF	480	INPUT "ARAZİ TÜREV EĞRİSİNİN ÇUKUR (XC) VE DORUK (XD) NOKTALARININ YATAY MESAFELERİNİ (METRE) GİRİNİZ ...", XC, XD
40	DIM T (300), X (300), TX (300)	490	INPUT "ARAZİ TÜREV EĞRİSİNDEN L UZAKLIĞINI (METRE) GİRİNİZ ...", L: H1 = 2: H2 = 2: H = (H1 * XC + H2 * XD) / 2
50	SCREEN 0, 0, 0: COLOR 10: CLS	500	PRINT USING "H = #####.## m"; H: D = L - XD: PRINT USING "D=#####.## m"; D: Q=0 PRINT "Q= "; Q; " DERECE"
60	INPUT "Arazi Türev Eğrisine Benzer Bir Kuramsal Belirti Elde Edilinceye Kadar Bir Uçlaşma Açısı (ALFA) Giriniz ", ALFA	510	IF ALFA = 180 THEN 520 ELSE 550
70	SCREEN 9	520	INPUT "ARAZİ TÜREV EĞRİSİNİN ÇUKUR (XC) VE DORUK (XD) NOKTALARININ YATAY MESAFELERİNİ (METRE) GİRİNİZ ...", XC, XD
80	Q = 1: QQ = 1: ACI = ALFA	530	INPUT "ARAZİ TÜREV EĞRİSİNDEN L UZAKLIĞINI (METRE) GİRİNİZ ...", L: H1 = 2: H2 = 2: H = (H1 * XC + H2 * XD) / 2
90	COLOR 11, 14: CLS	540	PRINT USING "H=#####.## m"; H: D = L - XC: PRINT USING "D=#####.## m"; D: Q = 0: PRINT "Q= "; Q; " DERECE"
100	WINDOW (0, -3)-(640, 1.5)	550	IF ALFA = 90 THEN 560 ELSE 590
110	LINE (350, 0)-(550, 0)	560	INPUT "ARAZİ TÜREV EĞRİSİNİN DORUK (XD) NOKTALARI ARASINDAKI YATAY MESAFESİ (METRE) GİRİNİZ ...", N: H = .82 * N / 2
120	LINE (450, -1)-(450, 1)	570	PRINT USING "H####.## m"; H: Q = 90: PRINT "Q= "; Q; " DERECE"
130	LOCATE 10, 44: PRINT "-10"	580	PRINT "UÇLAŞMA ODAK NOKTASI TÜREV EĞRİSİNİN ÇUKUR YAPTIĞI YERİN TAM ALTINDADIR"
140	LOCATE 10, 68: PRINT "10"	590	IF ALFA = 270 THEN 600 ELSE 630
150	LOCATE 14, 54: PRINT "-1"	600	INPUT "ARAZİ TÜREV EĞRİSİNİN ÇUKUR (XC) NOKTALARI ARASINDAKI YATAY MESAFESİ (METRE) GİRİNİZ ...", N: H=.82 * N / 2
160	LOCATE 4, 55: PRINT "1"	610	PRINT USING "H=#####.## m"; H: Q = -90: PRINT "Q= "; Q; " DERECE"
170	LOCATE 10, 55: PRINT "0"	620	PRINT "UÇLAŞMA ODAK NOKTASI TÜREV EĞRİSİNİN DORUK YAPTIĞI YERİN TAM ALTINDADIR"
180	FOR W = -10 TO 10 STEP .1: X(Q) = W: Q = Q + 1: NEXT W	630	INPUT "BAŞKA BİR DEĞERLENDİRME YAPMAK İSTİYORMUSUNUZ (E/H) ..."; Z\$
190	FOR W = 350 TO 550: TX (QQ) = W: QQ = QQ + 1: NEXT W	640	IF Z\$ = "E" OR Z\$ = "e" THEN 450 ELSE 1250
200	H = 1: PI = 3.141593	650	INPUT "SEÇECEĞİNİZ BİR SON UÇLAŞMA AÇISI DEĞERİ GİRİNİZ ...", BSON
210	FOR Y = 1 TO 200	660	INPUT "BİR UÇLAŞMA AÇISI ARTIŞ DEĞERİ GİRİNİZ ...", ARTIS
220	T (Y) = (3 *X(Y) * H * COS (ACI * PI / 180) + 2 * X(Y) ^ 2 * SIN (ACI * PI / 180) - H ^ 2 * SIN (ACI * PI/180)) / ((X(Y) ^ 2 + H ^ 2) ^ 2.5)	670	PRINT "ARAZİ TÜREV EĞRİSİNİN EN YÜKSEK DORUK VE ÇUKUR (mV/m) DEĞERİNİ GİRİNİZ ...": INPUT TMAX, TMIN
230	IF Y > 1 THEN 240 ELSE 250		
240	LINE (TX(Y - 1), T(Y - 1)) - (TX(Y), T(Y)), 4		
250	NEXT Y		
260	IF ACI = 0 THEN LOCATE 21, 50: PRINT CHR\$ (224); " = 0° ve 360°" ELSE LOCATE 21, 52: PRINT CHR\$ (224); " = "; ACI; CHR\$ (248)		
270	LOCATE 1, 45		
280	PRINT" TÜREV (-ELEKTRİK ALANI)"		
290	WINDOW SCREEN (0, 0) - (640, 350)		
300	CIRCLE (450, 245), 20		
310	A1 = -ACI - 90: IF ACI > 270 THEN A1 = - ACI + 270		
320	DRAW "TA=" + VARPTR\$ (A1) + "NU30"		
330	A2 = A1 + 180		
340	DRAW "TA=" + VARPTR\$ (A2) + "NU30"		
350	COLOR 1: LOCATE 8, 10: PRINT "(1) Çizime Devam"		
360	LOCATE 9, 10: PRINT "(2) Hesaplamaya Geçiş"		
370	LOCATE 10, 10: PRINT "(3) DOS"		
380	COLOR 4: LOCATE 8, 11: PRINT "1": LOCATE 9, 11: PRINT "2"		
390	LOCATE 10, 11: PRINT "3"		
400	A\$ = INKEY\$: IF A\$ = " " GOTO 400		
410	IF A\$ = "1" THEN 50		
420	IF A\$ = "2" THEN 440		

```

680 CLS : COLOR 4, 11: FARKSON = 999: ACI =
ALFA
690 EK = 999: EB = 0
700 FOR Y = 1 TO 200
710 B = 3 * X(Y) * H * COS (ACI * PI / 180)
720 A = 2 * X(Y) ^ 2 * SIN (ACI * PI / 180)
730 C = H ^ 2 * SIN (ACI * PI / 180)
740 T(Y) = (B + A - C) / ((X(Y) ^ 2 + H ^ 2) ^ 2.5)
750 IF T(Y) > EB THEN EB = T(Y)
760 IF T(Y) < EK THEN EK = T(Y)
770 NEXT Y
780 LOCATE 12, 38: PRINT USING "ALFA=####.##";
ACI: EK = ABS (EK): TMIN = ABS (TMIN)
790 FARK = ABS ((EB / EK) - (TMAX / TMIN))
800 IF FARK < FARKSON THEN FARKSON = FARK:
ACISON = ACI
810 ACI = ACI + ARTIS: IF ACI > BSON THEN 820
ELSE 690
820 COLOR 14, 14: CLS : LOCATE 10, 1: PRINT
"GİRİLEN AÇILAR ARASINDA EN UYGUN ACI"
; ACISON; " DERECEDİR VE EN DÜŞÜK FARK"
; FARKSON; " KADARDIR"
830 ALFA = ACISON: IF ALFA > 0 AND ALFA < 90
THEN Q = - ALFA: PRINT "ALFA = "; ALFA; "
DERECE": PRINT "Q= "; Q; " DERECE"
840 IF ALFA > 90 AND ALFA < 180 THEN Q = (180 -
ALFA): PRINT "ALFA= "; ALFA; " DERECE";
PRINT "Q= "; Q; " DERECE"
850 IF ALFA > 180 AND ALFA < 270 THEN Q = -
(ALFA - 180): PRINT "ALFA= "; ALFA;
" DERECE": PRINT "Q= "; Q; " DERECE"
860 IF ALFA > 270 AND ALFA < 360 THEN Q = (360 -
ALFA): PRINT "ALFA= "; ALFA; " DERECE";
PRINT "Q= "; Q; " DERECE"
870 INPUT "BULUNAN UÇLAŞMA AÇISI UYGUN
MU (E/H) ... ", A$
880 IF A$ = "E" OR A$ = "c" THEN 890 ELSE 450
890 IF (ALFA = 0 OR ALFA = 90 OR ALFA = 180 OR
ALFA = 270 OR ALFA = 360) THEN 470
900 INPUT "ARAÇ TÜREV EĞRİSİNİN EN YÜKSEK
DORUK VE ÇUKUR NOKTALARI ARASINDAKI
YATAY MESAFESİ (m) GİRİNİZ ... ", N
910 INPUT "ARAÇ TÜREV EĞRİSİNİNDEN L
UZAKLIĞINI (METRE) GİRİNİZ ... ", L
920 A = 3 * TAN (ALFA * PI / 180)
930 Q = -(4 + 3 * (TAN(ALFA * PI / 180) ^ 2) / 3
940 R = -(TAN(ALFA * PI / 180) * (1 + (TAN(ALFA *
PI / 180) ^ 2)))
950 B = PI / 2 - ATN ((R / (-Q) ^ 1.5) / SQR(1 - (R /
(-Q) ^ 1.5) * (R / (-Q) ^ 1.5)))
960 C = (1 / 3) * B * (180 / PI)
970 H1 = (2 * (-Q) ^ .5) * COS(C * PI / 180) - A / 3
980 H2 = (2 * (-Q) ^ .5) * COS((C + 120) * PI / 180) - A
/ 3
990 H3 = (2 * (-Q) ^ .5) * COS((C + 240) * PI / 180) - A
/ 3
1000 IF ALFA > 0 AND ALFA < 90 THEN XDSAG = 1 /
H1: XCSOL = 1 / H2: XDSOL = 1 / H3
1010 IF ALFA > 90 AND ALFA < 180 THEN XCSAG =
1 / H1: XDSOL = 1 / H2: XDSAG = 1 / H3

```

```

1020 IF ALFA > 180 AND ALFA < 270 THEN XCSAG
= 1 / H1: XDSOL = 1 / H2: XCSOL = 1 / H3
1030 IF ALFA > 270 AND ALFA < 360 THEN XDSAG
= 1 / H1: XCSOL = 1 / H2: XCSAG = 1 / H3
1040 IF (ALFA > 0 AND ALFA < 90) OR (ALFA > 270
AND ALFA < 360) THEN 1050 ELSE 1150
1050 HMAX = ABS (H1): HMIN = ABS (H2)
1060 R1 = ABS(XDSAG / XCSOL): R2 = ABS(XCSOL /
XDSAG)
1070 XMIN = N / (R1 + 1)
1080 XMAX = N / (R2 + 1)
1090 HMAX = HMAX * XMAX
1100 HMIN = HMIN * XMIN
1110 PRINT USING "H=####.## m"; (HMAX + HMIN) /
2
1120 D = L - XMAX: PRINT USING "D=####.## m"; D
1130 INPUT "BAŞKA BİR DEĞERLENDİRME
YAPMAK İSTİYORMUSUNUZ (E/H) ... "; B$
1140 IF B$ = "E" OR B$ = "e" THEN 450 ELSE 1250
1150 HMAX = ABS(H2): HMIN = ABS(H1)
1160 R1 = ABS(XDSOL / XCSAG): R2 = ABS(XCSAG /
XDSOL)
1170 XMIN = N / (R1 + 1)
1180 XMAX = N / (R2 + 1)
1190 HMAX = HMAX * XMAX
1200 HMIN = HMIN * XMIN
1210 PRINT USING "H=####.## m"; (HMAX + HMIN) /
2
1220 D = L - XMIN: PRINT USING "D=####.## m"; D
1230 INPUT "BAŞKA BİR DEĞERLENDİRME
YAPMAK İSTİYORMUSUNUZ (E/H) ... "; G$
1240 IF G$ = "E" OR G$ = "e" THEN 450
1250 END

```

KAYNAKLAR

- Bhattacharyya, B.B. and Roy, N. 1981, A note on the use of a nomogram for self potential anomalies, Geophysical Prospecting 29, 102-107.
- De Witte, L. 1948, A new method of interpretation of self potential field data, Geophysics 13, 600-608.
- Heiland, C.A. 1946, Geophysical Exploration, Prentice-Hall, Inc., New York.
- Paul, M.K. 1965, Direct interpretation of self potential anomalies caused by inclined sheets of infinite horizontal extensions, Geophysics 30, 418-423.
- Ram Babu, H.V. and Atchuta Rao, D. 1988a, A rapid graphical method for the interpretation of the self potential anomaly over a two-dimensional inclined sheet of finite depth extent, Geophysics 53, 1126-1128.
- Ram Babu, H.V. and Atchuta Rao, D. 1988b, Inversion of self potential anomalies in mineral exploration, Computers and Geosciences 14, 377-387.
- Spiegel, M.R. 1968, Mathematical Handbook, Schaum's Outline Series in Mathematics, McGraw-Hill, New York.
- Yüngül, S. 1950, Interpretation of spontaneous polarization anomalies caused by spheroidal orebodies, Geophysics 15, 237-246.

MAGNİTÜD HATALARININ SİSMİK RİSK HESAPLARINDAKİ ETKİSİ VE ERZİNCAN ÇEVRESİNDE DEPREM RİSKI

Effects of Magnitude Errors in Seismic Risk Estimates and the Seismic Risk in Erzincan and Vicinity

Ömer ALPTEKİN**** ve Ali Osman ÖNCEL*

ÖZET

En büyük olasılık yöntemiyle farklı magnitüd sınırlarına sahip farklı niteliklerdeki tamam kataloglar ile sadece büyük depremleri içeren eksik kataloglar aynı ayrı veya birlikte kullanılarak deprem risk parametreleri (maksimum bölgesel magnitüd M_{max} , aktiflik oran λ ve Gutenberg-Richter bağıntısının b parametresi) hesaplanabilmektedir. Kijko ve Sellevoll (1992) yöntemi geliştirmişler ve magnitüd hatalarını dikkate alan iki model önermişlerdir. Katı sınırlı Model denilen ilk modelde deprem magnitüdü alt ve üst sınırları ile belirlenmiş olup, bu aralığın bilinmeyen gerçek magnitüd içeriği varsayılmaktadır. Yumuşak sınırlı model denilen ikinci modelde ise deprem magnitüdündeki belirsizliğin bir Gauss dağılımı gösterdiği önerilmektedir.

Bu yaklaşım ile Kuzey Anadolu Fay zonunun (KAFZ) doğu kesimini içine alan ve Erzincan çevresini de kapsayan 37.5° - 42.0° D boylamları ile 38.50° - 40.5° K enlemleri arasındaki bölge için tarihsel dönem (950-1899) ve aletsel dönem (1900-1961 ve 1962-1984) deprem kataloglarından yararlanılarak deprem risk parametreleri hesaplanmıştır.

Erzincan ve çevresi için magnitüd hatalarının ihmal edildiği hal ile katı sınırlı ve yumuşak sınırlı modeller için hesaplanan b değerleri sırası ile 0.83, 0.80 ve 0.75; $\lambda_{4.0}$ etkinlik değerleri 2.48, 1.55 ve 1.20; M_{max} değerleri ise 8.63, 8.8 ve 8.67 dir. Bu sonuçlara göre hesaplanan depremlerin yinelenme zamanları yumuşak sınırlı modelin magnitüd hatalarına daha duyarlı olduğunu göstermektedir ve 7.5 dan büyük magnitüdlere için yinelenme zamanlarının tahmininde magnitüd belirsizliklerinden doğan hataların önemli olabileceği anlaşılmaktadır.

ABSTRACT

The maximum likelihood method has been widely used in estimation of the earthquake hazard parameters; the maximum regional magnitude M_{max} , the activity rate λ , and the b -parameter of the Gutenberg-Richter relation, from complete and incomplete data files. Recently, Kijko and Sellevoll (1992) extended this method to incorporate the uncertainty in magnitude estimates. Two different models of magnitude uncertainty are considered. In the first model, which is called the hard bounds model, the earthquake magnitude is specified by the lower and the upper magnitude limits. The unknown true magnitude is contained in this interval. In the second model, which is called the soft bounds model, the magnitude uncertainty describes a Gauss distribution.

This approach is applied to a seismically active area between 38.5° - 42.0° N latitudes and 37.5° - 42.0° E longitudes (which covers Erzincan and its vicinity) on the North Anatolian Fault Zone (NAFZ). Seismic risk parameters are estimated by using the historical period (950-1899), and the instrumental period (1900-1961 and 1962-1984) earthquake catalogs. Seismic risk parameters for Erzincan and its vicinity computed for the case when the magnitude uncertainty is ignored and for the hard bounds and the soft bounds models are $b=0.83$, $b=0.80$ and $b=0.75$; $\lambda_{4.0}=2.48$, $\lambda_{4.0}=1.55$ and $\lambda_{4.0}=1.20$; $M_{max}=8.63$, $M_{max}=8.8$ and $M_{max}=8.67$, respectively. Estimated return periods based on these results show that the soft bounds model is more sensitive to magnitude uncertainty. Errors in estimated return periods become significant for magnitudes larger than 7.5.

* İstanbul Üniversitesi, Mühendislik Fakültesi Jeofizik Mühendisliği Bölümü, 34850 Avcılar, İstanbul.

** TÜBİTAK, Marmara Araştırma Merkezi Yerbilimleri Bölümü, P.K. 21, 41470 Gebze, Kocaeli.

GİRİŞ

Bir bölgenin depremselliğini yansitan en önemli parametrelerden olan sismik risk parametreleri, M_{max} en büyük bölgelik magnitüd, λ aktiflik oranı ve Gutenberg-Richter bağıntısının b-parametresi'nin hesaplanmasımda kullanılan verinin özellikleri büyük önem taşımaktadır. Bilindiği gibi, sismik risk parametrelerinin hesaplanmasımda tarihsel ve aletsel dönen deprem katalogları kullanılmaktadır. Tarihsel dönen deprem katalogları aletsel sismolojinin başladığı 1900 yılına kadar olan ve yalnızca yaptıkları hasar veya hissediliş derecelerine göre belirlenebilmiş, depremleri içermektedir. Dolayısı ile bu kataloglarda belirli bir magnitüdden daha küçük magnitüdü depremler eksik olduğu gibi, kayıtlardaki düzensizliklerden kaynaklanan boşluklar bulunmaktadır. Aletsel dönen deprem katalogları ise 1900 yılından günümüze kadar olan ve hem aletsel hem de gözlemler olarak belirlenebilmiş depremleri içermektedir. Bu kataloglar da, kullanılan aletlerin algılama kapasitelere göre ancak belirli bir magnitüdden daha büyük depremler için tamam sayılabilmekte ve aletsel problemlerden kaynaklanan boşluklar içerebilmektedir.

Tamam ve eksik deprem kataloglarından sismik risk parametrelerinin hesaplanmasımda en büyük olasılık yöntemi (the maksimum likelihood method) başarı ile kullanılmıştır. Kijko ve Sellevoll'un (1989) bu amaçla geliştirdiği yöntem yalnızca büyük depremlerden oluşan tarihsel dönen deprem kataloglarının ve tamam olduğu varsayılan aletsel dönen deprem kataloglarının ayrı ayrı veya birlikte kullanılabilmesine izin verir. Ayrıca, kataloglarda boşluklar bulunabilecegi gibi, tamam olduğu varsayılan kataloğun farklı bölmelerinde kesme magnitüdü, yarı magnitüden alt sınırı farklı olabilmektedir. Bu kolaylıklara rağmen, Kijko ve Sellevoll'un (1989) yöntemi magnitüdlerdeki hataları dikkate alamamaktadır. Oysa, deprem magnitüdü hiçbir zaman tamamıyla doğru olarak bilinmemektedir. Tarihsel depremlere ait magnitüd bilgileri makrosismik gözlemlere dayandırdı ve çoğu zaman bu gözlemler yeterince açık olmadığından ve yorumcuya göre değişebildiğinden büyük belirsizlikler içerir. Ayrıca, makrosismik gözlemlerin (şiddet değerlerinin) magnitüde dönüştürülmesinde de hatalar olmaktadır (Ambraseys ve diğ. 1983. Bender 1987, Tinti ve diğ. 1987). Öte yandan, aletsel olarak belirlenmiş magnitüdlerde de büyük belirsizlikler olabileceği gibi katalog içinde magnitüd türünün aynı olmasını sağlamak için empirik bağıntılar ile yapılan magnitüd dönüştürmelerinden kaynaklanan belirsizlikler vardır. Chung ve Bernreuter (1981) bu işlemin her zaman geçerli olmadığını belirtmiştirlerdir. Sismometrelerin özelliklerindeki değişiklikler de magnitüd dönüşümlerinde sistematik hatalara sebep olabilmektedir (Chung ve Bernreuter 1981, Nuttli ve Hermann 1982). Bu sebeplerden, hem tarihsel hem de aletsel dönen deprem katalogları magnitüdlerde düzensizlikler içerir ve sismik risk parametrelerinin hesaplanmasımda magnitüd belirsizliklerini dikkate alabilecek yöntemlere ihtiyaç duyulur. Kijko ve Sellevoll (1992) daha önce kendilince geliştirilen en büyük olasılık yöntemi (KS1 yöntemi) (Kijko ve Sellevoll 1989), bu amaca uygun hale getirmiştirler.

Bu çalışmada Kijko ve Sellevoll'un (1992) yöntemi kullanılarak Kuzey Anadolu Fay Zonu (KAFZ)'nun doğu bölümünü içine alan ve Erzincan çevresini kapsayan $38.5^{\circ}\text{K} - 40.5^{\circ}\text{K}$ enlemleri ile $37.5^{\circ}\text{D} - 42.0^{\circ}\text{D}$ boyamları arasındaki bölge için tarihsel dönen (950-1899) ve aletsel dönen (1900-1961 ve

1962-1984) deprem kataloglarından yararlanılarak deprem risk parametreleri hesaplanmış ve magnitüd belirsizliklerinin bu parametreleri nasıl etkilediği araştırılmıştır.

SİSMİK RİSK PARAMETRELERİNİN BELİRLENMESİ

Magnitüd Belirsizliği Modelleri

Bu çalışmada kullanılan yöntem eksik ve magnitüdlerde belirsizlikler bulunan deprem kataloglarından sismik risk parametrelerinin hesaplanabilmesine olanak verir. Kataloğun iki kısma bölünebileceği düşünülürse, birinci kısım tarihsel depremler hakkında bilgiyi, ikinci kısım ise, değişebilir kesme magnitüdleri ile aletsel dönendeki tam veriyi içerir. Kataloğu muzda kayıtların eksiksizinden ileri gelen boşluklar (T_g) bulunabileceği gibi, kataloğun başlangıcından önce oluşturduğu bilinen en büyük magnitüdü deprem (X_{max}) kullanılabilir. Sismik risk parametrelerinin hesaplanmasımda magnitüd belirsizliklerini dikkate almak için iki ayrı model göz önüne alınmıştır (Kijko ve Sellevoll 1992).

Katı Sınırlı Model (Hard Bounds Model):

Bu modelde deprem magnitüdündeki belirsizlik x ve \bar{x} değerleriyle belirlenmiştir. x magnitüden alt, \bar{x} ise üst sınıridir. $x = 0.5 (\underline{x} + \bar{x})$ şeklinde bir görünür magnitüd tanımlanırsa magnitüdün alt ve üst sınırları $\underline{x} = x - \delta$ ve $\bar{x} = x + \delta$ olur. δ magnitüd belirsizliğinin bir ölçüsü olup $\delta = 0.5 (\bar{x} - \underline{x})$ dir. Bu model Şekil 1a da gösterilmiştir.

Yumuşak Sınırlı Model (Soft Bounds Model):

Bu model Tinti ve Mulargia (1985) tarafından önerilen görünür magnitüd kavramına dayanır. Bir depremin görünür magnitüd gerçek magnitüden ϵ gibi bir rasgele hata ile farklı olan gözlemlerle magnitüd olarak tanımlanmıştır. ϵ 'nın ortalaması sıfır ve standart sapması σ olan bir Gauss dağılımı gösterdiği varsayılar (Şekil 1b).

Parametrelerin Belirlenmesi

Kullanılan yöntemin kuramsal esasları Kijko ve Sellevoll (1992) izlenerek aşağıda özetiştir. Izlenen, yaklaşımda deprem oluşumunun bir Poisson süreci olduğu varsayılar. Yani, t zaman aralığında n depremin meydana gelmesi olasılığı,

$$P(n) = \frac{\exp(-\lambda t)(\lambda t)^n}{n!} \quad (1)$$

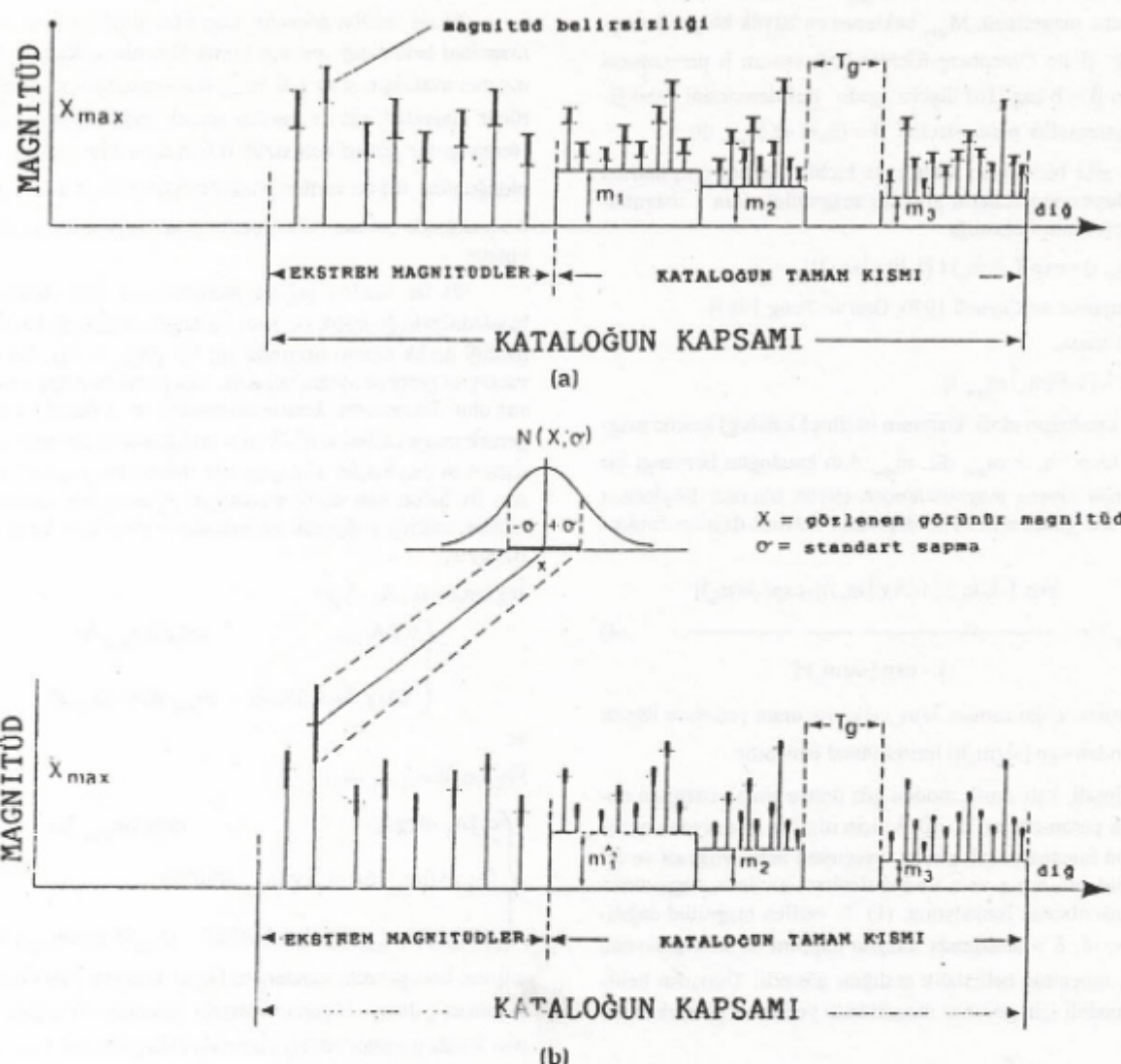
ile verilmiştir. λ , magnitüd M_{min} değerine eşit veya daha büyük olan depremlerin oluş nisbeti, yani sismik etkinlik orasıdır. Ayrıca, x ile verilen deprem magnitüd bir rasgele değişikendir ve iki taraftan kesilmiş Gutenberg-Richter magnitüdfrekans bağıntısına uyan bir üstel dağılım gösterir. Bu şartlarla, yoğunluk ve kümülatif magnitüd dağılımı fonksiyonları aşağıdaki gibi yazılabılır (Page 1968, Cosentino ve diğ. 1977, Kijko ve Sellevoll 1992, Alptekin ve diğ. 1992):

$$f(\chi | m) = \beta A(\chi)/(A_1 - A_2) \quad (2)$$

$$F(\chi | m) = [A_1 - A(\chi)]/(A_1 - A_2) \quad (3)$$

Burada,

$$A_1 = \exp(-\beta m)$$



Şekil 1. Sismik risk parametrelerinin hesaplanması sırasında kullanılan verinin özellikleri ve magnitüd belirsizliği modelleri. a) Kısıtlı sınırlı model (hard bounds model). Bu modelde herbir depremin magnitüdü alt ve üst magnitüd sınırları ile belirlenmiştir. Bu aralığın bilinmeyen gerçek magnitüdü içeriği varsayılmaktadır. b) Yumuşak sınırlı model (Soft bounds model). Bu modelde gözlenen magnitüdenin gerçek magnitüddenden ε gibi bir rasgele hata ile farklı olduğu varsayılmaktadır. ε nun sistematik hatalar içermediği ve ortalama değeri sıfır ve standart sapması σ olan bir Gauss dağılımı gösterdiği düşünülmektedir (Kijko ve Sellevoll 1992).

Fig. 1. Two models of earthquake magnitude uncertainty and the basic properties of the data that can be used to obtain seismic risk parameters. a) Hard bounds model. In this model the magnitude of each earthquake is specified by the lower and upper magnitude limits. It is assumed that the real unknown magnitude is contained in this interval b) Soft bounds model. In this model, it is assumed that the observed magnitude differs from the true magnitude by a random error ε . ε is free from systematic errors and follows a Gaussian distribution with zero mean and standard deviation σ (Kijko and Sellevoll 1992).

$$A_2 = \exp(-\beta M_{max})$$

$$A = \exp(-\beta \chi)$$

ile verilirler. x magnitüdü $< m, M_{max} >$ aralığında olup, m bilinen kesme magnitüdü, M_{max} beklenen en büyük bölgesel magnitüddür. β ile Gutenberg-Richter bağıntısının b parametresi arasında $\beta = b \log(10)$ ilişkisi vardır. Belirlenmesini istediğimiz depremsellik parametreleri $\theta = (\beta, \lambda)$ ve M_{max} dır.

t gibi bir zaman aralığında hiçbir deprem oluşmaması veya oluşan depremlerin görünür magnitüdlerinin x magnitüdün geçmemesi olasılığı

$$g(\chi | m_o, t) = \exp[-\lambda(m_o)t[1 - F(\chi | m_o)]]$$

dir (Benjamin ve Cornell 1970, Gan ve Tung 1983).

Burada,

$$\lambda(m_o) = \lambda[1 - F(m_o | m_{min})]$$

dir. m_o katalogun eksik kısmının (tarihsel katalog) kesme magnitüdü olup, $m_o \geq m_{min}$ dır. m_{min} tüm katalogun herhangi bir parçasında kesme magnitüdünden büyük olamaz. Böylece, zaman aralığında en büyük depremin olasılık dağılım fonksiyonu

$$G(\chi | m_o, t) = \frac{\exp[-\lambda(m_o)t[1 - F(\chi | m_o)]] - \exp[-\lambda(m_o)t]}{1 - \exp[-\lambda(m_o)t]} \quad (4)$$

dir. Pratikte, çoğu zaman, $\lambda(m_o)$ etkinlik oranını yeterince büyük olduğundan $\exp[-\lambda(m_o)t]$ terimi ihmal edilebilir.

Şimdi, katı sınırlı modeli göz önüne alarak istenilen sistematik risk parametreleri $\theta = (\beta, \lambda)$ için olasılık fonksiyonunu (likelihood function) elde edelim. Magnitüd belirsizliği alt ve üst magnitüd sınırları χ ve $\bar{\chi}$ ile belirlenirse, görünür magnitüden yoğunluk olasılık fonksiyonu, (1) ile verilen magnitüd dağılımının $< -\delta, \delta >$ aralığında düzgün dağılım ile konvolusyonu olur. δ , magnitüd belirsizlik aralığını gösterir. Tartışlan belirsizlik modeli için görünür magnitüden yoğunluk olasılık fonksiyonu,

$$f(\chi | m, \delta) = (2\delta)^{-1} \begin{cases} F(\chi + \delta) & , m - \delta \leq \chi < m + \delta, \\ F(\chi + \delta) - F(\chi - \delta) & , m + \delta \leq \chi < m_{max} - \delta, \\ 1 - F(\chi - \delta) & , m_{max} - \delta \leq \chi \leq m_{max} + \delta \end{cases} \quad (5)$$

ile verilir. Bunu aşağıdaki gibi yazabiliriz:

$$f(\chi | (m, \delta)) = C_\delta(\chi | m, \delta) \frac{\beta A(\chi)}{A_1 - A_2} \quad (6)$$

$C_\delta(x | m, \delta)$ bir düzeltme katsayısı olup aşağıdaki gibi verilir:

$$\begin{aligned} & [\exp[\beta(\chi - m)] - \exp(-\beta\delta)]/2\beta\delta, & m - \delta \leq \chi < m + \delta \text{ için}, \\ & C_f, & m - \delta \leq \chi < m_{max} - \delta \text{ için}, \\ & [\exp(\beta\delta) - \exp[\beta(m_{max} - \chi)]]/2\beta\delta, & m_{max} - \delta < \chi \leq m_{max} + \delta \text{ için} \end{aligned} \quad (7)$$

Burada

$$C_f = [\exp(\beta\delta) - \exp(-\beta\delta)]/2\beta\delta$$

olarak tanımlanır.

(6) ile verilen görünür magnitüd dağılımı δ ile verilen magnitüd belirsizliği artıkça klasik Gutenberg-Richter dağılımdan uzaklaşır. $< m + \delta, m_{max} - \delta >$ magnitüd aralığında görünür magnitüd, (2) ile verilen gerçek dağılım ile orantılıdır. Herhangi bir pozitif belirsizlik δ için düzeltme faktörü $c_f > 1$ olduğundan, (6) ile verilen görünür dağılım ile $< m + \delta, m_{max} - \delta >$ aralığında tahmin edilen deprem sayısı gerçek sayıdan büyütür.

(2) ile verilen orjinal modelimizde tüm depremlerin kaydedilebildiği aralık ($x \geq m$) ile hiçbir depremin kaydedilemediği aralık ($x > m$) arasında ani bir geçiş vardır. Böyle bir varsayıma göre uygun değildir, zira pratikde geçiş yavaş yavaş olur. Bu sebeple, kesme magnitüdü m , o şekilde seçilir ki gerçek magnitüdları $< m - \delta, m >$ aralığında ve görünür magnitüdları m den küçük olmayan tüm depremler kaydedilmiş olsun. Bu halde, katı sınırlı model için görünür magnitüden normalize edilmiş yoğunluk ve kamulatif olasılık fonksiyonları, sırasıyla,

$$\bar{f}(\chi | m, \delta) = (c_f A_1 - A_2)^{-1} \times \begin{cases} c_f \beta A(\chi), & m \leq \chi \leq m_{max} - \delta \\ [A(\chi - \delta) - A_2]/(2\delta), & m_{max} - \delta \leq \chi < m_{max} + \delta \end{cases} \quad (8)$$

ve

$$\bar{F}(\chi | m, \delta) = (c_f A_1 - A_2)^{-1} \times \begin{cases} c_f [A_1 - A(\chi)], & m \leq \chi < m_{max} - \delta, \\ [A_1 - A(m_{max} - \delta)] - A_2 (\chi - m_{max} + \delta)/(2\delta) & m_{max} - \delta \leq \chi < m_{max} + \delta \\ - [A(\chi) - A(m_{max} - \delta)] \exp(\beta\delta)/(\beta\delta) & m_{max} - \delta \leq \chi \leq m_{max} + \delta \end{cases} \quad (9)$$

olurlar. Bu aşamada standart en büyük olasılık yönteminin uygulanması yalmazca β parametresinin bulunmasını sağlar. Bulunan λ hâlâ görünür etkinlik oranıdır. Magnitüden $< m, m_{max} >$ aralığında olması koşulu ile Bender (1987, ek B) tarafından önerilen teknik uygulanarak görünür etkinlik oranı $\lambda(x)$ ile gerçek etkinlik oranı $\lambda(x)$ arasında aşağı bağıntı elde edilir (Kijko ve Sellevoll, 1992).

$$\tilde{\lambda}(x) = \lambda(x) C_\delta(\chi | m, \delta) \quad (10)$$

$C_\delta(x | m, \delta)$ (6) bağıntısı ile tanımlanmış olup, $m \leq x \leq m_{max}$ dir. Magnitüden alt sınırı yukarıdaki kabulümüze uygun olarak alırsa (10) denklemi aşağıdaki şekilde girer:

$$\tilde{\lambda}(x) = \lambda(x) \begin{cases} c_f & m \leq \chi < m_{max} - \delta \\ \frac{\exp(\beta\delta) - \exp[-\beta(m_{max} - x)]}{2\beta\delta} & m_{max} - \delta < \chi \leq m_{max} \end{cases} \quad (11)$$

(4) bağıntısından t zaman aralığında magnitüd x ve magnitüd

belirsizliği δ olan en büyük depremin yoğunluk olasılık fonksiyonu

$$g(\chi | m_0, t, \delta) = \tilde{\lambda}(\chi) \tilde{f}(\chi | m_0, \delta) \exp\{-\tilde{\lambda}(m_0) t [1 - F(\chi | m_0, \delta)] / [1 - \exp(-\tilde{\lambda}(m_0) t)]\} \quad (12)$$

dir. (12)'nin bağıntısının kullanılmasıyla kataloğun eksik kısmı (tarihsel katalog) için olasılık fonksiyonu

$$L_o(\theta | \chi_0) = \text{Sabit} \prod_{i=1}^{n_o} g(\chi_{oi} | m_0, t_{oi}, \delta_{oi}) \quad (13)$$

elde edilir. (13) denkleminde her bir i depremi için giriş verileri t_i zaman aralığında oluşan en büyük depremin görünür magnitüdü x_{oi} ve bunun belirsizliği δ_{oi} dir. $i = 1, \dots, n_o$ olup n_o kataloğun eksik kısmındaki deprem sayısıdır. t_i zaman aralıkları

$$t_i = \begin{cases} \tau_1 - t_{oi}, & i = 1 \text{ için} \\ \tau_i - \tau_{i-1}, & i = 2, \dots, n_o - 1 \text{ için} \\ t_{o2} - \tau_{n_o-i}, & i = n_o \text{ için} \end{cases} \quad (14)$$

formülünden hesaplanırlar. t_{o1} ve t_{o2} eksik kataloğun başlangıç ve sonunu belirtir ve $\tau_1, \dots, \tau_{n_o}$ tarihsel depremlerin orijin zamanlarıdır. Kolaylık amacıyla, magnitüdler ve belirsizlikleri $x_o = |x_{oi} - \delta_{oi}|$, $i = 1, \dots, n_o$ şeklinde, ve aynı sebeple t_i ler $= (t_1, \dots, t_{n_o})$ şeklinde grublandırılmışlardır. *Sabit*, Θ dan bağımsız bir normalleştirme faktörüdür.

Şimdi kataloğun tamam olduğu varsayılan ikinci kısmını Şekil 1 de gösterildiği gibi s altkataloğa ayıralım. Her bir altkataloğun kapsamı T_i ve bilinen bir m_i magnitüdünden itibaren tamamdır. Her bir i altkataloğu için görünür magnitüd ve bunun belirsizliği $x_{ij} = |x_{ij} - \delta_{ij}|$ olup $j = 1, \dots, n_i$ dir. n_i her bir altkatalogdaki deprem sayısı olup $i = 1, \dots, s$ dir.

Depremlerin büyüklükleri oluş sayılarından bağımsız ise $L_i(\theta | x_i)$ olasılık fonksiyonu $L_\beta(\beta | x_i)$ ve $L_\lambda(\lambda | x_i)$ fonksiyonlarının çarpımıdır. (8) bağıntısından yararlanılarak $L_\beta(\beta | x_i)$ aşağıdaki gibi yazılabilir,

$$L_\beta(\beta | \chi_i) = \text{Sabit} \prod_{j=1}^{n_i} \tilde{f}(\chi_{ij} | m_i, \delta_{ij}) \quad (15)$$

Birim zamanındaki deprem sayısının bir Poisson rasgele değişkeni olduğu varsayımdan,

$$L_\lambda(\lambda | x_i) = \text{Sabit} \exp[-\tilde{\lambda}(m_i) t_i] [\tilde{\lambda}(m_i) t_i]^{\pi_i} \quad (16)$$

elde edilir. *Sabit*, bir normalleştirme parametresi olup, $\lambda(m_i) = \lambda[1 - F(m_i | m_{min})]$ görünür etkinlik oranıdır. (3), (8), (9) ve $i = 1, \dots, s$ için (16), her bir tamam altkatalog için olasılık fonksiyonunu tanımlarlar. Nihayet, tüm veri için ortak olasılık fonksiyonu

$$L(\theta | \chi) = \prod_{i=0}^{n_i} L_i(\theta | \chi_i) \quad (17)$$

dir.

Şimdi dikkatimizi Tinti ve Mulargia (1985) tarafından önerilen yumuşak sınırlı modele çevirelim. Magnitüdlerin belirlenmesindeki hataların standart sapması σ olan bir normal dağılım gösterdiği varsayılsa, görünür magnitüden yoğunluk ve kümülatif olasılık fonksiyonları sırası ile,

$$f(\chi | m, \sigma) = \beta A(\chi) / (A_1 - A_2) C_\sigma(\chi | m, \sigma), \quad (18)$$

$$F(\chi | m, \sigma) = [A_1 - A(\chi)] / (A_1 - A_2) D_\sigma(\chi | m, \sigma), \quad (19)$$

olur. Burada

$$C_\sigma(\chi | m, \sigma) = \frac{e^{\beta^2}}{2} \left[\operatorname{erf}\left(\frac{m_{max} - \chi}{\sqrt{2}\sigma} + \beta\right) + \operatorname{erf}\left(\frac{\chi - m}{\sqrt{2}\sigma} - \beta\right) \right]$$

$$D_\sigma(\chi | m, \sigma) = \left\{ \frac{A_1[\operatorname{erf}(\frac{m_{max} - \chi}{\sqrt{2}\sigma} + 1)] + A_2[\operatorname{erf}(\frac{\chi - m}{\sqrt{2}\sigma}) - 1]}{2} - 2C_\sigma(\chi | m, \sigma) A(\chi) \right\} / 2[A_1 - A(\chi)]$$

dir. $\operatorname{erf}()$ hata fonksiyonudur (Abramowitz ve Stegun 1970). $\beta = \sigma / \sqrt{2}$ ve x her iki taraftan sınırsızdır.

$< m, m_{max} >$ magnitüd aralığı için (18) ve (19) ile verilen görünür magnitüd dağılımları (2) ve (3) ile verilen gerçek magnitüd dağılımları ile gösterilebilirler:

$$f(\chi | m, \sigma) = f(\chi | m) C_\sigma(\chi | m, \sigma) \quad (20)$$

$$F(\chi | m, \sigma) = F(\chi | m) D_\sigma(\chi | m, \sigma) \quad (21)$$

x in $< m, m_{max} >$ içinde olması halinde $C_\sigma(x | m, \sigma)$ düzeltme faktörü $\exp(\beta^2)$ gibi bir sabite yaklaşabilir ve

$$\lim_{\sigma \rightarrow 0} C_\sigma(\chi | m, \sigma) = 1 \quad (22)$$

$$\lim_{\sigma \rightarrow 0} D_\sigma(\chi | m, \sigma) = 1$$

olur. (22) bağıntıları bekletilerimizle uyuşmaktadır. Yani gerçek magnitüde ne kadar az hata girerse görünür magnitüd dağılımları $f(x | m, \sigma)$ ve $F(x | m, \sigma)$ nin $f(x | m)$ ve $F(x | m)$ ye o kadar iyi yaklaşıkları görülür. (18) ve (19) ile verilen görünür magnitüd dağılımları $< m, m_{max} >$ dışında bile değerler alabilirler. Görünür magnitüdler $\pm \infty$ aralığında değişebilirler.

Bundan sonraki uygulamalar için (18) ve (19) un normalleştirilmeleri gereklidir. m en küçük magnitüd ise ve bundan büyük magnitüdler için gözlemler tamam ise, yoğunluk olasılık fonksiyonu $f(x | m, \sigma)$, m ye kadar sıfır $x \geq m$ için ise $f(x | m, \sigma) / [1 - F(m | m, \sigma)]$ ye eşittir. Benzer şekilde, görünür magnitüden normalleştirilmiş kümülatif olasılık fonksiyonu

$$\tilde{F}(\chi | m, \sigma) = [F(\chi | m, \sigma) - F(m | m, \sigma)] / [1 - F(m | m, \sigma)]$$

dir. Gerçekte, $f(x | m, \sigma)$ ve $F(x | m, \sigma)$, $x \geq m$ için x in şartlı dağılımlarıdır.

Nihayet, kabul ettiğimiz modelde (2) ile verilen yoğunluk fonksiyonunun kesme magnitüdü m nin altında sıfır olmasının gerçeğe uygun olmadığı ve pratikde geçişin yavaş yavaş olduğu varsayılarak görünür etkinlik oranı $\bar{\lambda}(\chi)$ ile gerçek etkinlik oranı arasında

$$\bar{\lambda}(\chi) = \lambda(\chi) \frac{e^{-\beta^2}}{2} [1 + \operatorname{erf}\left(\frac{m_{\max} - \chi}{\sqrt{2}\sigma}\right)] \quad (23)$$

bağıntısı elde edilir.

$\Theta = (\beta, \lambda)$ nun fonksiyonu olan olasılık fonksiyonu (likelihood function) katı sınırlı modelde olduğu gibi elde edilir:

$$L_s(\theta | \chi) = \prod_{i=0}^n L_i(\theta | \chi) \quad (24)$$

Katalogun tam olmayan bir kısmında, herbir i depremi için iki veri gereklidir; bunlar t_i zaman aralığında oluşan en büyük depremin görünür magnitüdü x_{oi} ve bunun standart sapması σ_{oi} ($i=1, \dots, n_o$) dir. Gösterim kolaylığı için deprem magnitüdleri ve bunların standart sapmaları

$$x_{oi} = |x_{oi}, \sigma_{oi}|, i=1, \dots, n_o$$

ile gösterilmiştir. Aynı sebeple, t_i zaman aralıkları $t = (t_1, \dots, t_{n_o})$ şeklinde gruplandırılır. Benzer olarak,

$$x_i = |x_{ij}, \sigma_{ij}|, (j=1, \dots, n_i)$$

katalogun herbir tam kısmında görünür magnitüdleri ve bunların standart sapmalarını gösterir. $\Theta = (\beta, \lambda)$ parametrelerini belirlemek için en büyük olasılık yöntemi kullanılır. Bu yöntemde $\partial L(\theta | \chi) / \partial \beta$ ve $\partial L(\theta | \chi) / \partial \lambda$ sıfır yapılarak (17) ve (24) ile verilen olasılık fonksiyonları en büyük yapan Θ değerleri her iki model için ayrı ayrı hesaplanırlar. Çoğu hallerde olasılık fonksiyonu m_{\max} için gerçek değerler vermez. Ancak, katalogun kapsadığı T zaman döneminde gözlenen en büyük magnitüden (x_{\max}) beklenen en büyük magnitüde [$\operatorname{EXPECT}(x_{\max})$] T eşit olması koşulu ile tatmin edici sonuçlar elde edilebilir. $\operatorname{EXPECT}(x_{\max} | T)$, aşağıdaki formül ile verilir (Kijko 1988):

$$\operatorname{EXPECT}(x_{\max} | T) = m_{\max} \frac{E_i(TZ_2) - E_i(TZ_1)}{\beta \exp(-TZ_2)} - m_{\min} \exp(-\lambda T) \quad (25)$$

Burada,

$$Z_i = -\lambda A_i | (A_2 - A_1), i = 1, 2$$

ve $E(\cdot)$ aşağıdaki şekilde verilen bir üstel integral fonksiyonudur (Abramowitz ve Stegun 1970):

$$E_i(Z) = \int_z^{\infty} \exp(-\zeta) / \zeta d\zeta$$

ERZİNCAN VE ÇEVRESİNDE DEPREM RİISKİ

Magnitüd hatalarının deprem risk parametrelerini nasıl

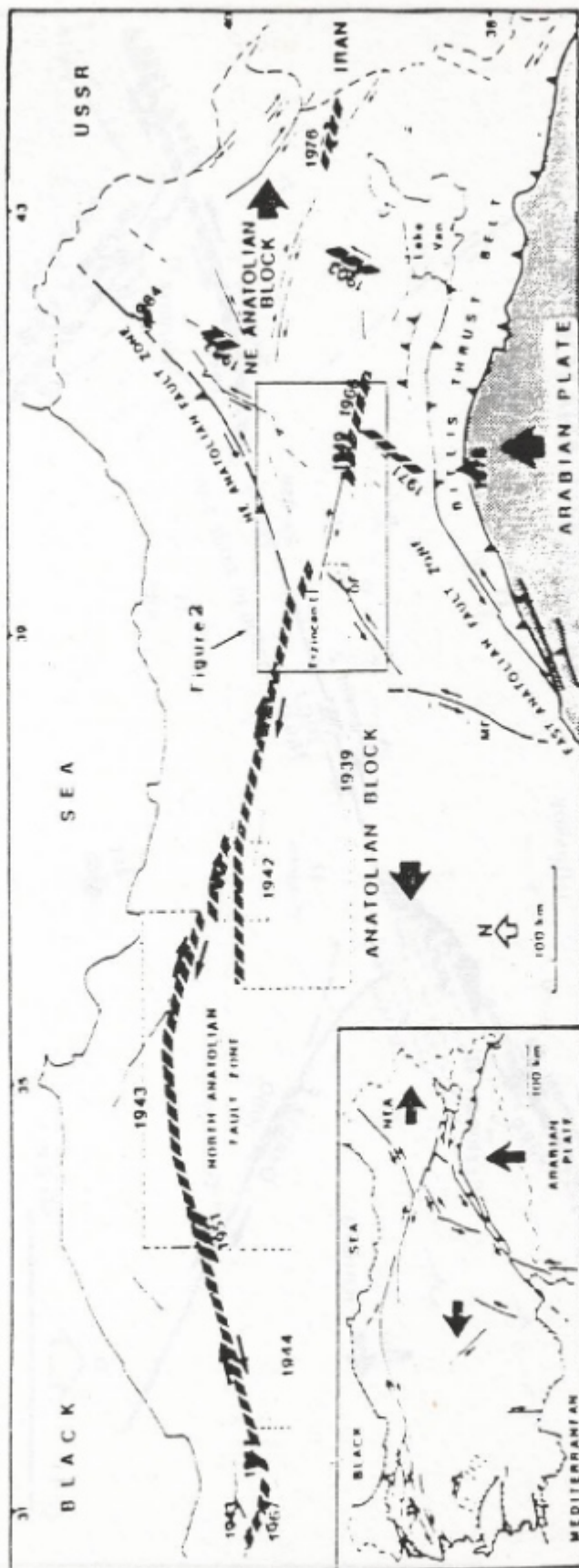
etkilediğini görebilmek amacıyla, kuramsal esasları önceki bölümde tartışılan modeller kullanılarak, Erzincan ve çevresini de içine alan 37.00°E - 42°E boyamları ve 38.5°K - 40.5°K enlemleri arasındaki bölge için sismik risk hesaplanmış ve magnitüd hatalarını dikkate alınmadığı durum ile karşılaştırılmıştır. Sismik risk parametrelerinin belirlenmesinden önce Erzincan ve çevresinin tektoniği ve depremselliği hakkında bilgi verilecektir.

ERZİNCAN VE ÇEVRESİNİN TEKTONİĞİ VE DEPREMSELLİĞİ

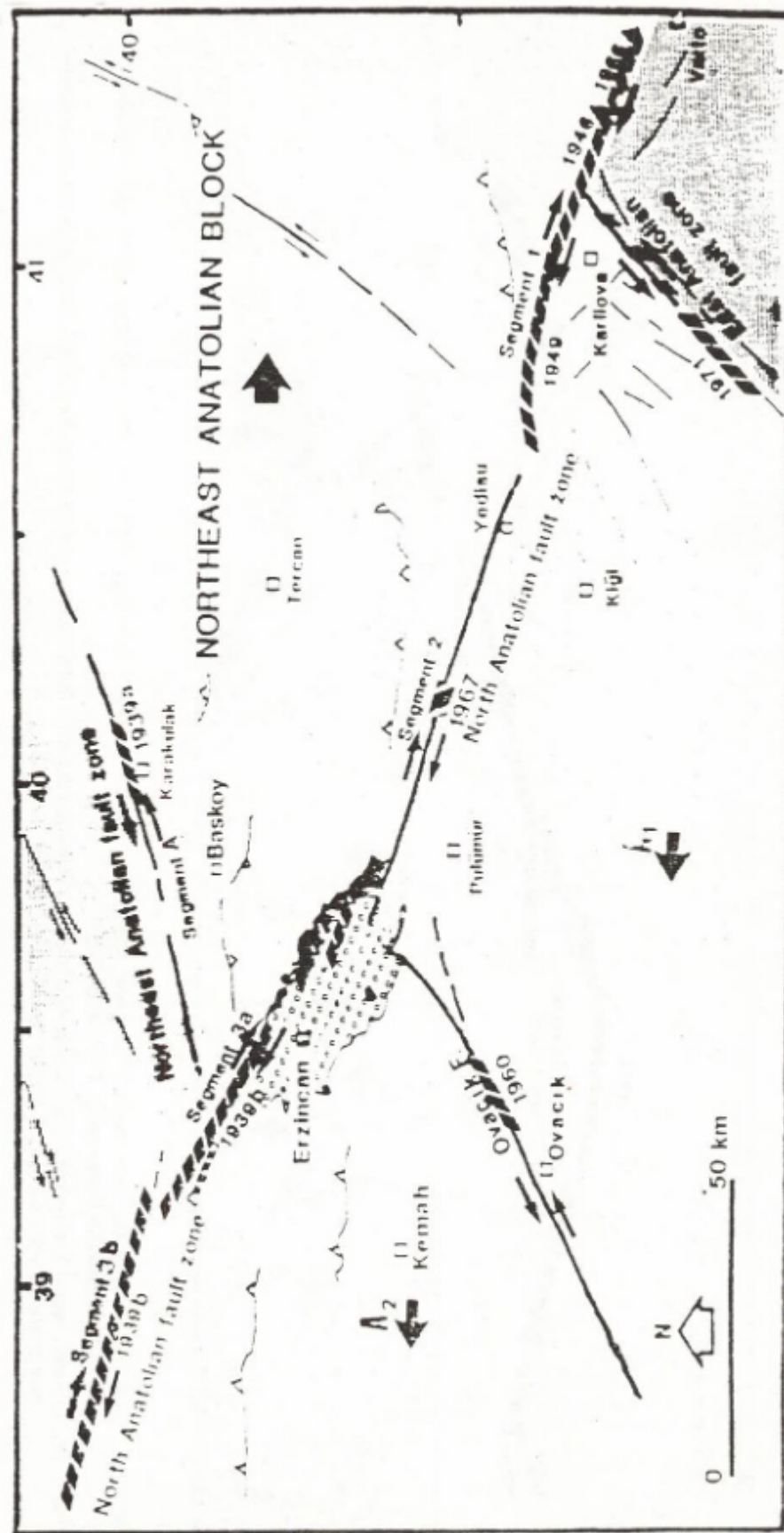
Arap levhasının kuzeye doğru hareketi Doğu Anadolu'da bir sıkışmaya sebep olmaktadır (McKenzie 1972, Alptekin 1978, Jackson 1992). Bu sıkışma sonucu Anadolu Bloğu batıya ve Kuzeydoğu Anadolu Bloğu'da doğuya doğru kaçma-ya çalışmaktadır (Şekil 2). Bu kaçış sonucu Anadolu Bloğu'nun, kuzey sınırını oluşturan Kuzey Anadolu Fay Zonu'nda (KAFZ) sağ-yanal, güney sınırını oluşturan Doğu Anadolu Fay Zonu'nda (DAFZ) ise sol-yanal hareketler oluşmaktadır. Bu iki fay Karlıova üçlü ekleminde kesişirler (Ketin 1969, Allen 1969, McKenzie 1972, Alptekin 1978, Dewey 1976, Toksöz ve diğ. 1979, Jackson ve McKenzie 1984, Şengör ve diğ. 1986, Barka ve diğ. 1987). Kuzeydoğu Anadolu Bloğu'nun doğuya hareketi, bu bloğun kuzey sınırını oluşturan Kuzeydoğu Anadolu Fay Zonu'nda (KDAFZ) sol-yanal hareketlere ve blok için karmaşık deformasyonlara neden olur. Anadolu Bloğu'nun doğu kısmı sol-yanal atımlı Ovacık fayı ile ikiye bölünmüştür. Ovacık fayı Erzincan baseninin güneydoğu kenarında, KDAFZ ise basenin kuzey sınırında KAFZ ile kesişirler. Erzincan basenin yaklaşık uzunluğu 50 km ve genişliği en çok 15 km yi bulan KB - GD doğrultulu çek-ayır tipi (pull-apart) bir basendir (Barka ve Gülen 1989).

KAFZ'nun Erzincan civarındaki bölümüm bir çok parçadan oluşmaktadır (Şekil 3). Bu parçalardan birincisi Karlıova'dan Yedisu'nun batısına kadar, ikincisi Yedisu'nun batısından Erzincan baseninin güneydoğu ucuna kadar uzanır. Üçüncü Erzincan baseninin kuzeydoğu sınırını oluşturur ve ikinci tali bir parça ile kuzeybatıya devam eder. Bu fay parçalarının jeolojik ve sismolojik özellikleri Barka ve Kadinsky-Cade (1987) ve Barka ve diğ. (1987) de ayrıntılı olarak tartışılmıştır. Bu araştırmılara göre KAFZ'nun Yedisu ile Erzincan basen arasındaki yaklaşık 100 km uzunluğundaki parçası fayın Karlıova ile Adapazarı arasındaki bölümünün kırılmayan tek parçasıdır ve yakın gelecekte orta büyüklükte bir depremin beklenıldığı bir sismik boşluk oluşturmaktadır.

Erzincan ve çevresi hem tarihsel dönemde hemde aletsel dönemde sismik bakımından aktif bir yoredir (Ergin ve diğ. 1967, Soysal ve diğ. 1981, Barka ve diğ. 1987). Çizelge 1 de Erzincan ve çevresinde tarihsel dönemde (1000-1900) oluşan depremler ve bunların sebep oldukları can kayipları verilmiştir. KAFZ üzerinde meydana gelen en büyük deprem 26 Aralık 1939 Erzincan depremidir ($M = 8.0$). Bu deprem KAFZ'nun Erzincan segmentinin KDAFZ ile kesiştiği kuzey ucunda olmuştur. Çeşitli araştırmalar ana şokun episansının 39.5° - 39.9°K enlemleri ile 38.5° - 39.7°D boyamları arasında yer aldığı belirlemiştir (Bkz. Barkave diğ. 1987). 30000 den fazla insanın olduğu bu depremde fay zonunun Erzincan ile Amasya arasındaki yaklaşık 360 km lik bir bölümünü kırılmıştır. Bazı yerlerde 3.7 m ye ulaşan sağ-yanal atım göz-



Şekil 2. Kuzey Anadolu ve Doğu Anadoluda 1900 yılından beri meydana gelen büyük depremlerin oluşturduğu yüzey kırıkları ve bunlara sebep olan levha hareketlerini gösteren tektonik harita (Barka ve diğ. 1987 den alınmıştır).
Fig. 2. Tectonic map of Turkey. The surface rupture along the North Anatolian and other faults due to large earthquakes since 1900, and the plate motions responsible for these are shown (After Barka et al. 1987).



Şekil 3. Anadolu ve kuzeydoğu Anadolu bloklarının hareketleri ve Kuzey Anatolian Fay Zonu'nun Karhova ile Erzincan arasındaki bölümündeki fay parçaları. Noktalı alan Erzincan basenini, A1 ve A2 Anadolu bloğunu iki ayrı parçasını göstermektedir (Barka ve diğ. 1987 den alınmıştır).

Fig. 3. Motions of the Anatolian and the northeast Anatolian Blocks and the segments of the North Anatolian Fault Zone between Erzincan and Karhova. Dotted area represents the Erzincan basin. A1 and A2 are subblocks of the Anatolian block (After Barka et al. 1987).

Çizelge 1. Erzincan ve çevresinde tarihsel dönemde meydana gelen depremler (Barka ve diğ. 1987 ve bu çalışma).

Table 1. Historical earthquakes in Erzincan and vicinity (Barka et. al. 1987 and this study).

Tarih	Şiddet	Ölü sayısı	Episantır Bölgesi
995	VI		Palu-Sivrice
1011	VIII		Erzincan
1045	X-XI		Erzincan
1068	VII		Erzincan
1161	VII		Erzincan
1166	VI		Erzincan
1168	VIII	12.000	Erzincan
1236	VI-VII		Erzincan
1251	VIII		Erzincan
14.10.1254	VIII	16.000	Refahiye-Erzincan, Sivas
1268	IX	15.000	Erzincan-Erzurum
1281	VI		Erzincan
08.05.1287	VIII		Erzincan
1289	VIII		Erzincan
1290	VI		Erzincan
1308	VI-VII		Erzincan
1345	VI		Erzincan
1356	V-VI		Erzincan
1363	VIII		Muş ve Yöresi
1366	VI		Erzincan
08.12.1374	VII-VIII		Erzincan
1422	VIII		Erzincan
1433	VI		Erzincan
13.04.1456	VIII		Erzincan
1458	X	32.000	Erzincan-Erzurum
21.12.1482	IX		Erzincan-Erzurum
1543	VII		Erzincan
05.11.1576	VII		Erzincan
1578	VIII	1.500-15.000	Erzincan
17.06.1584	IX		Erzincan-Erzurum
1605	?		Erzincan
1659	VI		Erzurum
28.06.1667	VIII-X		Erzincan
09.06.1766	VII		Pasinler, Tortum, İspir
27.01.1781	VII		Erzurum
23.07.1784	VIII-X	5.000-15.000	Erzincan, Pülümür, Erzurum
1787	VIII		Erzincan
.05.1789	VIII		Palu-Elazığ
1790	VIII		Erzurum
1794	VI		Erzurum
01.01.1844	VII		Erzurum
1850	VII		Erzurum
24.07.1852	IX		Erzurum
29.08.1852	VI		Erzurum
21.01.1859	VIII	500	Pasinler-Erzurum
02.06.1859	IX	15.000	Erzurum ve Geniş Yöresi
26.06.1859	VII		Erzurum
03.12.1860	VII		Erzurum
20.06.1866	VIII		Erzurum
02.04.1868	VIII		Pasinler-Erzurum
23.04.1868	IX		Erzurum-Kars
13.02.1873	VII		Niksar, Şebinkarahisar
03.05.1874	VIII		Harpot-Elazığ, Diyarbakır
27.03.1875	VIII		Karlıova-Bingöl, Palu-Elazığ
01.11.1875	X		Erzurum
.07.1877	VI		Erzurum
.03.1886	VI		Erzurum
1887	VI		Erzincan
.05.1888	VII		Erzincan
1889	VI		Palu-Elazığ
20.05.1890	IX		Refahiye-Erzincan

lenmiştir (Pamir ve Ketin 1941, Ketin 1948, 1969, Ambraseys 1970).

USGS NEICni ilk belirlemelerine göre 13 Mart 1992 Erzincan depremi ($M = 6.8$) de fayın Erzincan segmenti üzerinde meydana gelmiştir. Erzincan ve çevresinde 1900 - 1984 yılları arasındaki deprem etkinliği Şekil 4 de gösterilmiştir. Aynı dönemde oluşan depremlerin yıllara göre dağılımları Şekil 5 de gösterilmiştir. 38.5 K ile 40.5 K enlemleri arasında tarihsel ve aletsel depremlerin zamana göre dağılımları incelediğinde (Şekil 6 a, b) 10 ile 100 yıl arasında değişen suskunluk dönemleri göze çarpmaktadır.

KULLANILAN VERİ VE ÖZELLİKLERİ

Erzincan ve çevresinde sismik riskin belirlenmesi ve magnitüd belirsizliklerinin sismik risk parametrelerine etkisini incelemek için, 1950-1984 yılları arasında oluşan depremleri içeren bir katalog hazırlandı. Bu katalogun oluşturulmasında tarihsel dönem depremleri için Soysal ve diğ. (1981), Ergin ve diğ. (1967) kataloglarından, aletsel dönem depremleri için NOAA (National Oceanic and Atmospheric Administration) veri tabanı ile Ergin ve diğ. (1967) ve Ayhan ve diğ. (1986) kataloglarından yararlanıldı. Kataloğumuzun tarihsel dönem depremlerini içeren kısmı 01/01/1950 ile 31/12/1899 arasındaki dönemi kapsamaktadır. Bu kısmda veriler kalitelerine göre; a: yüksek güvenilirlikli ($\delta=0.4$), b: orta güvenilirlikli ($\delta=0.5$) ve c: az güvenilirlik ($\delta=0.6$) olmak üzere gruplandırılmışlardır. Bu sınıflama magnitüd belirsizlik değerlerinin seçilmesinde dikkate alınmıştır.

Aletsel dönem verilerinde Dünya Standart Sismograf Ağının (WWSSN) işletilmeye başlandığı 1960 li yıllarda itibaren belirgin bir iyileşme görüldüğünden aletsel dönem deprem kataloğumuz 01/01/1900-31/12/1960 ve 01/01/1961-31/12/1984 zaman dönemlerini kapsayan iki alt kataloga ayrılmıştır. Bunlardan birincisi için $\sigma=\delta=0.3$, ikincisi için ise $\sigma=\delta=0.2$ alınmıştır. Kataloğumuzun tarihsel kısmında şiddet değerlerini magnitüde dönüştürmek için

$$M = 0.659 I_o + 0.93$$

bağıntısı (Öncel 1992, Alptekin ve diğ. 1993) kullanılmıştır.

Tarihsel ve aletsel dönem deprem kataloglarımız Çizelge 2 de özetlenmiştir.

SİSMİK RİSK DEĞERLERİ

Önceki bölümde özellikleri açıklanan katalog kullanılarak kuramsal esasları anlatılan katı sınırlı model (HB Model) ve yumuşak sınırlı model (SB Model) ile magnitüd hatalarının dikkate alınmadığı hal (KS1 tekniği) için Erzincan ve çevresinde sismik risk değerleri hesaplanmıştır. Hesaplamlar Kijko ve Sellevoll'un (1992) geliştirdiği ve araştırmacıların kullanımına açıktır, IBM PC veya esdegeri bilgisayarlarında çalıştırılabilen bir FORTRAN 77 programı ile yapılmıştır. Programın amacımıza uygun çalışmasını açıklayan akış şeması Şekil 7 de gösterilmiştir.

Magnitüd belirsizliklerinin dikkate alınmadığı hal ile, $\sigma=\delta$ seçilmesi halinde katı sınırlı model (HB Model) ve yumuşak sınırlı model (SB Model) için hesaplanan sismik risk parametreleri (b, $\lambda_{4,0}$ ve m_{max}) Çizelge 3 de özetlenmiştir. Bu so-

nuçlara kataloğumuzun farklı bölgelerinin katkıları Çizelge 4 de verilmiştir. Çizelge 3 deki sonuçlara göre hesaplanan yineleme zamanları (tekrarlanma peryodu) Çizelge 5 de verilmiş ve Şekil 8 de gösterilmiştir. Yumuşak sınırlı model için sismik risk parametrelerinin magnitüd belirsizliğinden nasıl etkilenenlikleri Şekil 9 da gösterilmiştir. Şekilden magnitüd belirsizliklerinin m_{max} 'i hemen hemen hiç etkilemediği λ ve β yi ise δ dan büyük belirsizlikler için etkilediği, δ küçük belirsizliklerin, sismik risk parametrelerini hemen hemen hiç etkilemedikleri anlaşılmaktadır.

Magnitüd hatalarının dikkate alınmadığı halde (KS1 teknigi ile) hesaplanan yineleme zamanları katı sınırlı ve yumuşak sınırlı modeller için hesaplanan yineleme zamanlarından küçütür.

Yumuşak sınırlı model için hesaplanan yineleme zamanları magnitüd belirsizliklerine daha duyarlıdır. Örneğin, $\sigma = \delta/2$ olduğundan 5.5 magnitüdüne yineleme zamanı 10.1 yıl iken $\sigma = \delta$ olduğunda hesaplanan yineleme zamanı 11.9 yıldır. Magnitüddekii belirsizliğin iki katına çıkarılması yineleme zamanında % 15 lik bir artış sebep olmaktadır. Yumuşak sınırlı modelde yineleme zamanlarına magnitüd belirsizliğinin etkisi Şekil 10 da gösterilmiştir.

Katı sınırlı model magnitüd hatalarına daha az duyarlıdır. Örneğin, 5.5 magnitüdü için katı sınırlı modele göre $\delta/2$ için yineleme zamanı 9.6 yıl iken δ için bulunan yineleme zamanı 10.8 yıl olup artış % 11 dir.

Katı sınırlı modelin magnitüd belirsizliğine daha az duyarlı olduğu kolay açıklanabilir. Pratikde, katı sınırlı ve yumuşak sınırlı modeller magnitüd belirsizliğinin dikkate alınmadığı standart modelden c_f düzeltme faktörü ile farklıdır. Katı sınırlı model için

$$C_f = [\exp(\beta \delta) - \exp(-\beta \delta)] / (2\beta \delta)$$

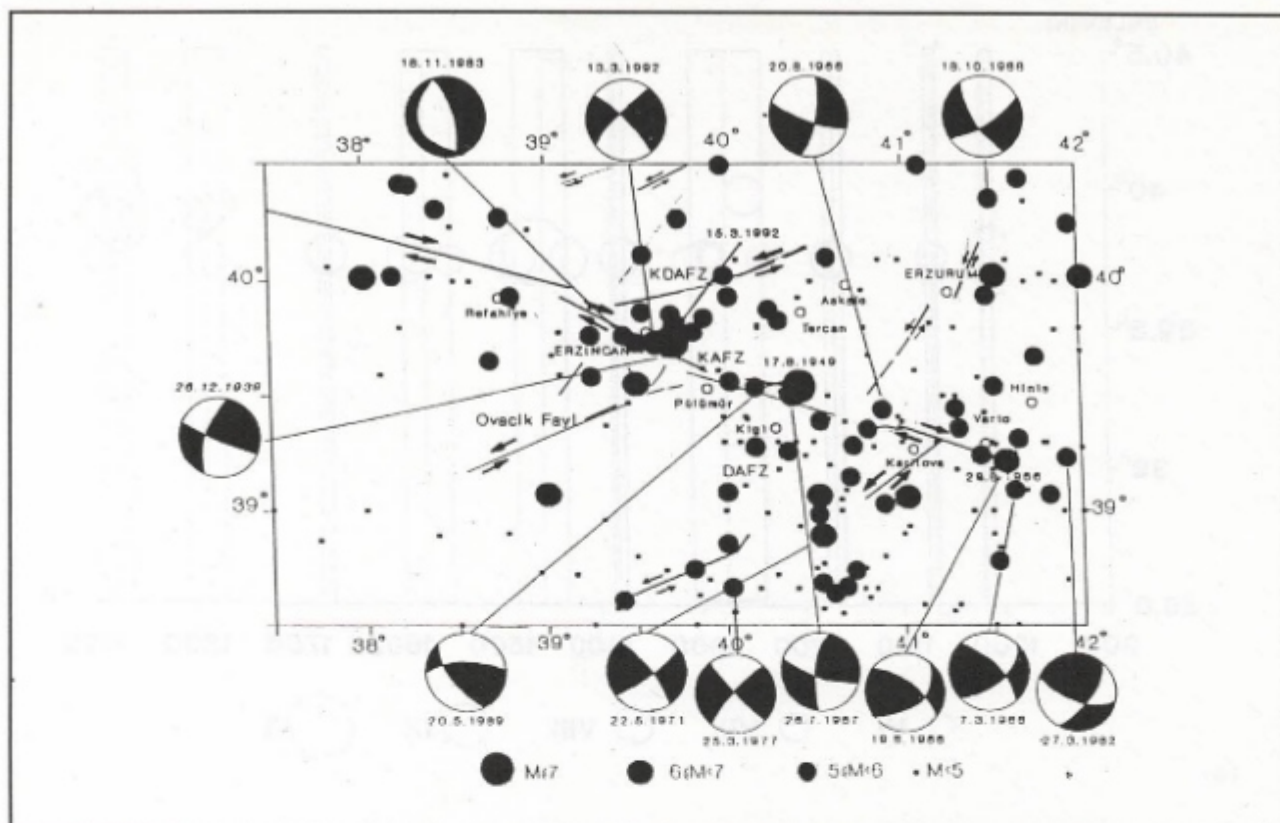
yumuşak sınırlı model için ise

$$C_f = \exp(\beta^2 \sigma^2 / 2)$$

dir. Standart yaklaşımada $c_f = 1$ dir. Şekil 11 de düzeltme faktörü c_f nin magnitüd belirsizliği ile değişimi gösterilmiştir. Magnitüd belirsizliği, katı sınırlı model için δ , yumuşak sınırlı model için ise σ dir ve hesaplar $\beta=2.0$ için yapılmıştır. Yaklaşık 0.2 ye kadar olan küçük magnitüd belirsizlikleri için düzeltme faktörü hemen hemen 1 dir. Bu gibi hallerde üç model de eşdeğerdir ve magnitüd hataları ihmali edilebilir. Ancak, magnitüd belirsizliği arttıkça düzeltme c_f faktörü de artmaktadır. c_f nin artışı, yumuşak sınırlı model için daha hızlıdır. Bu sebeple, yumuşak sınırlı model magnitüd hatalarına katı sınırlı modelde göre daha duyarlıdır.

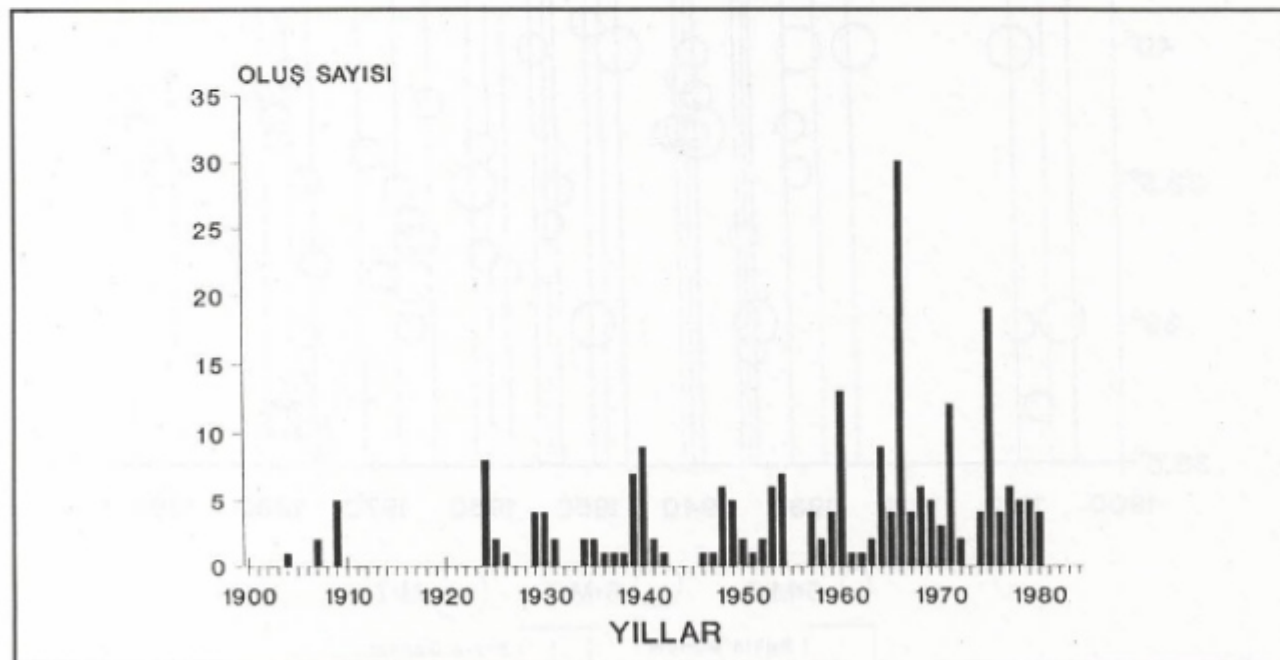
SONUÇLAR

Tarihsel ve aletsel dönem deprem kataloglarından sismik risk parametrelerinin hesaplanmasında magnitüd belirsizliklerinin etkisi incelenmiştir. Kijko ve Sellevoll (1992) tarafından önerilen, magnitüd belirsizliklerini dikkate alan katı sınırlı ve yumuşak sınırlı modeller için ve magnitüd belirsizliklerinin dikkate alınmadığı hal için Erzincan ve çevresinde deprem risk parametreleri hesaplanmıştır. Katı sınırlı modelde



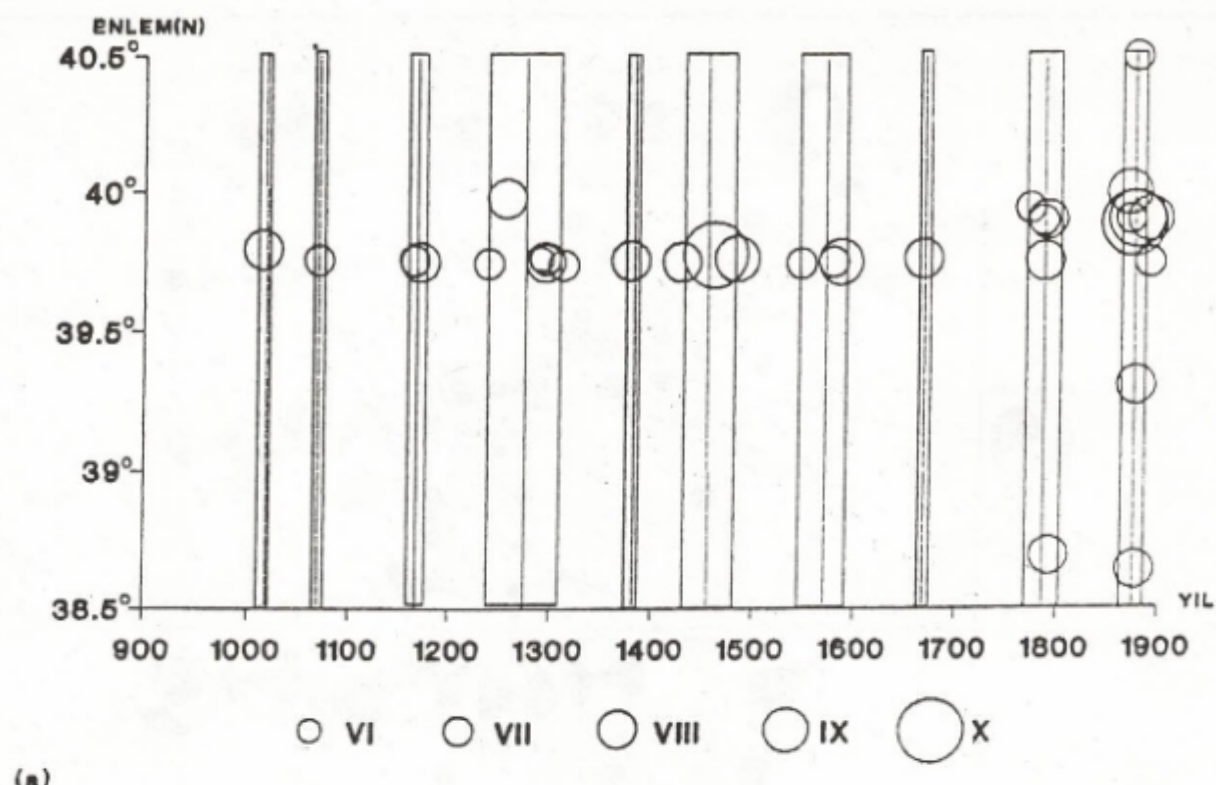
Şekil 4. Erzincan ve çevresinde 1900-1984 yılları arasındaki deprem etkinliği.

Fig. 4. Seismicity of Erzincan and vicinity between 1900-1984.

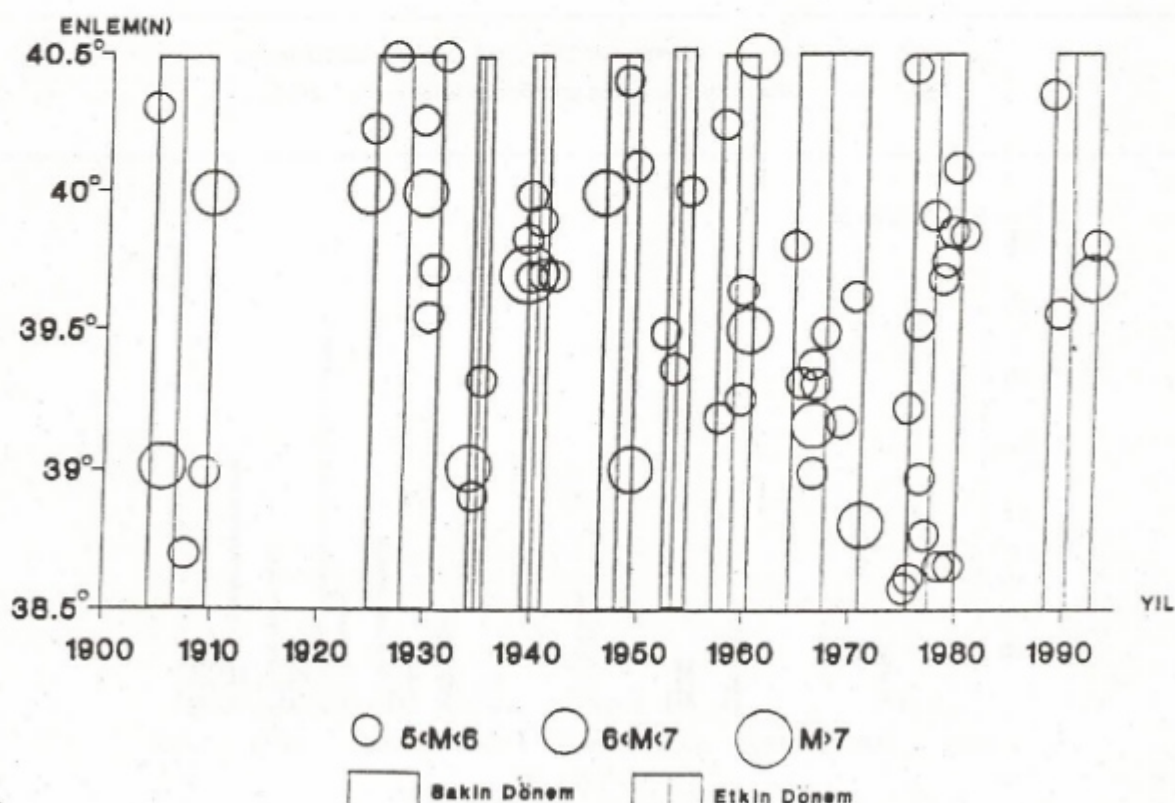


Şekil 5. Erzincan ve çevresinde 1900-1984 yılları arasında meydana gelen depremlerin oluş sayıları.

Fig. 5. Yearly distribution of earthquake occurrences in Erzincan and vicinity between 1900-1984.



(a)



(b)

Şekil 6. 38.5 K ile 40.5 K enlemlerleri arasında (a) tarihsel, (b) aletsel dönemde meydana gelen depremlerin yıllara göre dağılımları 10 ile 100 yıl arasında değişen suskunluk dönemleri dikkat çekmektedir.

Fig. 6. Yearly distribution of earthquake occurrences between 38.5 N and 40.5 N latitudes, (a) in historical period, (b) in instrumental period. Seismically quiet periods ranging from 10 to 100 years can be recognized.

Çizelge 2. Sismik risk parametrelerinin hesaplanması sırasında kullanılan tarihsel ve aletsel dönem deprem kataloglarının özeti.

Table 2. A summary of the historical and the instrumental period earthquake catalogs which are used to compute seismic risk parameters.

a. TARİHSEL KATALOG

Eksik Katalok

Kapsamı: 01/01/1950-31/12/1899

$\sigma=\delta=0.4$ (Yüksek güvenirlilikli veri)

$\sigma=\delta=0.5$ (Normal güvenirlilikli veri)

$\sigma=\delta=0.6$ (Az güvenirlilikli veri)

Şiddet	Magnitüd	Oluş sayısı
VI	4.9	12
VII	5.5	15
VIII	6.2	19
IX	6.9	8
X	7.5	2

b. ALETSEL KATALOG

Tamam Katalog 1

Kapsamı: 01/01/1900-31/12/1961

Kesme magnitüdü: 4.5

$\sigma=\delta=0.3$

Magnitüd	Oluş sayısı
4.5	6
4.6	10
4.7	5
4.8	14
4.9	12
5.0	16
5.1	6
5.2	1
5.3	5
5.5	5
5.6	5
5.7	1
5.8	3
5.9	2
6.0	3
6.1	1
6.3	1
6.5	1
6.8	2
6.9	1
8.0	1

Tamam Katalog 2

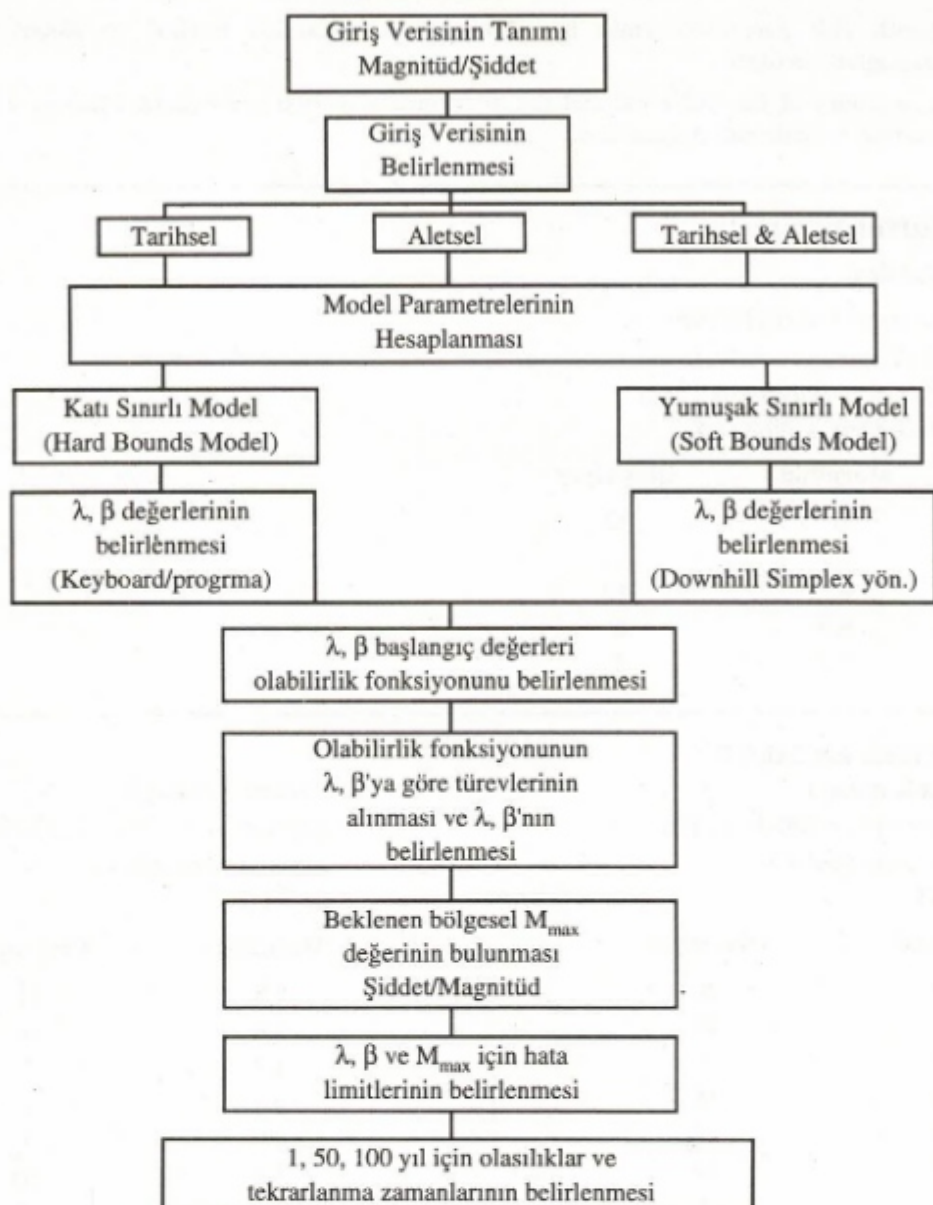
Kapsamı: 01/01/1961-31/12/1984

Kesme magnitüdü: 4.5

$\sigma=\delta=0.2$

Magnitüd	Oluş sayısı
4.5	11
4.6	4
4.7	7
4.8	8
4.9	3
5.0	20
5.1	5
5.2	1
5.3	2
5.4	1
5.5	2
5.6	1
5.7	1

Alptekin ve Öncel



Şekil 7. Sismik risk parametrelerinin hesaplanmasıında kullanılan bilgisayar programının basitleştirilmiş akış diyagramı.
Fig. 7. Simplified flow chart of the computer program which is used to compute the seismic risk parameters.

Çizelge 3. Magnitüd belirsizliklerinin dikkate alınmadığı hal ile, $\sigma=\delta$ seçilmesi halinde katı sınırlı model ve yumuşak sınırlı model için hesaplanan sismik risk parametreleri.

Table 3. Seismic risk parameters computed for the hard bounds and the soft bounds models when $\sigma=\delta$, and for the case when the magnitude uncertainty is ignored.

SİSMİK RİSK PARAMETRELERİ			
Magnitüd hataları İhmal edilmiş	Katı Sınırlı Model	Yumuşak Sınırlı Model	
b	0.80 .03	0.75 .04	
$\lambda_{1.0}$	1.55 .13	1.20 .10	
m_{\max}	8.8 .00	8.67 .53	

Çizelge 4. Hesaplanan sismik risk parametrelerine tarihsel dönem ve aletsel dönem verilerinin katkıları.

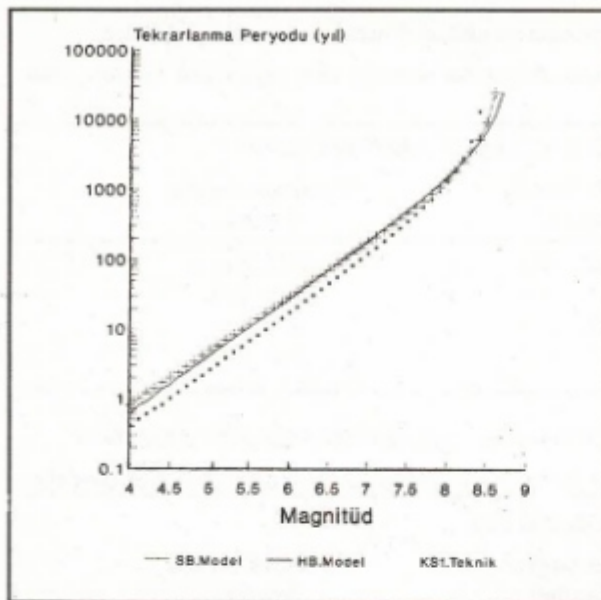
Table 4. Contributions of the historical and the instrumental period data to the computed seismic risk parameters.

SİSMİK RİSK PARAMETRELERİNE KATALOGLARIN KATKISI							
	Magnitüd hataları ihmal edilmiş		Kati Sınırlı Model		Yumuşak Sınırlı Model		
	$\beta(\%) \lambda(\%)$		$\beta(\%) \lambda(\%)$		$\beta(\%) \lambda(\%)$		
Eksik Katalog	80.8 19.0		78.5 21.0		74.8 25.3		
Tamam Katalog 1	11.3 49.0		12.8 47.8		14.8 45.2		
Tamam Katalog 2	8.0 32.0		8.7 31.2		10.4 29.5		

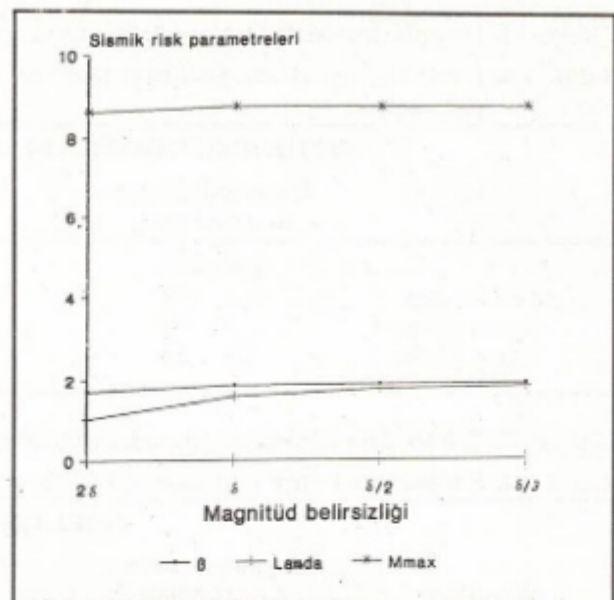
Çizelge 5. Çizelge 3 de verilen sonuçlara göre üç ayrı model için hesaplanan deprem yineleme zamanları.

Table 4. Earthquake return periods based on the results of Table 3, computed for the three different models.

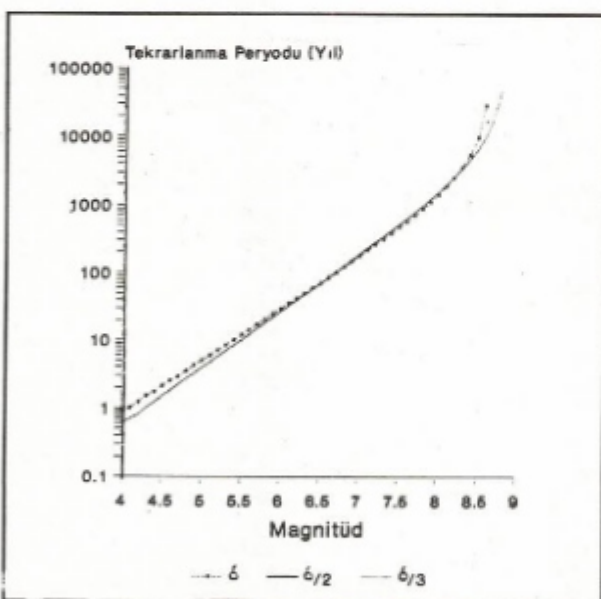
Magnitüd	YİNELENME ZAMANLARI		
	Magnitüd hataları ihmal edilmiş	Kati Sınırlı Model	Yumuşak Sınırlı Model
4.0	.4	.6	.8
4.1	.5	.8	1.0
4.2	.6	.9	1.2
4.3	.7	1.1	1.4
4.4	.9	1.4	1.7
4.5	1.1	1.6	2.0
4.6	1.3	2.0	2.4
4.7	1.6	2.4	2.9
4.8	1.9	2.9	3.4
4.9	2.4	3.5	4.1
5.0	2.9	4.2	4.9
5.1	3.5	5.1	5.8
5.2	4.2	6.1	7.0
5.3	5.2	7.4	8.3
5.4	6.3	8.9	10.0
5.5	7.6	10.8	11.9
5.6	9.3	13.0	14.2
5.7	11.3	15.7	17.0
5.8	13.8	19.0	20.3
5.9	16.8	22.9	24.2
6.0	20.5	27.7	29.0
6.1	24.9	33.4	34.6
6.2	30.4	40.4	41.4
6.3	37.0	48.8	49.5
6.4	45.1	59.0	59.3
6.5	55.0	71.3	71.0
6.6	67.2	86.3	85.1
6.7	82.1	104.4	102.1
6.8	100.4	126.5	122.7
6.9	122.9	153.4	147.5
7.0	150.6	186.2	177.6
7.1	184.9	226.3	214.2
7.2	227.6	275.4	259.0
7.3	280.8	335.9	314.0
7.4	347.6	410.7	382.0
7.5	432.0	503.6	466.6
7.6	540.0	619.7	572.9
7.7	679.4	766.3	708.1
7.8	862.5	953.1	882.6
7.9	1108.0	1194.5	1112.2
8.0	1446.5	1511.8	1422.2
8.1	1931.1	1938.6	1855.5
8.2	2665.1	2531.1	2491.6
8.3	3877.7	3389.3	3495.9
8.4	6190.9	4714.6	5277.4
8.5	12148.4	6977.6	9210.3



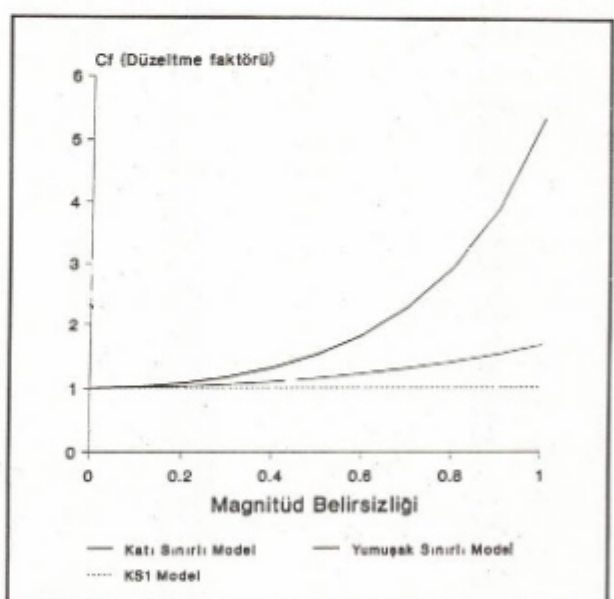
Şekil 8. Magnitüd belirsizliklerinin dikkate alınmadığı hal ile, $\sigma = \delta$ seçimi halinde katı sınırlı model (HB model) ve yumuşak sınırlı model (SB model) için deprem yinelenme zamanları.
Fig. 8. Earthquake return periods for the hard bounds (HB) and the soft bounds (SB) models when $\sigma = \delta$, and for the case when magnitude uncertainties are ignored.



Şekil 9. Magnitüd belirsizliğinin sismik risk parametrelerine etkisi. M_{\max} magnitüd belirsizliğinden hemen hemen hiç etkilenmemektedir.
Fig. 9. Effects of magnitude uncertainty on seismic risk parameters estimates. M_{\max} is not effected from the magnitude uncertainty.



Şekil 10. Yumuşak sınırlı modelde magnitüd belirsizliğinin deprem yinelenme zamanlarına etkisi.
Fig. 10. Effect of magnitude uncertainty on return times of earthquakes in soft bounds model.



Şekil 11. Kati sınırlı model ve yumuşak sınırlı model için düzeltme faktörü C_f nin magnitüd belirsizlikleri ile değişimi. Magnitüd belirsizliklerinin dikkate alınmadığı halde $C_f = 1$ dir.
Fig. 11. Variations of the correction factor C_f with the magnitude uncertainty in hard bounds and soft bounds models. $C_f = 1$ for case when the magnitude uncertainty is ignored.

deprem magnitüdündeki belirsizlik $\pm x$ sınırları ile tanımlanmıştır ve bu aralığın bilinmeyen gerçek magnitüdü içeriği varsayılmıştır. Yumuşak sınırlı modelde ise magnitüd belirsizliğinin ortalama değeri sıfır olan ve standart sapması bilinen bir Gauss dağılımı gösterdiği düşünülmüştür.

Erzincan ve çevresi için katı sınırlı ve yumuşak sınırlı modeller ile magnitüd hatalarının dikkate alınmadığı hal için hesaplanan b-değerleri sırası ile 0.80, 0.75 ve 0.83; $\lambda_{4.0}$ etkinlik değerleri 1.55, 1.20 ve $2.48; m_{\max}$ değerleri ise 8.8, 8.67 ve 8.63 dür.

Elde edilen sonuçlar, magnitüd belirsizliklerinin kabul edilebilir sınırlar içinde kalmaları halinde sismik risk belirlemelerinde önemli olmadıklarını göstermektedir. Ancak, büyük magnitüd hataları sismik risk belirlemelerinde önemli olabilecektir. Yumuşak sınırlı model büyük magnitüd hatalarına katı sınırlı modellen daha duyarlıdır. Magnitüd belirsizliğinin kabul edilebilir sınırlar içinde kalması halinde her iki model de kıyaslanabilir sonuçlar vermektedir. Ancak, magnitüd hatalarının ihmali edilmesi halinde sismik risk parametreleri doğru hesaplanamaz ve hesaplanan yinelenme zamanları katı sınırlı ve yumuşak sınırlı modellerden bulunan yinelenme zamanlarından küçük olur.

KATKI BELİRTME

Geliştirdikleri bilgisayar programını kullanmamıza izin veren Prof. A. Kijko ve Prof. M.A. Sellevoll'a ve Şekil 4'ün hazırlanmasına yardım eden Jeofizik Mühendisi A. Yörük'e teşekkür ederiz.

KAYNAKLAR

- Abramowitz, M. and Stegun, A. 1970, Handbook of Mathematical Functions, 9th ed., Dover, New York.
- Allen, C.R. 1969, Active faulting in northern Turkey, California Inst. Technology, Div. Geol. Sci., Contribution No. 1577, 32p.
- Alptekin, Ö. 1978, Batı Anadolu depremlerinin odak mekanizmaları ve bunların aktif tektonik ile ilişkileri, 2. Odak mekanizmaları ve plaka tektoniği modeli, Jeofizik VII, 3, 30-56.
- Alptekin, Ö., Öncel, A.O. ve Yörük, A. 1992, En büyük olasılık yöntemi ile Kuzey Anadolu Fay Zonu'nda deprem riskinin belirlenmesi, Jeofizik 6, 35-53.
- Ambraseys, N. 1970, Some characteristic features of the North Anatolian Fault Zone, Tectonophysics 9, 143-165.
- Ambraseys, N., Banda, E., Irving, J., Mallard, S., Melville, C., Morse, T., Wood, M.R., Mundo, D., Serva, L., Shilton, D. and Vogt, J. 1983, Notes on historical seismicity, Bull. Seism. Soc. Am. 73, 1917-1920.
- Ayhan, E., Alsan, E., Sancaklı, N. ve Üçer, S.B. 1986, Türkiye ve Doğayla Deprem Kataloğu 1881-1980, Boğaziçi Univ. Kandilli Tasatıh., 126 Sayfa.
- Barka, A.A., Toksoz, M.N., Gülen, L. ve Kadinsky-Cade, K. 1987, Kuzey Anadolu Fayının doğu kesiminin segmentasyonu, sisimitesi ve deprem potansiyeli, Yerbilimleri 14, 337-352.
- Barka, A.A. and Kadinsky-Cade, K. 1988, Strike-slip fault geometry in Turkey and its influence on earthquake activity, Tectonics 7, 663-684.
- Barka, A.A. and Gülen, L. 1989, Complex evolution of the Erzincan Basin (eastern Turkey), Jour. Structural Geol. 11, 275-283.
- Bender, B. 1987, Effects of observational errors in relating magnitude scales and fitting the Gutenberg-Richter parameter β , Bull. Seism. Soc. Am. 77, 1400-1428.
- Benjamin, J.R. and Cornell, C.A. 1970, Probability, Statistics and Decision for Civil Engineers, Mc Graw-Hill, New York.
- Chung, D.H. and Bernreuter, D.L., 1981, Regional relationships among earthquake magnitude scales, Rev. Geophys. Space Phys. 19, 649-663.
- Cosentino, P., Ficara, V. and Luzio, D. 1977, Truncated exponential frequency-magnitude relationship in earthquake statistics, Bull. Seism. Soc. Am. 67, 1615-1623.
- Dewey, J.W. 1976, Seismicity of Northern Anatolia, Bull. Seism. Soc. Am. 66, 843-868.
- Ergin, K., Güdüklü, U. ve Uz, Z. 1967, Türkiye ve Çivaranın Kataloğu (M.S. 11 yıldan 1964 sonuna kadar), İ.T.Ü. Maden Fakültesi Arz Fiziği Enst. Yay. No. 24.
- Gan, Z.J. and Tung, C.C. 1983, Extreme value distribution of earthquake magnitude, Phys. Earth Planet. Interiors 32, 325-330.
- Nuttli, O.W. and Hermann, R.B. 1982, Earthquake magnitude scales, J. Geotech. Eng. Div. ASCE 108, 783-786.
- McKenzie, D.P. 1972, Active tectonics of the Mediterranean region, Geophys. J.R. Astr. Soc. 30, 109-185.
- Page, R. 1968, Aftershocks and microaftershocks of the Great Alaska earthquake of 1964, Bull. Seism. Soc. Am. 58, 1131-1168.
- Jackson, J. and McKenzie, D.P. 1984, Active tectonics of the Alpine-Himalayan Belt between western Turkey and Pakistan, Geophys. Jour. Roy. Astr. Soc. 77, 185-265.
- Jackson, J. 1992, Partitioning of strike-slip and convergent motion between Eurasia and Arabia in eastern Turkey and the Caucasus, J. Geophys. Res. 97, 12, 471-12, 479.
- Ketin, I. 1948, Über die tektonisch-mechanischen Folgerungen aus den grossen Anatolischen Erdbeben des letzten Desenniums, Geol. Rundsch. 36, 77-83.
- Ketin, I. 1969, Kuzey Anadolu Fayı hakkında, M.T.A. Enstitüsü Dergisi 72, 1-27.
- Öncel, A.O. 1992, Kuzey Anadolu Fay Zonu'nda Depremlerin İstatistiksel Analizi, Yük. Lis. Tezi, İstanbul Univ. Fen Bil. Enst., 93 Sayfa.
- Pamir, H.N., Ketin, I. 1941, Das Anatolische Erdbeben Ende 1939, Geol. Rundsch. 32, 279-287.
- Kijko, A. 1988, Maximum likelihood estimation of Gutenberg-Richter b parameter for uncertain magnitude values, Pageoph 127, 573-579.
- Kijko, A. and Sellevoll, M.A. 1989, Estimation of earthquake hazard parameters from incomplete data files, Part I. Utilization of extreme and complete catalogs with different threshold magnitudes, Bull. Seism. Soc. Am. 79, 645-654.
- Kijko, A. and Sellevoll, M.A. 1992, Estimation of earthquake hazard parameters from incomplete data files. Part II. Incorporation of magnitude heterogeneity, Bull. Seism. Soc. Am. 82, 120-134.
- Tinti, S. and Mularigia, F. 1985, Effects of magnitude uncertainties on estimating the parameters in the Gutenberg-Richter frequency-magnitude law, Bull. Seism. Soc. Am. 75, 1681-1697.

- Tinti, S., Rimondi, R. and Mulargia, F. 1987, On estimating frequency-magnitude relations from heterogenous catalogs, *Pageoph* 125, 1-18.
- Toksöz, M.N., Shakal, A.F. and Michael, S.J. 1979, Space-time migration of earthquakes along the North Anatolian fault zone and seismic gaps, *Pageoph* 117, 1258-1269.
- Soysal, H., Sipahioğlu, S., Kolçak, D. ve Altınok, Y. 1981, Türkiye ve Çevresinin Tarihsel Deprem Kataloğu, TÜBİTAK Proje No. TBAG 341.
- Şengör, A.M.C., Görür, N. and Saroğlu, F. 1985, Strike-slip faulting and related basin formation in zones of tectonic escape: Turkey as a case study, I: Biddke, K.T. and Christie-Blick, N. (eds). *Strike-Slip Faulting and Basin Formation*, Society of Economic Paleontologists and Mineralogists, Special Publ., 227-264.

13 MART 1992 ERZİNCAN DEPREMINİN ANA ŞOK VE ART SARSINTI ÖZELLİKLERİ ÜZERİNE BİR TARTIŞMA

A Discussion on the Mainshock and Aftershock Characteristics of the Erzincan Earthquake of March 13, 1992

Haluk EYİDOĞAN*

ÖZET

13 Mart 1992 Erzincan depremi ana şoku ($M_s=6.8$), geniş, karmaşık ve kahn tortul içeren bir açılma-genişleme havzası niteliğinde olan Erzincan havzasında ve Kuzey Anadolu Fayının Erzincan bölgesinde yer almıştır.

Bu çalışmada, Erzincan depreminin yeri ve faylanma özellikleri aydınlatılmaya çalışılmıştır. Ana şok kaydeden yakın deprem istasyonlarının P ve S dalgalarını varış zamanları kullanılarak yer bulma işlemi yapılmıştır. Ana şoktan sonra oluşan etkinliği incelemek amacıyla deprem sahasında taşınamaz 24 adet sayısal ve analog deprem istasyonu kurulmuş (Cisternas ve diğ. 1992) ve kaydedilen art sarsıntıların yerleri haritalanmıştır. Deprem kaynak parametrelerinin elde edilmesi için uzak istasyon kayıtlarından alınan P dalgaları taslaqlanmıştır.

Yer bulma işlemi sonucu elde edilen koordinatların standart hataları büyük olduğundan ana şokun yerini bu yaklaşımıla saptamak olanaksız görülmektedir. Art sarsıntıların bir bölümü havzanın kuzey sınırını oluşturan KAF'nın üzerinde olmakla birlikte, çoğunluğu havzanın güneydoğusunda yer alan ve havzanın dışına taşan 40 km uzunluğunda bir zon oluşturmuştur. Uzak alan uzun periyod (Telesismik) P dalgalarının kinematik deprem kaynak yaklaşımı izlenerek modellenmesi yoluyla elde edilen verilere göre depremin odak derinliği 10-12 km olup, depremin, doğrultusu 120° - 130° ve dalımı 75° - 85° GB olan bir doğrultu atımlı sağ yönlü faylanma ile oluştuğu ve ana şokun ard arda en az üç şok içeriği bulunmuştur. Toplam sismik moment ortalama 1.2×10^{26} dyne-cm dir. Sismik momenti 0.6×10^{26} dyne-cm olan ilk şok, her birinin sismik momenti 0.3×10^{26} dyne-cm olan iki şok tarafından izlenmiştir. İkinci şok, ilk şoktan ortalama 15 s sonra kuzeybatı, üçüncü şok ise ilk şoktan ortalama 28 s sonra güneydoğu olmuştur.

Art sarsıntı dağılımına ve ana şokun kinematik kaynak taslaqlanmasıyla elde edilen faylanma parametrelerine dayanarak, Erzincan depreminin havzanın güneydoğusunda oluşan karmaşık bir faylanma ile oluşturulduğu ve KAF'nın bölgelerdeki diğer bazı dallarının da etkinlik kazanlığı sonucuna varılmıştır.

ABSTRACT

The Erzincan earthquake of March 13, 1992 ($M_s=6.8$) is a major event occurred near the eastern end of the North Anatolian Fault (NAF). The epicentral region is characterized mainly by a wide and complex pull-apart basin which was developed due to shift of several branches of the NAF.

In this paper, we investigated the location and the mechanism of faulting of the Erzincan earthquake. The mainshock was relocated using the arrival times of P and S waves recorded at regional seismic stations. The aftershocks, which were recorded in the field using 24 portable digital and analog seismographs (Cisternas et. al. 1992), were located to study the activity after the mainshock. The long-period P and SH waveforms were modeled to obtain detailed fault parameters.

The standard error found for relocated hypocenter is beyond the limit of reliability to fix the location of the mainshock. Aftershock activity is clearly observed along the NAF on the northern border of the basin, but the most of it is situated to the SE of the basin, and out of the basin away from the NAF, for about a total length of 40 km. The modeling of the telesismic P waveforms of the mainshock showed that the mainshock nucleated at a depth of about 10-12 km and took place on a right-lateral strike-slip fault striking 120° - 130° SE and dipping 75° - 85° SW. The mainshock consisted of three shocks. The first one had a seismic moment of about 0.6×10^{26} dyne-cm and was followed by two smaller shocks, each having a seismic moment of about 0.3×10^{26} dyne-cm. The second shock occurred about 15 s after the first shock to the northwest while the third one occurred about 28 s after the first shock to the southeast, respectively.

Based on the distribution of the aftershocks and the forward modeling of the mainshock source, it was suggested that a complex faulting associated with Erzincan mainshock occurred east of the basin activating several other branches of the NAF.

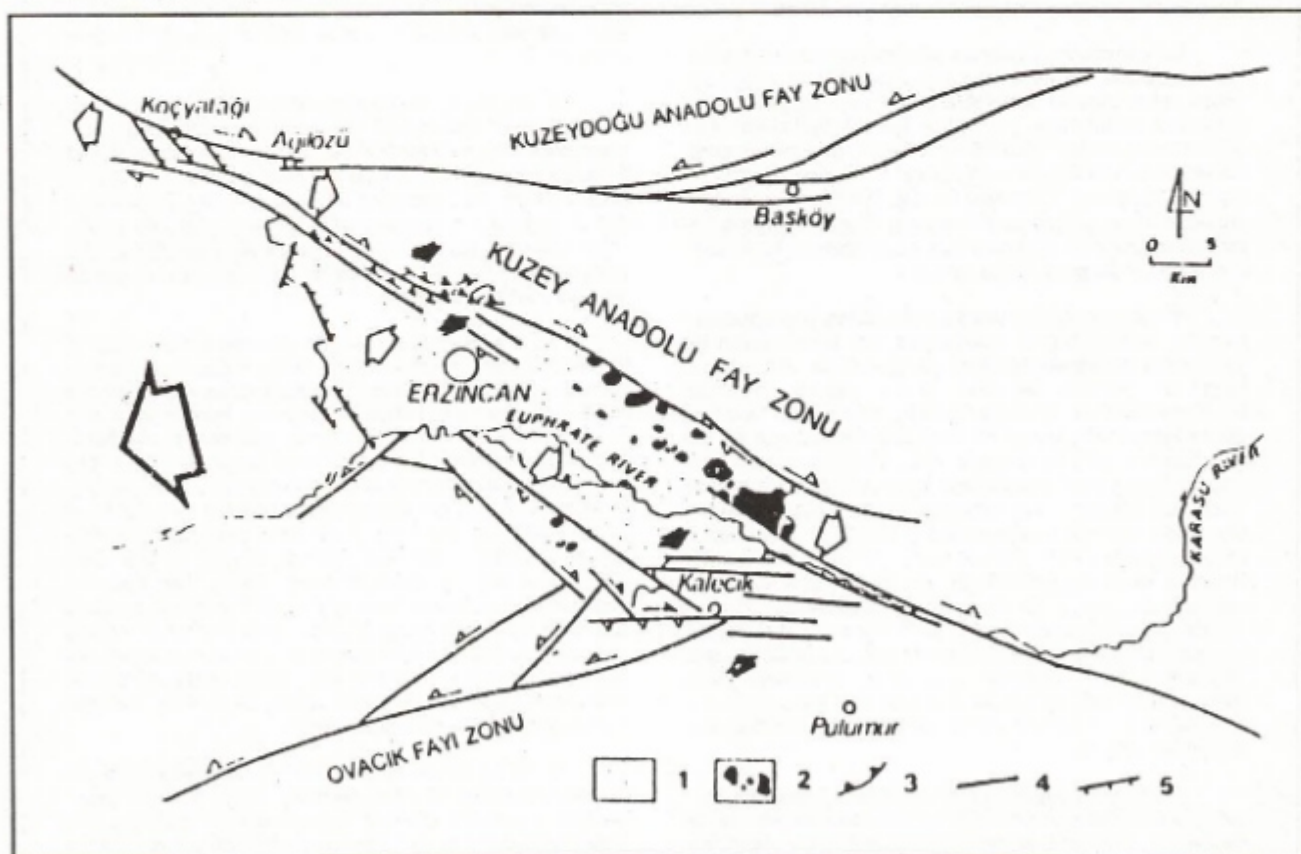
* ITÜ Maden Fakültesi Jeofizik Mühendisliği Bölümü, Maslak, İstanbul.

GİRİŞ

13 Mart 1992 Erzincan depremi ana sarsıntı ($M_s=6.8$), geniş karmaşık ve kalın tortul içeren bir açılma-genişleme (pull-apart) havzası niteliğinde olan Erzincan havzasında olmuştur. Havza, Kuzey Anadolu Fay Zonu (KAFZ), Kuzeydoğu Anadolu Fay Zonu (KDAFZ) ve Ovacık Fayı (OVF) arasında yer almaktadır (Şekil 1). Kuzeydeki KDAFZ, Karadeniz dağ sırasını güneyden sınırlayan sol yönlü doğrultu atımlı bir fay zonudur. Sağ yönlü doğrultu atımlı KAFZ'nun, Erzincan havzasının kuzey ve güneyinde, geniş bir zonda izleri görülmekte olup (Tüysüz 1992), fay bu bölgede bindirme bileşeni de içermektedir (Barka 1992). Bu faylar üzerinde elde edilen jeolojik kayma hızları, KAF için yaklaşık 1 cm/yıl, OVF ve KDAF için yaklaşık 0.15-0.2 cm/yıl olarak bulunmuştur (Barka ve Gülen 1989). KAF, Erzincan Ovasına ovanın güneydoğu köşesinden girer, ova içerisinde ve güneyinde sona erer. Fayın diğer bir kolu, bir fay zonu durumunda ovanın kuzey sınırında görülür. Ters atım bileşeni de içeren fayların egemen olduğu bu zon ise ovanın kuzeybatısında sona ermektedir. Bunun bittiği yerin hemen kuzeyinde başlayan yeni bir kol ise kuzeybatıda Reşadiye'ye doğru uzanır. Erzincan Ovasının güneyinde de yanal atımlı faylar gözlemlenmiştir. Ovanın güneyinde yer alan ve KAF'na açılı gelen Ovacık Fayı, Erzincan ovasından Ovacık ilçesine doğru kuzeydoğu-güneybatı yönünden uzanan sol yönlü doğrultu atımlı bir fay zonudur. Bu ana

fayların arasında daha ufak boyutlu ikincil faylar da bulunmaktadır. Erzincan Ovası bu fay zonlarının etkisi altında günümüzde gelişimini sürdürün bir açılma-genişleme havzasıdır. Sözünü ettigimiz bu fayların bir bölümü zaman zaman ötekilerine göre daha etkin duruma gelmekte ve yaşadığımız depremleri oluşturmaktadır. Erzincan ovası bugünkü yapısını bu fay zonlarının dinamizmi ile kazanmıştır. Havza kenarlarının faylarla yükseltilmesi, havzanın ise izafî olarak çökmesi sonucu çok geniş tortul yelpazeler gelişmiştir (Tüysüz 1992). Fayların oluşturduğu çatlaklara bağlı olarak havza sınırlarından çıkan genç volkanitler ova kenarlarında sivri tepecikler oluşturmaktadır. Bunun yanısıra dere ötelenmeleri, heyelانlar, mineralli su kaynakları gibi çok sayıda etkin faya bağlı unsurlar da ova içi ve çevresinde gözlemlenmektedir.

Jeolojik ve makroismik gözlem bilgilerine dayanılarak, 26 Aralık 1939 Erzincan depreminin ana sarsıntısının dış merkezinin havzanın kuzeyini sınırlayan KAF'nın Koçyatağı çevresindeki bölümünde olduğu belirtilmektedir (Koçyiğit ve Rojay 1992). 13 Mart 1992 Erzincan depreminin makroismik episantır bölgesinde (en fazla hasar olan yerde) geniş bir alana yayılmış olarak, türleri tartışmalı olan bir çok kırk ve çatlak gözlemlenmiştir (Barka ve Gülen 1989, Koçyiğit ve Rojay 1992, Barka ve Eyidoğan 1993). Çatlaklar, kum fışkırmaları, hasara uğrayan yol ve köprülerin KAF'nın batıda Davarlı'dan doğuda Tanyeri'ye kadar tetiklendiğini göstermektedir. Ancak 13 Mart



Şekil 1. Erzincan ve çevresinin jeolojik ve neotektonik özellikleri, 1. Pliyo-Kuvaterner yaşı havza dolgusu, 2. Pliyo-Kuvaterner volkanik kayaçlar, 3. Pliyo-Kuvaterner yaşı bindirme fayı, 4. Diğer faylar, 5. Normal faylar (Koçyiğit ve Rojay 1992).
 Fig. 1. Geologic and neotectonic characteristics of Erzincan and surroundings. 1. Plio-Quaternary Basin sediments, 2. Plio-Quaternary volcanic rocks, 3. Plio-Quaternary thrust zone, 4. Undefined faults, 5. Normal faults (Koçyiğit and Rojay 1992).

1992 ana sarsıntısının ilk olduğu yerin (iç merkez, hiposantr) tam olarak nerede olduğu konusunda birçok belirsizlikler vardır. 1939 depreminin dış merkez yeri deprem istasyonlarımızın olmaması nedeniyle duyarlı olarak verilememiştir. Ancak, 1993 yılına gelmesine rağmen Türkiye'de büyük bir depremin yerinin günümüzde bile 15-20 km lik hatalarla verilmesi en temel önemli sorunlarından birisi olarak öntümüze durmaktadır. Bu sorunun çözülmü, depremselliği yüksek ülkelerden biri olan Türkiye'de deprem sismolojisine gereken önemi vermek ve deprem istasyonlarının sayısını ve kalitesini artıracak yatırımları yapmakla olacaktır.

Bu çalışmada, 13 Mart 1992 Erzincan depremi ana sarsıntısının nerede ortaya çıktı ve depremin olurken kaynağında ne tür hareketlerin olduğu sorularına yanıt bulma çabalarımız anlatılmaya çalışılacaktır. Bu amaçla, deprem bölgesindeki yapılan art sarsıntı kayıt ve ön değerlendirme sonuçları ve ana sarsıntı sırasında deprem kaynağındaki kırılma zaman ve yer içindeki gelişimi tartışılacaktır.

P DALGALARININ VARIŞLARINA GÖRE ANA SARSINTININ YERİ

13 Mart 1992 ana sarsıntısının ve izleyen belli başlı art sarsıntıların yerleri ve diğer bazı deprem parametreleri, depremlerden kısa bir süre sonra bazı ulusal ve uluslararası sismoloji araştırma ve veri merkezleri tarafından yayımlanmıştır. Ci-

zelge 1'de bu depremler için ABD Ulusal Deprem Bilgi Merkezi (NEIS) tarafından yayınlanan deprem parametreleri verilmiştir. Bu çalışmada ITÜ, Boğaziçi Üniversitesi Kandilli Rasathanesi, Bayındırlık ve İskan Bakanlığı Deprem Araştırma Dairesi tarafından Türkiye'nin çeşitli yerlerinde çalıştırılan deprem istasyonlarının kaydettiği P ve S dalgalarının varış zamanları kullanılarak 13 Mart 1992 ana sarsıntısının 15 Mart 1992 büyük art sarsıntısının yerleri yeniden saptanmıştır. Bu iki deprem için NEIS'in verdiği ve bu çalışmada bulunan konumları Şekil 2'de gösterilmiştir. NEIS tarafından verilen konumlardaki hatalar enlem ve boylam için sırasıyla 4 ve 3 km dir. Türkiye'deki yakın istasyonları kullanarak saptadığımız konumlardaki hatalar ise enlem, boylam ve derinlik için sırasıyla 17, 8 ve 10 km dir. Bu sonuç, Türkiye'deki deprem istasyon dağılımı ve kayıt kalitesi ile ilgili sorunların boyutunu açıkça ortaya koymaktadır. NEIS'in verisine göre 13 Mart 1992 depremi, havzanın kuzey sınırlarındaki KAF segmenti (1939 depreminin kirdiği fay parçası) üzerinde olmamıştır. Bu çalışma sırasında bulunan konum ise ana sarsıntıının, havzanın kuzeyindeki KAF segmentine daha yakın bir yerde olduğunu göstermektedir.

ART SARSINTI DAĞILIMINA GÖRE ANA SARSINTININ YERİ

Bir büyük depremi izleyen ve aylarca sürebilen art sarsıntılar (artçı şoklar) depremi oluşturan kırılma zaman ve

Çizelge 1. 13 Mart 1992 Erzincan depremi ana sarsıntı ve izleyen art sarsıntılarının NEIS tarafından saptanan deprem parametreleri.

Table 1. Earthquake parameters of 13 March 1992 Erzincan earthquake and its aftershocks which are reported by NEIS.

Tarih G. A. Y.	Oluş. Z S. D. Sn.	Enlem K°	Boylam D°	H km	Mb	Ms	M	Mo dyne.cm
13 03 1992	17 18 39.9	39.710	39.605	27	6.2	6.8	6.9	1.3 10 ²⁶
13 03 1992	18 37 53.8	39.843	39.520	10	4.7		(BRK)	
13 03 1992	20 15 18.1	39.433	39.914	10	4.5			
13 03 1992	22 47 2.8	40.021	39.744	28	4.7			
14 03 1992	01 24 33.7	39.527	39.701	22	4.7	4.3		
15 03 1992	16 16 24.2	39.532	39.929	21	5.5	5.8	6.0	4.0 10 ²⁵
21 03 1992	23 15 50.2	39.602	39.870	15	4.7	3.8		
22 03 1992	21 52 57.8	38.068	37.851	10	3.6			
25 03 1992	03 58 26.2	39.749	39.622	10	3.5			
29 03 1992	09 26 20.1	39.433	39.647	10	4.2			
19 04 1992	10 14 35.8	39.510	39.633	10	4.4			
20 04 1992	18 04 59.0	39.537	39.859	14	4.6	4.2		
22 04 1992	03 03 52.0	39.532	39.718	29	4.5	3.5		
28 04 1992	07 16 27.7	39.606	39.915	10	4.2			
07 05 1992	19 15 02.3	38.677	40.130	10	5.0	4.4		
14 07 1992	04 26 24.5	39.116	41.756	10	4.6			

ortam boyutunda nasıl geliştiği ve kırılmanın özellikleri ile değerli bilgiler verir. Bu nedenle sismologlar büyük depremlerden hemen sonra deprem bölgesine giderek çeşitli türde deprem kayıtlarını yerleştirir ve haftalarca kayıt alırlar. Kayıt alma işlemleri ne kadar önce başlarsa o kadar değerli bilgiler elde edilir.

13 Mart depreminden 48 saat sonra İTÜ olarak deprem bölgesine erişmiş olmakla birlikte, saha tipi portatif deprem kayıtlarımızın olmaması, önceleri birlikte çalışmak arzusunda olup, daha sonra deprem bölgesindeki koşullar nedeniyle araştırma yapmaktan vazgeçen İngiliz bilim adamlarının neden olduğu saha programı aksamasından ve birlikte çalışmaya karar verdigimiz Fransa, Strasbourg Yer Fiziği Enstitüsü (IPG) eleman ve aletlerinin ancak 10 günlük bir gecikmeyle deprem bölgesine gelebilmeleri nedeniyle 13 gün sonra bölgeye art sarsıntı kaydı başlatılmıştır. Bölgede yerleştirilen 9 adet telsiz bağlantılı (telemeter) kayıtçı, 8 adet GEOSTRAS modeli analog teyp kayıtçı ve 8 MEQ-800 modeli ıslı kayıtçı kullanılarak 24 deprem istasyonu kurulmuştur (Şekil 3). 26 Mart 1992 tarihinden başlayarak önce Erzincan havzası sınırlarında 9 adet telsiz bağlantılı deprem istasyonu kurulmuş ve bu istasyonlardan ilk elde edilen art sarsıntı dağılımı geometrisine ve zor arazi koşullarına bağlı olarak daha sonra diğer tür deprem kayıtları arazide yerleştirilmişlerdir. Bu deprem kayıtları ile 26 Mart 1992 - 4 Mayıs 1992 tarihleri arasında 2000'e yakın art sarsıntı kaydı yapılmıştır (Eyidoğan ve Cisternas 1992, Cisternas ve dig. 1992). Şekil 4 de 3 Nisan - 10 Nisan 1992 tarihleri arasında kaydedilen ve yerleri (enlem, boylam ve derinlik) ± 1000 m'den daha az hata ile bulunan art sarsıntıların episantır dağılımı gösterilmiştir. Art sarsıntıların yerlerinin saptanması için HYPOINVERSE programı kullanılmış ve hız modeli olarak $d_1=4$ km, $\alpha_1=5.3$ km/s; $d_2=35$ km, $\alpha_2=6.0$ km/s; $d_3=\infty$, $\alpha_3=8.0$ km/s alınmıştır. 10 Nisan 1992 sonrası art sarsıntı kayıtlarının değerlendirilmesi sürmekte olup daha ayrıntılı episantır haritaları izleyen makalelerde yayınlanacaktır. Art sarsıntıların bir bölümü havzanın kuzey sınırını oluşturan KAFZ'nun bir kırığı üzerinde olmakla birlikte, çoğunluğu havzanın güneydoğusunda yeralan ve havzanın dışına taşan 40 km uzunlığında bir alan oluşturmuştur. 13 Mart 1992 ana sarsıntılarından sonra ilk 15 günlük art sarsıntı dağılıminin karakteri konusunda duyarlı verilerimiz yoktur. Deprem bölgesinde art sarsıntı kayıt çalışmaları yapan TUBİTAK, Marmara Araştırma Merkezi ve Boğaziçi Üniversitesi Kandilli Rasathanesi'nden diğer iki ekibin elde ettiği art sarsıntı dağılımı da Şekil 4'de görülen dağılımla aynı niteliktir (Ergintav ve dig. 1992, Barka 1992). Şekil 4'de görülen art sarsıntı dağılımına dayanarak iki yorum yapmak olanaklıdır. Buna göre; (1) deprem istasyonlarının kurulmadığı ilk 15 gün art sarsıntı etkinliği havzanın kuzey batısında yoğunlaşmış ve daha sonra güneydoğuya kaymıştır ya da (2) art sarsıntılar başlangıçtan beri güneydoğuda olmuştur. Bu iki yorumu göre ana sarsıntıının konumu değişimdir. Birinci yorumun geçerliliğinde ana sarsıntıının Erzincan iline daha yakın, ikinci yorumu göre ise Erzincan'ın güneydoğusunda olduğu önermeleri yapılabilir. 15 Mart 1992 tarihinde olan ve özellikle Pülümür çevresinde harar yapan depremin ana sarsıntıya göre konumu birinci yorumu güçlendirmektedir. Ancak, KAF'nın havzanın kuzeyindeki ana kolu üzerinde çok az sayıda art sarsıntı olması, ana sarsıntıyi oluşturan kırılmanın burada olmadığı şeklinde bir yorumu yol açmaktadır.

Şekil 5a ve Şekil 5b'de, Şekil 4'de görülen art sarsıntılarının iç merkezlerinin enlem ve boylam değişimine göre odak derinlik kesitleri verilmiştir. Kesitlerden görüleceği gibi art sarsıntılar 15 km den daha sağda oluşmaktadır. Odak derinliklerinde hata değerleri 1 km ya da daha azdır. Ana şokun oluşu derinlikte art sarsıntıların yoğun olarak oluşacağı görüşü işığında, ana sarsıntıının derinliğinin 15 km den daha derin olamayacağı tezi güç kazanmaktadır.

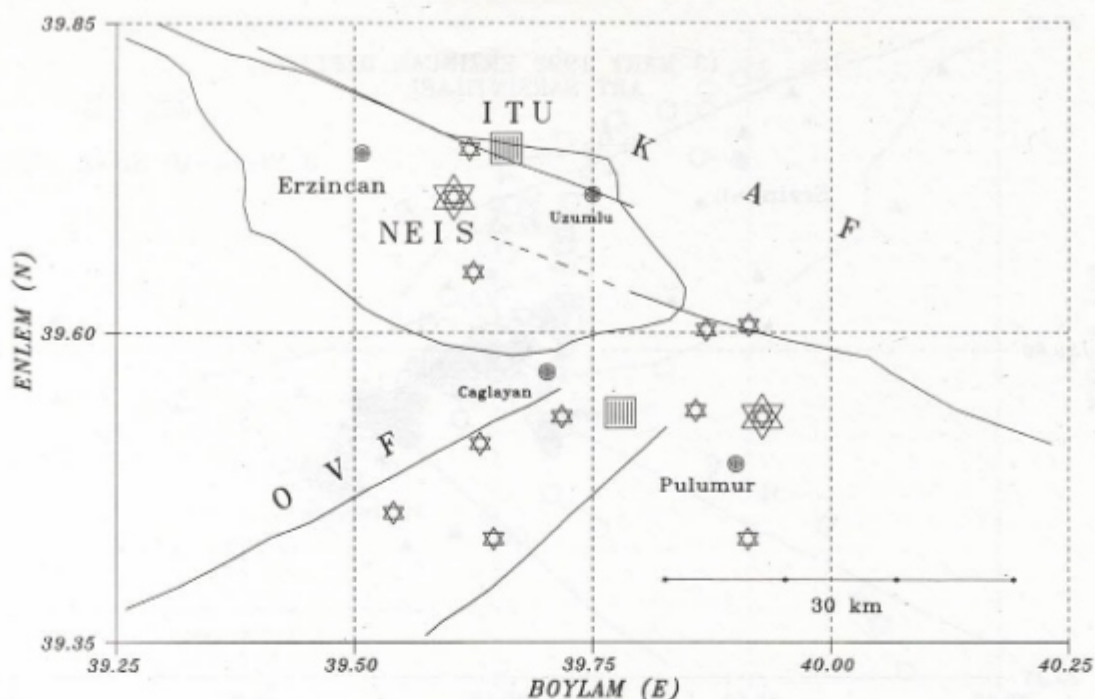
Bütün bu veriler gözönüne alındığında 13 Mart 1992 ana sarsıntı odağının, Erzincan ilinin doğusuna doğru tortul havzanın altında yer alan ve KAF zonunun parçaları olan faylarla ilgili olduğunu ve odak derinliğinin de kabuğu üst bölgelerinde (<15 km) yer aldığı önerilebilir. Deprem sırasında Erzincan ilinin güneydoğusunda KB-GD doğrultulu bir fayın harekete geçtiği, ayrıca güneydeki KD-GB doğrultulu sol yönlü Ovacık Fayının kollarının da etkinleştiği ve KAF ile girişimi sonucu karmaşık bir art sarsıntı dağılımının oluştuğu söylenebilir. Art sarsıntıların yerleri ve fay mekanizması çözümleri ile ilgili çalışmalarımız sürdürmekle birlikte ilk elde ettiğimiz bazı sonuçlara göre havzanın doğusunda çek-ayır (pull-apart) mekanizması tetiklenmiştir. Bu konu ile ilgili çalışmalarımız sürdürmekte olup daha sonraki yıllarda ele alınacaktır.

DEPREM SIRASINDA KIRILMA NASIL OLUŞTU?

Telesismik (uzak alan) uzun peryodlu P ve SH dalgalarının dalga biçimleri modellenerek bir depremin kaynağındaki olayların zaman ve tektonik ortam içindeki gelişmesi ve mekanizma özellikleri aydınlatılabilir (Eyidoğan ve Jackson 1985). Bu çalışmada 13 Mart 1992 Erzincan depreminin WWSSN istasyonlarının 30° - 90° uzaklıkta bulunan bazlarından sağlanan P dalgaları dalga biçimleri zaman ortamında modellenerek deprem sırasında faylanmanın zaman ve yer içinde nasıl geliştiği incelenmiştir. Düz çözüm modelleme tekniği kullanılarak yapay P-dalgaları oluşturulmuş ve gözleme kayıtları karşılaştırılmıştır. Gözleme ve yapay uyumunun en iyi olduğu kaynak modeli için (Şekil 6a ve Şekil 6b) ana sarsıntıının kaynak mekanizması, odak derinliği, kaynak-zaman fonksiyonu elde edilmiştir. Buna göre depremde oluşan faylanma KAFZ'nun doğrultusuna ve karakterine uygundur, ancak sağ yönlü fay atımına ek olarak bir miktar da normal faylanma bileşeni vardır (Şekil 7). Deprem derinliği sıç olup 10-12 km'den daha derin değildir. Deprem basit bir faylanma (kipürme) mekanizması içermediği; ana sarsıntıının ikincisi ve üçüncü ortalaması 15 ve 28 saniye sonra oluşan en az üç kaynaklı bir faylanma oluşumu biçiminde geliştiği anlaşılmaktadır (Şekil 8). Ana sarsıntı için toplam sismik moment ortalaması $1.2 \cdot 10^{26}$ dyne-cm olarak elde edilmiştir.

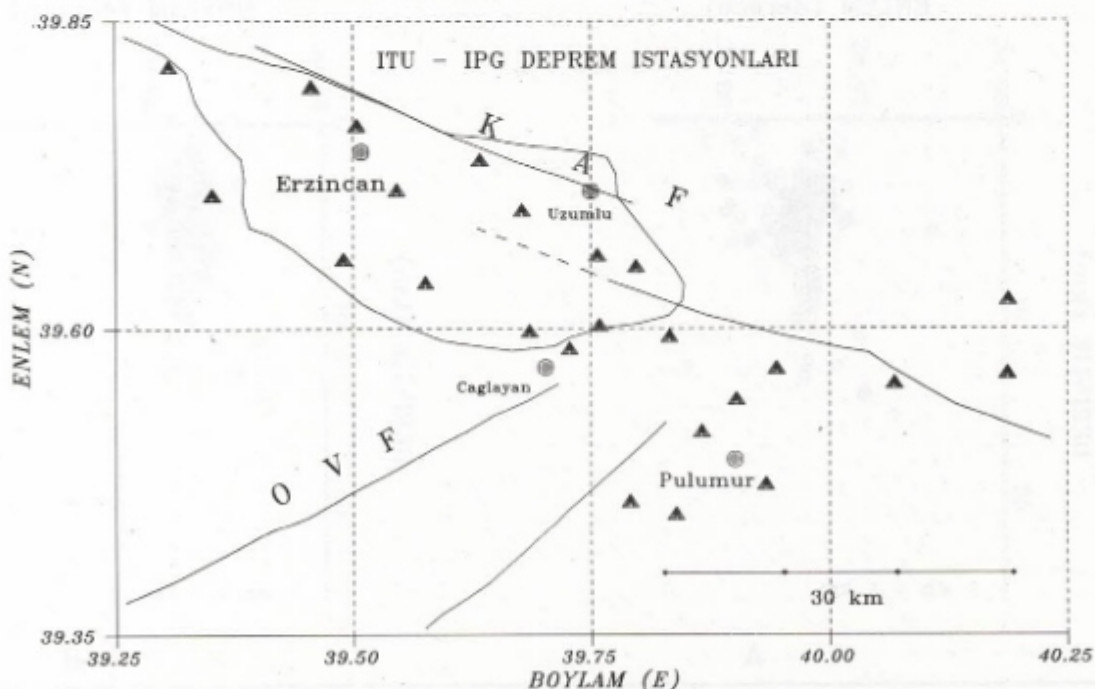
SONUÇ

13 Mart 1992 depremi sonrası deprem bölgesi çevresinde kurulan portatif deprem istasyonları ile 3 Nisan - 10 Nisan 1992 tarihleri arasında kaydedilen ve ilk aşamada yerleri bulunan art sarsıntı dağılımına göre etkinliğin ana şok sonrası havzanın güneydoğusunda yoğunlaşığı bulunmuştur. Ana şokun kesin yeri belirsiz olmasına birlikte, bu dağılıma bakarak ana sarsıntıının Erzincan ilinin doğusunda ya da güneydoğusunda olduğu söylenebilir. 13 Mart 1992 depreminin oluşumundan



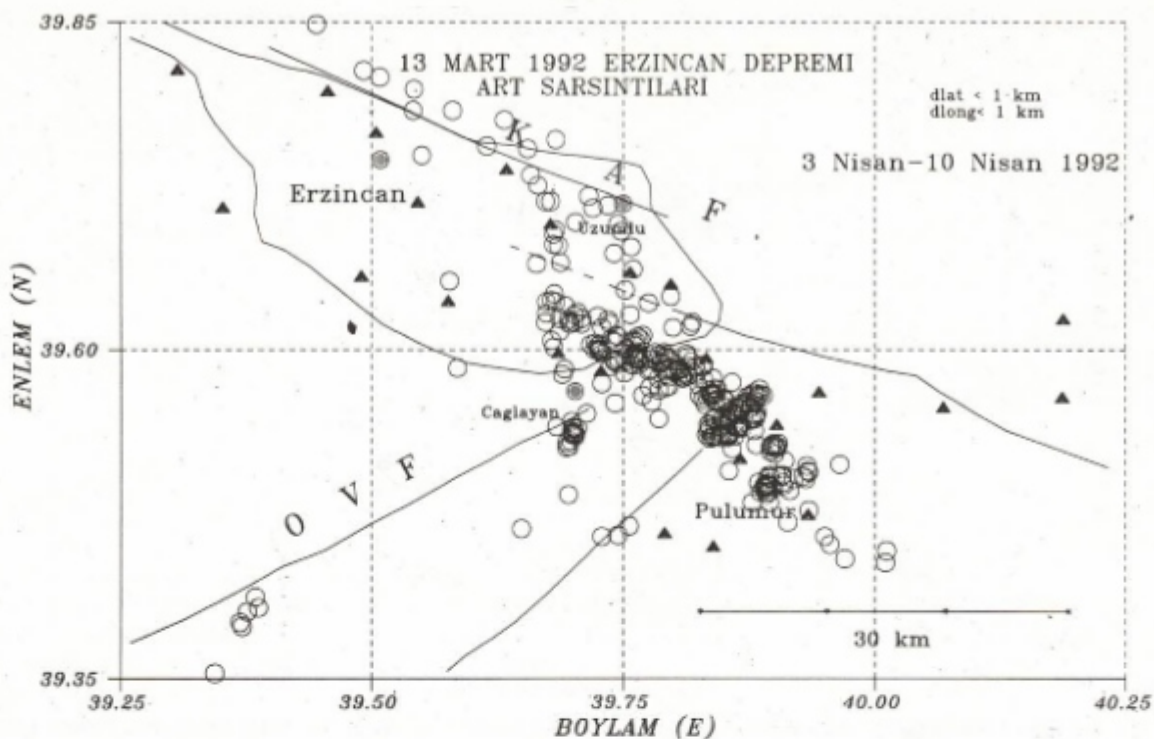
Şekil 2. 13 Mart 1992 Erzincan ana sarsıntı ve 15 Mart 1992 art sarsıntı için NEIS'in verdiği episantırlar (büyük yıldız) ile bu çalışmada bulunan episantırların (büyük kare) karşılaştırılması, KAF, Kuzey Anadolu Fayı; KDAF, Kuzeydoğu Anadolu Fayı; OVF, Ovacık Fayı. Ufak yıldızlar Çizelge 1'de verilen art sarsıntıların dış merkez konumlarını göstermektedir.

Fig. 2. Comparison of locations of the mainshock and major aftershock of 15 March 1992, which are located by NEIS (asterisk) and ITU (square). KAF, North Anatolian Fault; KDAF, Northeast Anatolian Fault; OVF, Ovacık Fault. The small asterisks are the aftershock epicenters reported by NEIS.



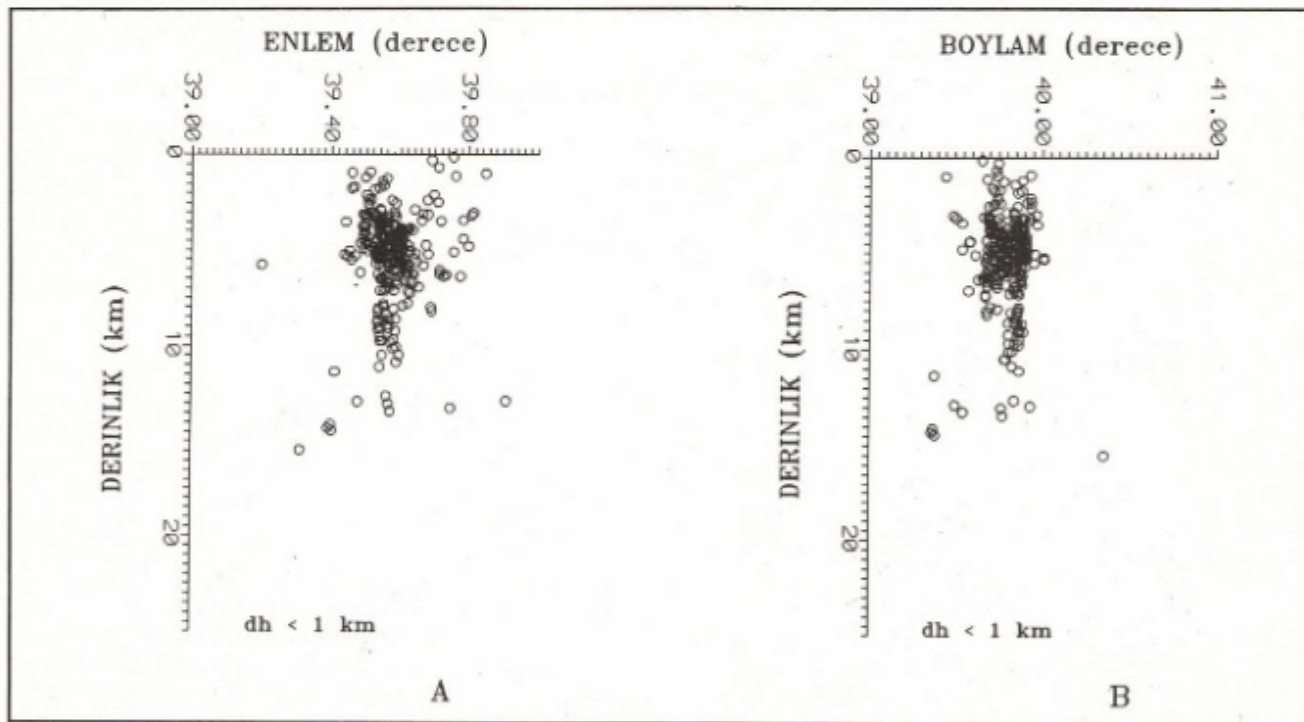
Şekil 3. 26 Mart 1992 tarihinden başlayarak Erzincan ve çevresinde kurulan deprem istasyonlarının konumları.

Fig. 3. The location of the ITU-IPG portable seismic stations around Erzincan Basin. The recording operation started as of March 26, 1992.



Şekil 4. 3 Nisan - 10 Nisan 1992 tarihleri arasında olmuş ve yerleri saptanmış art sarsıntıların dış merkez dağılımları. Enlem ve boylam saptamalarında standart hata 1 km yada daha azdır.

Fig. 4. Locations of the aftershocks occurred between 4 April 1992 and 10 April 1992. The standart error of the locations is equal or less than 1 km.

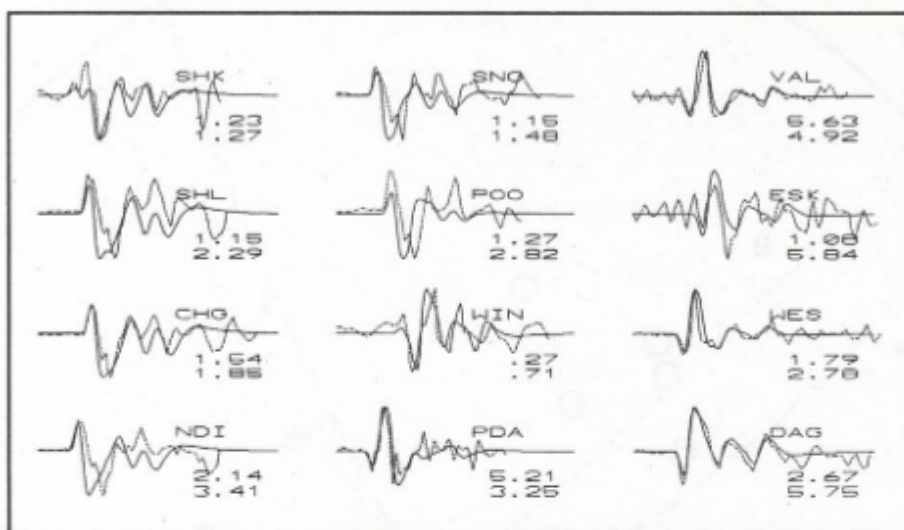


Şekil 5. Şekil 4'de verilen art sarsıntı dağılımı için iç merkezlerin (hiposantır) (A) enlem-derinlik, (B) boylam-derinlik kesitlerindeki görünümü. Derinliklerdeki standart hata 1 km ya da daha azdır.

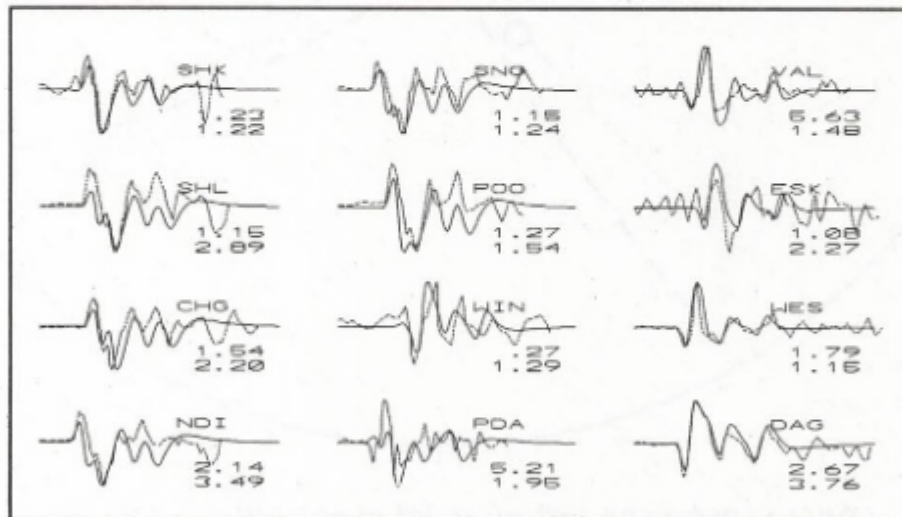
Fig. 5. Cross sections of aftershock focal depth distribution given in Figure 4. (a) Projection along the profile parallel to latitude and (b) parallel to longitude, respectively. The standart error of the focal depths is equal or less than 1 km.

13 MART 1992 ERZİNCAN DEPREMİ
WWSSN P-DALGASI
Delta > 30°

Çözüm A: $\phi=122^{\circ}$ GD, $\delta=75^{\circ}$ GB, $l=188^{\circ}$, $M_o=1.16 \cdot 10^{26}$ dyne.cm

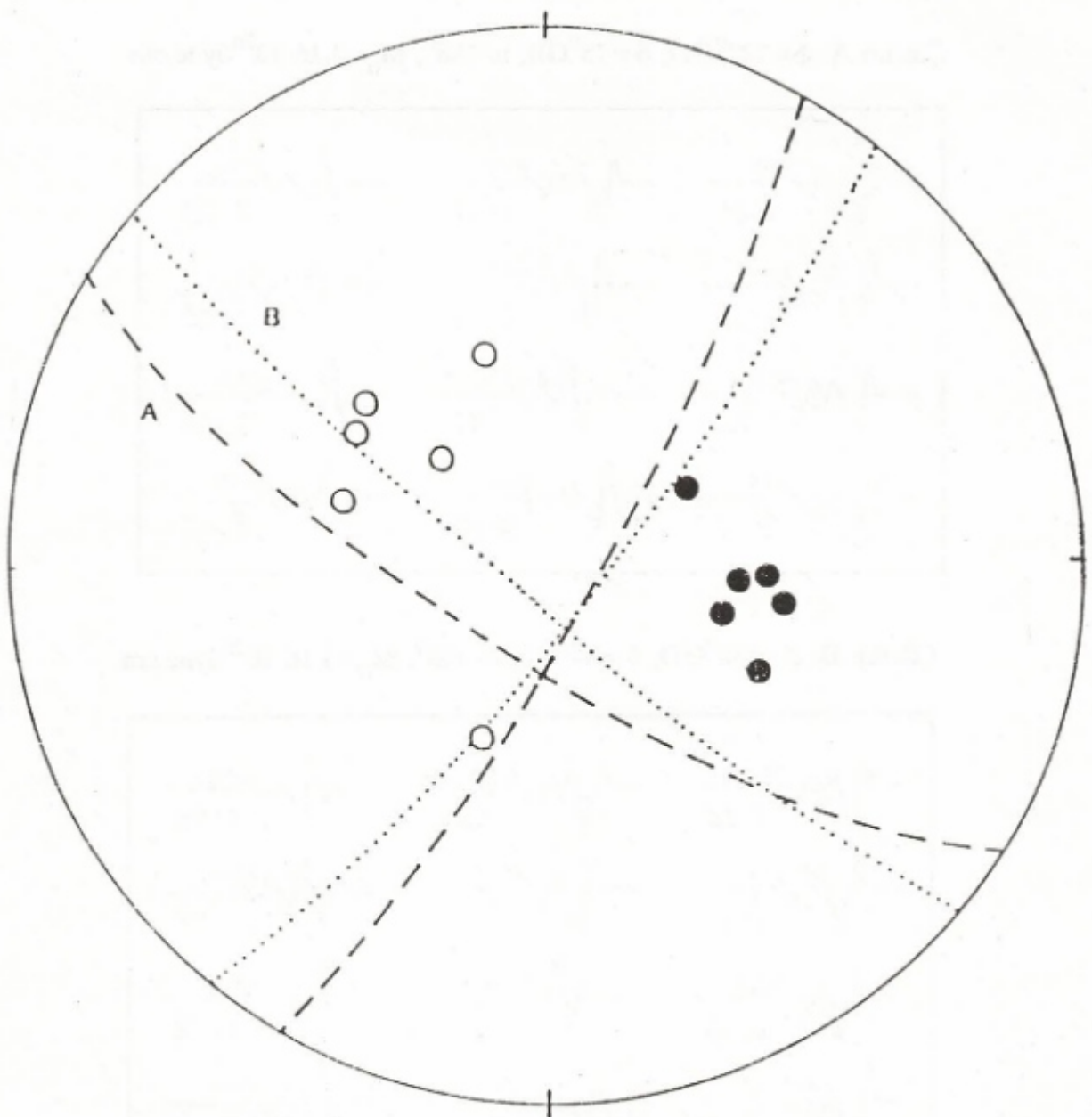


Çözüm B: $\phi=130^{\circ}$ GD, $\delta=84^{\circ}$ GB, $l=188^{\circ}$, $M_o=1.16 \cdot 10^{26}$ dyne.cm



- Şekil 6. Bu çalışmada elde edilmiş yapay (noktalı çizgi) uzun periyodlu düşey P dalgalarının, gözlemlisel (düz çizgi) WWSSN deprem kayıtları ile karşılaştırılması. İki farklı olası odak mekanizması çözümü için elde edilen dalga şekilleri Çözüm A ve Çözüm B başlıklar altında verilmiştir. ϕ , δ , l ve M_o sırasıyla fay düzleminin azimutu, dalımı, kayma açısı ve sisimik momentidir.
- Fig. 6. The best-matching synthetic (dashed lines) and the observed (solid lines) P wave seismograms for the 1992 Erzincan event. The theoretical seismograms are for the two probable source mechanisms (solution A and B) given at the top of the waveforms. The parameters f , d , l and M_o are the strike, dip, rake and seismic moment of the fault, respectively.

13 MART 1992 ERZİNCAN DEPREMİ
ODAK MEKANİZMASI ÇÖZÜMÜ
WWSSN LPZ

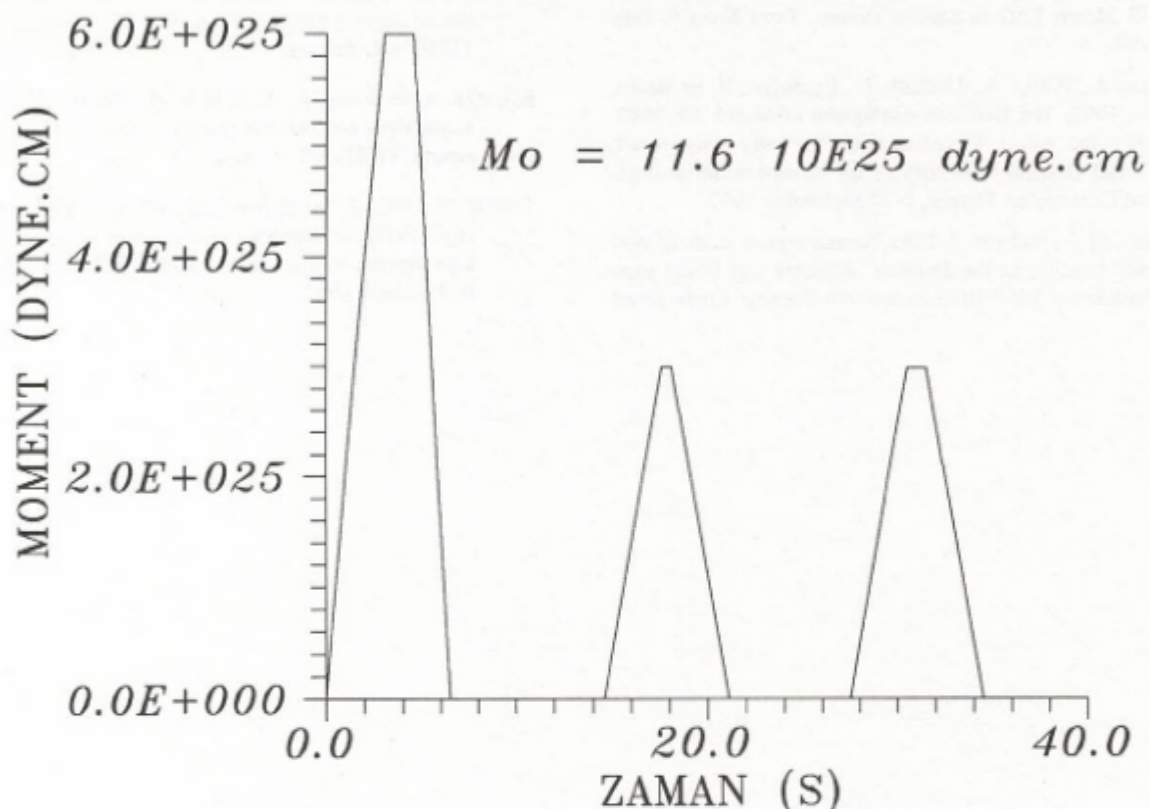


ÇÖZÜM A : DOĞRULTU = 122° , DALIM = 75° , KAYMA = 188° , $M_0 = 1.16 \cdot 10^{26}$ dyne cm
 ÇÖZÜM B : DOĞRULTU = 130° , DALIM = 84° , KAYMA = 188° , $M_0 = 1.16 \cdot 10^{26}$ dyne.cm

Şekil 7. Şekil 6 da gösterilen P dalgası modellemesi için elde edilen odak mekanizması (fay düzlemi) çözümleri. İçi dolu daireler uzun periyod düşey P dalgalarının yukarı ilk hareket yönlerini, içi boş daireler ise aşağı ilk hareket yönlerini gösterirler. Çözüm, Schmidt alt yarımküre izdüşümüne göre yapılmıştır.

Fig. 7. The earthquake mechanism solutions obtained by P wave modeling shown in Figure 6. The mechanisms are shown in lower hemisphere equal area projections. Filled circles are compressional first motions, open are dilatational.

13 MART ERZİNCAN DEPREMİ KAYNAK-ZAMAN FONKSİYONU



Şekil 8. 13 Mart 1992 depremi P dalgalarının modellenmesi ile bulunan kaynak-zaman fonksiyonu. Kaynak fonksiyonu modellenirken üç parametrelî (dt_1 , dt_2 ve dt_3) yamuk türû kaynak fonksiyonu kullanılmıştır.

Fig. 8. The point source-time function of the 1992 Erzincan earthquake obtained by the P wave modeling. A trepezoid with the parameters dt_1 , dt_2 , dt_3 was used to construct the source-time function.

sonra havzanın çeşitli yerlerinde bulunan, bir bölümü KAF depreminin oluşumundan sonra havzanın çeşitli yerlerinde bulunan, bir bölümü KAF zonunun parçalarını oluşturan ve olasılıkla havzanın kalın tortul kütelerinin altında da bulunan fayların birbirlerini etkileyerek hareket ettikleri ve art sarsıntı etkinliğinin havzanın güneydoğusuna doğru göç ettiği anlaşılmaktadır.

Uzak-alan P dalgalarının modellenmesinden elde edilen sonuca göre deprem KB-GD doğrultulu, sağ yönlü doğrultu ataklı bir faylanma ile oluşmuştur. Ana şok ile ilişkili faylanma 10-12 km derinlikte başlamış, ana sarsıntıdan sonra ana sarsıntıya göre biraz daha ufak iki faylanma ile deprem sürmüştür. İkinci ve daha ufak faylanma ortalama 15 saniye sonra oluşmuştur. Üçüncü faylanma ise ana şoktan ortalama 28 saniye sonra ilk faylanmanın güneydoğusunda yer almıştır. Her üç şok için toplam sismik moment ortalama $1.2 \cdot 10^{26}$ dyn.cm dir. Faylanma sırasında oluşan bu ardışık faylanma olaylarının yapısal hasarı artırcı etkisi olduğu sanılmaktadır.

KATKI BELİRTME

Deprem bölgesinde art sarsıntı kaydı çalışmaları sırasında maddi ve manevi desteklerini esirgemeyen İTÜ Rektörlüğünne, TÜBİTAK Başkanlığı ve mensublarına, Erzincan Valiliğine, İTÜ Maden Fakültesi Dekanlığına, mensubu olduğum Jeofizik Mühendisliği Bölümü öğretim üyesi ve yardımcılarına, A.M.C. Şengör ve ailesine, Frako-Tamek A.Ş. mensublarına ve Erzincan Kredi ve Yurtlar Kurumu Öğrenci Yurdu Müdürlüğüne teşekkürlerimi sunarım.

KAYNAKLAR

Barka, A. 1992, Kuzey Anadolu Fayı'nın Erzincan çevresindeki davranışları ve 13 Mart 1992 depremi, Yerbilimci gözyle Erzincan depremi dünü, bugünü ve yarını ve Türkiye deprem sorunu sempozyumu, İTÜ Maden Fakültesi, 15 Aralık 1992.

- Barka, A. ve Gülen, L. 1989, Complex evolution of the Erzincan basin (eastern Turkey), *J. Struc. Geology* 11, 275-283.
- Barka, A. ve Eyidoğan, H. 1993, The Erzincan earthquake of 13 March 1992 in eastern Turkey, *Terra Nova* 5, 190-194.
- Cisternas, A., Philip, A., Dorbath, L., Eyidoğan, H. ve Barka, A. 1992, The Erzincan earthquake of March 19, 1992, Was the North Anatolian Fault the only active one?, XXIII General Assembly of the European Seismological Commission, Prague, 7-12 September 1992.
- Eyidoğan, H. ve Jackson, J. 1985, Seismological study of normal faulting in the Demirci, Alaşehir and Gediz earthquake of 1969-1970 in western Turkey: Implications for the nature and geometry of deformation in the continental crust, *Geophys. J. Roy. Astr. Soc.* 81, 569-607.
- Eyidoğan, H. ve Cisternas, A. 1992, 13 Mart 1992 Erzincan depremi sismoloji çalışmaları, Tübitak ekiplerinin Erzincan deprem bölgesi çalışmaları, Ön inceleme raporu, TÜBİTAK, Ankara.
- Koçyiğit, A. ve Rojay, B. 1992, 13 Mart 1992 Erzincan depremiyle ilgili neotektonik inceleme raporu, Ön inceleme raporu, TÜBİTAK, Ankara.
- Tüysüz, O. 1992, Erzincan çevresinin jeolojisi, Yerbilimci gözüyle Erzincan depremi dünü, bugün ve yarını ve Türkiye deprem sorunu sempozyumu, İTÜ Maden Fakültesi, 15 Aralık 1992.

DÖNÜŞMÜŞ FAZLARLA İSTANBUL CİVARINDA YERKABUGU YAPISININ MODELLENMESİ

Crustal Structure Modeling Through the Use of Body Wave Conversions Beneath İstanbul

Mithat Fırat ÖZER* ve Özer KENAR*

ÖZET

Elastik cisim dalgalarının yerkabuğu tabanında meydana gelen, P'den S'ye ve S'den P'ye faz dönüşümleri yerkabuğu yapısı modelleme çalışmalarında önemli bilgiler oluştururlar. Bu çalışmada İstanbul ve civarında yerkabuğu yapısı dönüştürülmüş ve diğer kabuksal fazlar incelenerek modellenmiştir. Bu amaçla Uluslararası Standard Sismograf Ağına (WWSSN) dahil İstanbul (IST) istasyonunda kaydedilen uzak - alan derin depremlerin P ve S dalgası verileri kullanılmıştır. Veriler, hesaplanan yapay sismogramlarla karşılaştırılarak incelenmiştir. Tegetsel P-dalga şekillerinde gözlemlenen bozulma daha çok eğimli yapıdan ileri gelmektedir. Verilerimizin azimutal dağılımı yapının eğimi hakkında ayrıntılı bilgi edinebilmek için yeterli değildir. Üç tabakalı olarak modellenen yerkabığının toplam kalınlığı 30 km olarak elde edilmiştir.

ABSTRACT

The occurrence of S to P and P to S conversions at the base of the crust provides significant information in crustal model studies. In this study, the crustal structure beneath İstanbul have been modeled by using the converted and other body wave phases. For this purpose, the long period teleseismic body waves of the deep focus earthquakes recorded at the WWSSN station IST (İstanbul, Turkey) have been used. The data have been compared with synthetic seismograms. The complications on tangential P wave forms could be attributed to the dipping Moho discontinuity. Unfortunately, azimuthal range of our data is not sufficient to obtain a detailed knowledge about the dipping structure. The model obtained consists of three horizontal layers and the total thickness of crust is approximately 30 km.

GİRİŞ

Yerkabuğu ve üst mantonun özelliklerinin belirlenmesinde deprem verilerinin kullanıldığı yöntemler cisim dalgalarının yayılma zamanları, yüzey dalgalarının dispersiyonu, faz ve grup hızları, soğurulma ve girişim olayı, depremlerin derinlik dağılımları, uzun peryodlu P dalgalarının genlik spektrumları ve dalga şekli ters çözümlemesidir.

Pn ve Sn dalgaları Moho süreksizliğinin altında üst mantodan geçerek gelen baş dalgalarıdır. Bu nedenle bu dalgalar genel olarak üst manto hızlarıyla yayılırlar. Dolayısıyla bu dalgaların yayılma zamanı eğrileri ve rezidüellerinden, üst manto hakkında önemli bilgiler elde edilir.

Farklı dalga boylu yüzey dalgaları farklı hızlarda yayıldıklarından dispersiyon gösterirler. Yüzey dalgalarının dispersiyon özellikleri, oluşturukları ortamın geometrisine ve elastik parametrelerini bağlıdır. Bu nedenle, çeşitli yapı modelleri için hesaplanan kuramsal dispersiyon eğrileri ile göz-

lemsel dispersiyon eğrileri karşılaştırılarak uygun yerkabuğu modelleri elde edilebilir.

Yer kabuğunun incelenmesinde kullanılan bir başka yöntem de uzun peryod P - dalgalarının düşey ve yatay bileşenlerinin spektrumlarının oranlanmasıdır. Bu yöntem Thomson Haskell matrisi olarak bilinen, yarı - sonsuz ortam üzerindeki yatay tabakalı bir ortamda elastik dalga denklemlerinin sınır koşulları altında çözümüne dayanır. Yer hareketinin düşey ve radyal bileşenlerinin frekans ortamında birbirine oranı transfer fonksiyonu olarak tanımlanır. Çeşitli yerkabuğu modelleri için hesaplanan teorik transfer fonksiyonları gözlemlisel transfer fonksiyonlarıyla karşılaştırılır. En iyi uyumun elde edildiği model yerkabuğu modeli olarak alınır (Hannon 1964, Phinney 1964, Fernandez 1967, Leong 1975, Kenar 1978).

* KTÜ Müh. - Mim. Fak. Jeofizik Mühendisliği Bölümü, Trabzon.

Son yıllarda yaygın olarak kullanılan bir başka yöntem de yapay sismogramların hesaplanmasıdır. Yerkabuğu yapısının belirlenmesinde hesaplanan yapay sismogramlar, gözlemlenmiş sismogramlarla karşılaştırılarak en iyi benzeşimi veren model yerkabuğu modeli olarak belirlenir. Yapay sismogramlar genel olarak yer tepkisi, kaynak fonksiyonu ve alet tepkisinin konvolüsyonundan elde edilirler. Bu nedenle yapay sismogramlar hem yer yapısının, hem de kaynağın incelenmesinde kullanılabilir (Langston 1976a, Alptekin ve dig. 1984, Treho ve dig. 1981, Nabelek 1984).

Sp fazları yapay sismogramlarla ilk kez Kanasevich ve dig. (1973) tarafından incelenmiştir. Sp yapay dalga şekillerini kullanarak yerkabığının incelenmesi ilk kez Jordan ve Frazer (1975) tarafından yapılmıştır. Jordan ve Frazer (1975) S dalga şekli ve S - Sp zaman farkını birlikte kullanmışlardır.

Moho süreksizliğinden P → S dönüşümleri de S → P dönüşümleri gibi başarılı bir şekilde kullanılır. Langston (1977) kabuk ve üst manto yapısının belirlenmesinde düşey ve radyal P dalga şekli modellemesini kullanmıştır. Langston bu çalışmasında kabuksal tekrarlılar ve P → S dönüşümlerinin de iyi bir şekilde kullanılabileceğini göstermiştir. Langston (1979) ve Hebert ve Langston (1985) kabuk yapısının belirlenmesinde Ps fazını kullanmışlardır.

Yapay sismogram hesaplamaları gerek kabuk yapısının, gerekse üst ve alt manto yapısının incelenmesinde gelişerek kullanılmaktadır. Snock ve dig. (1977) çekirdek sınırlarındaki S → P dönüşümü (ScSp) fazlarını, dalan litosfer sınırının belirlenmesinde kullanmışlardır. Faber ve Müller (1980) Sp fazlarından yararlanarak üst ve alt manto arasındaki geçiş zonunu incelimişlerdir. Bock ve Ha (1984) yaklaşık 700 km derinlikte oluşan kısa - peryod S → P dönüşümlerini incelimişlerdir. Yine Baumgardt ve Alexander (1984) dönüşüm fazları kullanarak, LASA (Montana, ABD) altındaki manto yapısını incelimişlerdir. Bock (1988) 220 km, 400 km ve 700 km süreksızlıklarında oluşan Sp dönüşümlerinden üst manto yapısını incelimişlerdir.

Ülkemizde kabuk ve üst manto özelliklerinin belirlenmesine ilişkin çalışmalar sınırlıdır. Canitez (1962), gravite ve sisolojik verilerle Kuzey Anadolu'da; Canitez (1969), yüzey dalgalarından Ege Bölgesinde; Kenar (1978), uzun peryod P -

dalgalarının spektral oranlarından İstanbul ve civarında; İlkişik (1980), manyetotellürik yöntemlerle Trakya'da; Ezen (1983), Love dalgalarının dispersyonu ile Anadolu'da yerkabuğu yapısını incelimişlerdir. Bu çalışmaları bütün olarak değerlendiren Ergin (1983) tarafından belirtildiği gibi ülkemizin çok geniş bir kısmı için kestirimler, komşu ülkelere ilişkin çalışmaların karşılaştırılmasıyla elde edilmektedir. Kenar ve Toksöz (1989) yüzey dalgalarının dispersyon özellikleriyle Anadolu'da yerkabuğu yapısı, Mindevalli ve Mitchell (1989) yüzey dalgası dispersyonundan Türkiye'de kabuk yapısı ve olası anizotropi, Osmanşahin (1989) yüzey dalgası ortam tepkı fonksiyonlarından Anadolu ve civarındaki kabuk ve üst manto yapısının incelenmesi bu konuda son yıllarda yapılan çalışmalardır.

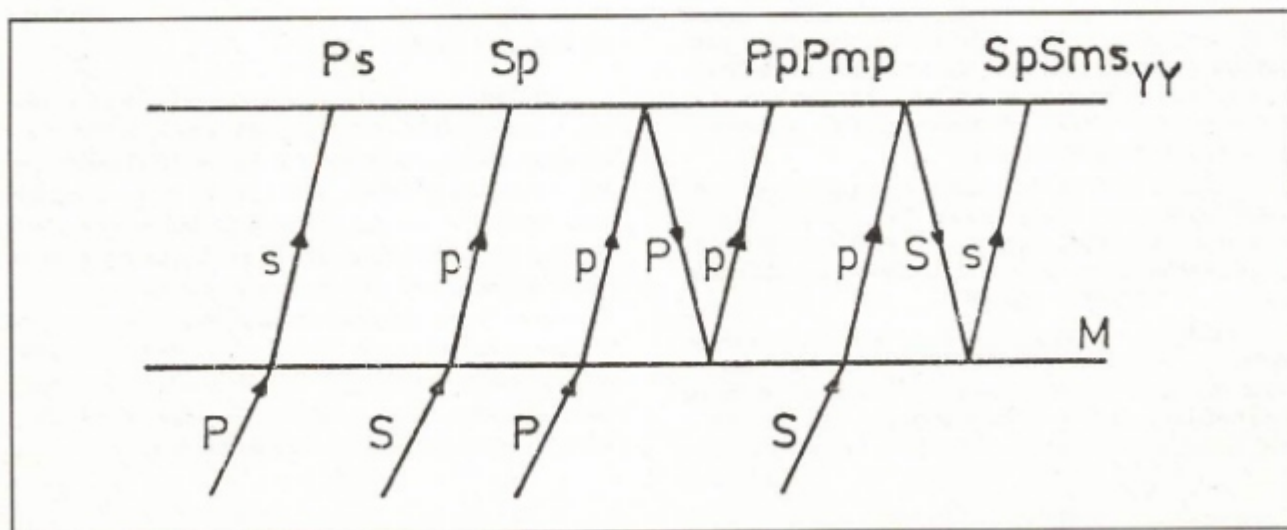
KABUKSAL CISİM DALGASI FAZLARI

Uzak-alan sismik dalgaların karşılaşıkları arayüzeylerden en iyi şekilde belirtikleri Mohorovicic süreksizliğidir. Sismik dalgalar, bu arayüzeye, sadece kırılmaz ve yansımazlar, aynı zamanda P' den S'ye ve S'den P'ye dönüşümler de oluşur. Bu olaylara hem kaynak, hem de kayıt istasyonu civarında rastlanır. Bu dalgalar Moho süreksizliğinin yeryüzeyine çok yakın olması nedeniyle ilk varyşların hemen ardından birkaç saniye sonra gelirler. Bu durum doğal olarak bu dalgaların tanınmasında güçlükler yaratır. Bunlar kendilerinden önceki hareket içerisinde karışırlar. Örneğin, P dalgasının hemen birkaç saniye ardından gelen Ps dönüşüm fazının tanınması nispeten zordur. Buna karşı Sp dönüşüm fazı doğrudan S varyosundan önce geldiği için sinyal - gürültü (S/G) oranı yüksek bir kayıtta nispeten daha kolay tanımlanabilir.

Bu çalışmada Moho sınırında oluşan dalgalar için Bath ve Stefansson (1966) tarafından verilen simgeleme (notasyon) kullanılmıştır (Şekil 1). Buna göre;

- P → S dönüşüm dalgaları için Ps; S → P dönüşüm dalgaları için Sp (küçük harfler yalnızca yukarıda doğru yayılan dalgalar için kullanılacaktır).

- Moho'dan yansımış dalgalar (PmP, Pmp ve pmP gibi) küçük m harfi ile belirtilecektir. m harfi Moho'nun her iki tarafından yansımalar için de kullanılacaktır.



Sekil 1. Kabuksal fazların simgelenmesi.
Fig. 1. Notation for the crustal phases.

- Birden fazla tabaka var ise karşılık gelen tabakayı belirtmek için 1,2,3.... gibi simgeler eklenecektir.

Bu simgeleme sistemi ile çok karmaşık yollar dahil kolayca işaretlenebilir. Örneğin, SpPmp Moho'ya S olarak gelen, Moho sınırı geçerken P'ye dönünen, yüzeyden P olarak yansından sonra Moho'dan tekrar yansiyarak yüzeye P olarak gelen dalgayı göstermektedir.

Sp fazları çok küçük genlikli olmaları nedeniyle bunların kayıtları dikkatle incelemelidir. Bu fazlar yukarıda belirtilen nedenlerden dolayı nadiren kaydedilirler (Bath ve Stefansson 1966). Yatay katmanlardan oluşan yer modelinde, yalnızca SV enerjisi P'ye dönüşüm için uygundur. Bu nedenle Sp dalgalarının gözlebilmesi için temel kriterler; S dalgalarının düşey olarak polarize olmuş bileşeninin büyük ve süreksizliği geliş açısı böyle bir faz dönüşümü için yeterli olmasıdır. Genel olarak, optimum dönüşüm kritik açılardan biraz daha küçük geliş açılarında olur. Sp fazının güvenilir bir şekilde gözlebilmesi için S fazının keskin başlangıcı olması ve S'nin öndeği aralığın gürültü veya diğer faz varyansları ile karışmamış olması gereklidir.

Kabuk tabanında, gelen bir düzlem P dalgası için moho sınırlarındaki yansımıya veya yayının katsayılarına göre ilk sıralamada beş faz yer alır. Bunlar PpPmp, PpSmp, Ps, PpPms ve PpSms fazlardır. Bunlardan ilk ikisinin genliklerinin küçük olması ve genellikle doğrudan varyasyon ve aletin güçlü etkileşimi ile büyük oranda kirletilmesi nedeniyle gözlebilme olasıdır. Üçüncü Ps fazı doğrudan varyasyon arkasından birkaç saniye sonra gelir ve ender olarak güçlü olduğunda bu faz tanımlanabilir. Son iki faz uzak alan P dalgalarının radyal bileşeninde sıkça gözlebilir. Eğer bu fazlar düşey bileşende izlenemiyorsa, radyal P bileşeni elde edilerek kolayca tamlanabilirler. Hatta bu fazlardan dolayı radyal ve düşey bileşenler arasında açık bir farklılık görülebilir.

Kaynak - zaman fonksiyonunun uzun süreli olması, çok bileşenli kaynak, serbest yüzey ile sig bir kaynağın etkileşimi veya işin dönme noktası civarındaki güçlü bir süreksizlikten ikinci bir varyasyon doğrudan P - dalga şeklini önemli ölçüde etkiler. Bu nedenle episandr uzaklığı $30^\circ - 80^\circ$ arasında olan, orta büyüklükte, derin depremler seçilmelidir. Ayrıca bu fazlar çok küçük enerjili olduklarından, düşey bileşen azimutu bağlı olarak değişmez ise de, varolan enerji yatay bileşenlere (N-S, E-W) bölünceğinden ara azimutlar için iyi bir radyal bileşen kaydı elde edilemez. Bu nedenle kullanılacak verilerde azimutların ana yönler üzerinde seçilmesi yeğenir.

Cizelge 1. Bu çalışmada kullanılan depremlerin kaynak parametreleri (ISC bültenlerinden alınmıştır).
Table 1. Source parameters of the earthquakes used in the study (after ISC bulletins).

No	Tarih	Oluş zamanı	Episandr Koordinatları	$\Delta (\text{'}')$	Az ($^{\circ}$)	h(km)	m_b	
1	14.03.1965	15.53.05.0	36.50N	70.50E	32.45	84.31	220	6.4
2	06.06.1966	07.46.16.1	36.40N	71.10E	32.93	88.16	221	6.2
3	30.08.1970	17.46.08.9	52.40N	151.60E	77.24	32.41	643	6.5
4	29.01.1971	21.58.03.2	51.00N	151.00E	74.78	33.17	515	6.0
5	29.06.1975	10.37.41.4	38.80N	130.00E	72.82	53.42	560	6.2
6	08.07.1975	12.04.42.5	21.50N	94.70E	58.11	88.32	157	6.5
7	21.12.1975	10.54.17.7	51.90N	151.60E	74.88	32.75	554	6.4
8	09.03.1977	14.27.53.6	41.61N	130.89E	71.65	50.55	556	6.0
9	23.05.1978	07.50.28.2	31.05N	130.13E	77.78	58.91	161	6.6
10	23.01.1981	04.58.31.5	42.52N	142.12E	76.96	44.21	116	6.7
11	02.05.1981	16.04.55.6	36.36N	71.09E	32.94	84.23	229	6.3
12	30.12.1983	23.52.39.9	36.36N	70.74E	32.68	84.4	215	7.2

VERİLER VE ÖZELLİKLERİ

Bu çalışmada Uluslararası Standard Sismograf Ağına (WWSSN, World - Wide Seismograph System Network) dahil İstanbul Teknik Üniversitesi (ITU) Maden Fakültesi sismoloji istasyonunun (IST) uzun periyod kayıtları kullanılmıştır.

Önceki bölümde açıklanan nedenlerden dolayı, başlangıçta nisbeten basit kaynak - zaman fonksiyonlu, büyük magnitüdü ($m_b = 6$), derin, yatay bileşenlerin hemen hemen radyal ve enine olduğu uzak - alan ($30^\circ < \Delta < 80^\circ$) olayları araştırılmış, ancak bu özelliklerde yeterli miktarda veri elde edilememiştir. Bu nedenle daha az derin (orta) veya ara azimutlardaki derin olaylar da verilere dahil edilmiştir.

Bu çalışmada 12 adet depreme ait üç bileşen kaydı kullanılmıştır. Bu depremlere ilişkin kaynak parametreleri ve azimut değerleri Çizelge 1'de verilmektedir. Kaynak değiştirmelerine ilişkin bilgiler ISC (International Seismological Center) bültenlerinden alınmıştır.

Yapay sismogramların hesaplanması yer kabuğu yatay katmanlı alınmaktadır. Yani Moho süreksizliği hesaplamalar için yataydır. Moho süreksizliğinin önemli bir eğime sahip olması halinde farklı azimutlu olayların bu süreksizlige geliş açıları ve kabuk içerisinde katedecekleri yıllar farklı olacaktır. Böyle bir yapıda, dalga şekilleri azimuta bağlı olarak önemli değişiklikler gösterir. Bu durumda değişik azimutlu olayların incelenmesi istenir. Bu çalışma için seçilen depremler azimutal olarak ilk kadranda ($0^\circ < Z < 90^\circ$) yer almaktadır. Depremlerin bazıları hemen hemen aynı, bir çoğu çok yakın azimut değerine sahiptir. Bu nedenle ve eğimli bir Moho süreksizliği olasılığı da dikkate alınarak veriler azimutlarına göre üç gruba ayrılarak ele alınmıştır.

Grup	Azimut ($^{\circ}$)	Deprem no
I	$80^\circ < z < 90^\circ$	1,2,6,11,12
II	$41^\circ < z < 58^\circ$	5,8,9,10
III	$32^\circ < z < 33^\circ$	3,4,7

Sismogramlar önce iz davranışlarını karakterize edecek şekilde rasgele aralıklarla sayısallaştırılmıştır. Daha sonra doğrusal enterpolasyonla 0.25 sn aralıklarla örneklenmiştir. Sismogramların örneklenme uzunlukları yaklaşık 50 sn olarak alınmıştır. Bunun nedeni, bu uzunluğun kabuksal fazları elde etmek için yeterli olmasıdır. Kayıtlarda düşey bileşen oldukça

Çizelge 2. Bileşenler arasındaki büyütme farklarının giderilmesi için düzeltme oranları.
Table 2. The correction ratios to remove the differences between the components

No	Tarih	Az	An	Ae	Gz	Gn	Ge	Magz	Magz	Magn	Mag	Mag	Mag
								Magz	Magn	Mage	Z	N	E
1	14.03.1965	-	-	-	-	-	-	1*	1*	1*	750	750	750
2	06.06.1966	7.30	5.05	3.25	0.1133	0.098	0.0955	1.250	1.893	1.514	1500	1500	750
3	30.08.1970	6.60	6.60	7.25	0.0960	0.096	0.1040	1.000	0.986	0.986	1500	1500	1500
4	29.01.1971	6.60	6.60	7.25	0.0960	0.096	0.1040	1.000	0.986	0.986	1500	1500	1500
5	29.06.1975	4.10	3.30	3.45	0.0960	0.096	0.1040	1.242	1.287	1.036	1000	750	750
6	08.07.1975	4.20	3.30	3.35	0.0960	0.096	0.1040	1.273	1.358	1.067	1000	750	750
7	21.12.1975	5.75	3.30	3.35	0.0960	0.096	0.1040	1.742	1.859	1.067	1500	750	750
8	09.03.1977	6.00	3.30	3.40	0.0960	0.096	0.1040	1.818	1.912	1.051	1500	750	750
9	23.05.1978	5.80	3.30	3.50	0.0960	0.096	0.1040	1.757	1.795	1.021	1500	750	750
10	23.01.1981	6.00	3.30	3.50	0.0960	0.096	0.1040	1.818	1.857	1.021	1500	750	750
11	02.05.1981	5.75	3.65	3.25	0.0960	0.096	0.1040	1.575	1.917	1.217	1500	750	750
12	30.12.1983	5.70	3.60	3.25	0.0960	0.096	0.1040	1.583	1.900	1.200	1500	750	595

- * A_i ve G_i değerleri okunamadığından ve alet büyütmeleri aynı olduğundan 1 alınmıştır.
- Az, An, Ae düşey, kuzey - güney ve doğu - batı bileşenlerinin kalibrasyon puls genliği.
- Gz, Gn, Ge düşey, kuzey - güney ve doğu - batı bileşenlerinin elektromekanik sabitleri.
- Magz, Magn, Mage düşey, kuzey - güney ve doğu batı bileşenlerinin alet büyütme değerleri.

temiz olmakla birlikte bazı kayıtlarda yatay bileşenler uzun peryodlu çevresel gürültülerce kirletilmiştir. Bazı olayların doğu - batı bileşeninde gürültü oranı daha yüksektir. Bu gürültüler çok uzun peryodlu olmaları nedeniyle kayıtlara trend olarak girmiştirler. Bu nedenle sismogramlara basit bir trend giderme işlemi uygulanmıştır.

Radyal ve enine bileşenlerin elde edilmesi için uygulanan vektörel döndürme işlemi içinde yatay bileşenlerin aynı büyütmelerde olması gerekmektedir. Alet kalibrasyonunun güvenilir olmadığı durumlarda iki farklı bileşeni aynılaştırmanın en güvenilir yolu kalibrasyon pulslarından alet büyütme oranlarının saptanmasıdır. Frekans ortamında bir bileşenin büyütmesi, Mag (w), şu şekilde ifade edilebilir;

$$\text{Mag (w)} = \frac{A(w)}{y(w)} \quad (1)$$

Burada, A (w) çıkış genliği ve y (w) giriş genliğidir. Ayrıca şunu da yazabilirim;

$$y(w) = \frac{A.G}{-(iw)^3 M} \quad (2)$$

Buradan kalibrasyon pulsunun büyütmesi şu şekilde yazılır;

$$\text{Mag (w)} = \frac{-A(w)(iw)^3 M}{a.G} \quad (3)$$

Burada, M sismometredeki salınan kütle (kg), w açısal frekans, a kalibrasyon akımı (amper), G galvonometre sabiti (Newton/Amper) (Anonymous 1962). Böylece, düşey bileşen Magz (w) ile NS bileşeni Magn (w)'nın büyütmeleri karşılaştırıldığında, benzer terimler kalkarak aşağıdaki ifade elde edilir;

$$\frac{\text{Magz (w)}}{\text{Magn (w)}} = \frac{\text{Az (w)}}{\text{Gz}} = \frac{\text{Gn}}{\text{An (w)}} \quad (4)$$

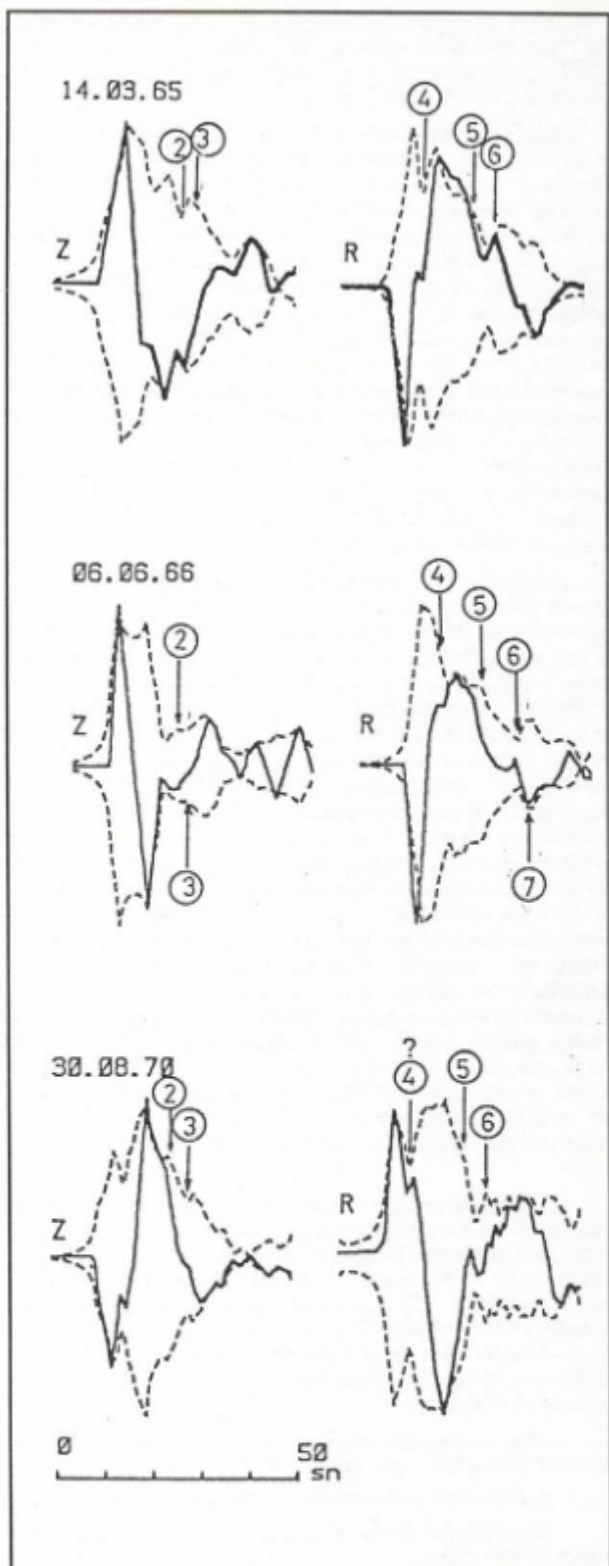
(4) ilişkisine benzer şekilde diğer bileşenler arasındaki büyütme farklılıklarını da giderilebilir.

İncelenen depremlerin kaydedildiği yaklaşık 19 yıllık peryod içerisinde alet kalibrasyonu bazı dönemler için farklıdır. Bu nedenle bileşenler arasındaki farklılıklar (4) bağıntısından yararlanılarak giderilmiştir. Uygulanan düzeltme için büyütme oranları Çizelge 2'de verilmektedir. Birinci grup depremlerin yatay bileşenleri hemen hemen radyal ve enine olduğu için ($z > 84^\circ$) bu gruba ait verilere döndürme işlemi uygulanmamıştır. Bu çalışmada kullanılan deprem kayıtları ileriindeki bölgelerde hesaplanan yapay sismogramlarla karşılaştırılmış olarak verilecektir.

Gözlemsel ve yapay sismogramların karşılaştırılmasında incelenen kabuksal fazların duyarlı olarak, kuşkuya yer bırakmaksızın belirlenmesi önemlidir. Bu nedenle bu fazların tanınması ve zamanlarının belirlenmesinde tanecik hareket diyagramları, zaman ortalama çapraz çarpım fonksiyonları ve karmaşık zarfları hesaplanmıştır. Üç farklı yöntemle incelenen kabuksal fazlar yeterli bir duyarlılıkta belirlenmiştir. Hilbert dönüşümüyle elde edilen karmaşık zarflar ile belirlenen bazı fazlar Şekil 2'de verilmiştir.

YAPAY SİSMOGRAMLAR

Bir uzak-alan (telesismik) cisim dalgasının yeryüzeyinde oluşturduğu yerdeğiştirme çok sayıda parametre tarafından etkilendir. Bir A noktasından B noktasına enerjinin elastodinamik transferinde yırtılmanın zaman fonksiyonu, kaynak mekanizmasının çok kutupluğu, kaynak bölgesindeki tabakalanma, yayının yolu boyunca tabakalanma ve işinin en derin noktasındaki yapının hızı, gözlem bölgesindeki tabakalanma, kayıtçının tepkisi, anizotropi, heterojenlik veya yayının boyunca herhangibir noktadaki materyallerin elastik olmayışları gibi perçok sayıda parametre göz önüne alınmak zorundadır. Bu etkilerin her birinin birden fazla parametre tarafından kontrol edildiği de düşünülürse elastik enerjinin yer içerisindeki transferini kuramsal olarak modelleyebilmek olanaksız gibidir. Bu nedenle dalga yayımının modellenmesinde birtakım kabuller



Sekil 2. Düşey (Z) ve radyal (R) bileşenler ve karmaşık zarfları. Numaralar (1 den itibaren) P, PpPmp, PpSmp, Ps, PpPms, PpSms ve PsSms fazlarını belirtmektedir.

Fig. 2. Vertical (Z) and radial (R) components and their complex envelopes. P, PpPmp, PpSmp, Ps, PpPms, PpSms and PsSms phases are numbered from 1 to 7.

yapılır ve sınırlamalarla gidilir. Bu kabuller ve sınırlamalar, etkilerin bazılarını ihmali edilebilir ölçüde küçülterek yok edilmesini sağlar. Böylece, seçilmiş veri grupları için parametreler denetlenebilecek sayılarla indirilmiş olurlar.

Yarı - sonsuz bir ortam üzerinde yatay homojen elastik tabakadan oluşan ve yapıya gelen dalgaların düzlem dalga olarak gözönüne alınabilmesi için kaynağın yeteri kadar uzak olduğu varsayılmaktadır. Bu durumda P ve S dalga yörüngeleri kaynak uzaklığı ve derinliği için uygun bir işin parametresi ile tanımlanabilir.

Işin genliği $A(t)$ gibi bir zaman fonksiyonu olmak üzere:

$$A(t) = I(t) * Q(t) * S(t) * R(t) \quad (5)$$

şeklinde tanımlanabilir. Burada, I(t); alet tepkisi, Q(t); yerin soğurma etkisi, S(t) kaynak - zaman fonksiyonu, R(t) yer tepkisi ve (*) konvolusyon işlemidir.

İşin tepkisi derin ($d > 300$ km) ve uzak ($30^\circ < \Delta < 80^\circ$) depremler için kaynak civarı ve işin dönme noktasındaki yeryapısı etkilerinin çok küçük olması nedeniyle yalnızca istasyon altındaki yapının tepkisidir. Bu nedenle yer tepkisi, işin izleme veya Haskell'in (1960, 1962) yayıcı matris teknigi ile hesaplanabilir. İşin izleme yöntemi, belirli fazların genlikleri ve göreceli varış zamanları ile doğrudan yorumlamalar için güvenilirdir. İşin yolları belirli bir model için belirlenerek, yayılma ve yansımıma katsayılarından yüzey genlikleri hesaplanır (Helmberger 1968). Nispeten karmaşık bir modelin toplam tepkisini bulmak için işin izleme kontrolsüzleşir. Bu nedenle yayıcı matris teknığının kullanılması daha uygundur. Çünkü, uzun uzun işin tanımlamaları ve karmaşılık gerektirmeksiz problem bütünü olarak çözülür. Bu çalışmada yer kabuğu yarı - sonsuz ortam üzerinde homojen, izotrop, yatay tabaklı bir yapı olarak alınmıştır. Böyle bir yapının tepkisi Thomson - Haskell yayıcı matris teknigiyle hesaplanmıştır.

Kaynak fonksiyonu çok sayıda parametre tarafından etkilenir. Kaynaktaki en önemli problemler; çoğul kaynak, enerjinin yönlenmesi, kaynak civarındaki sürekliliklerden ileri gelen tekrarlı yansımalar ve serbest yüzey yansımalarıdır. Bu nedenle nispeten uzak - derin ve basit kaynak - zaman fonksiyonlu olaylar seçildiğinde bu etkilerden kaçınılmış olunur. Yer yüzeyinde kaydedilen yerdeğiştirme alet tepkisi, yerin soğurma etkisi, kaynak fonksiyonu ve yer tepkisinin konvolusyonundan oluşuyorsa, kaynak fonksiyonu sismogramdan diğer etkilerin dekonvolusyonu ile elde edilebilir. Uzak ($\Delta > 30^\circ$) ve derin ($h < 300$ km) depremler için yer hareketinin düşey bileşeni puls şeklindeki kaynak fonksiyonu ile alet tepkisi ve daha sonraki ömensiz varlıkların konvolusyonu gibi davranış (Burdick ve Helmberger 1974). Çünkü olayların uzak ve derin olması durumunda işin Moho sürekliğine geliş açısı çok küçüktür. Yani hemen hemen dik gelmektedir. Bu nedenle yerkabığından hemen hemen hiç etkilenmezler. Bundan dolayı uzak alan derin depremler için P dalgasının düşey bileşeni, sonraki kabuksal fazların dışında, kaynak fonksiyonu gibi davranış. Böylece kaynak fonksiyonu P - dalgası düşey bileşenden alet etkinin dekonvolusyonu ile elde edilebilir.

Bu çalışmada kaynak fonksiyonu P - dalgasından alet tepkisinin dekonvolusyonu ile elde edilmiştir. Bunun için önce alet tepkisi düşey P dalgasından dekonvole edilmiş, daha sonra doğrudan gelen P dalgası pulsu, bir dikdörtgen pencere ile pencerelenmiş, dekonvolusyon nedeniyle oluşan yüksek frekanslı olaylar süzülmüştür.

Bu yöntemin en büyük dezavantajı kaynağın çoğul (iki veya daha fazla olay) olması durumunda yeterli olmamasıdır. Bu nedenle kaynak fonksiyonu dekonvolusyon yöntemiyle elde edilmek istendiğinde, basit (tek) olaylar seçilmelidir. Derin olaylarda kaynağın çoğulukla çoğul olduğu gözlenmiştir (Jordan ve Frazer 1975). Bu nedenle, bu çalışma için daha önce seçilen bazı depremler kullanılmıştır. Kullanılan depremlerden yalnızca (3) numaralı deprem çift olay, diğerleri basit olaylardır. Kullanılan depremlerin belirlenen kaynak fonksiyonları Şekil 3'de verilmiştir.

Yerin soğurma etkisini hesaplamak için Futterman (1962) isleci (t^*) kullanılır. t^* , işin yolu boyunca sabit olup degeri T/Q'dur (Carpenter 1966). Burada T, işin yayılma zamanı; Q, işin boyunca ortalama kalite faktöründür. Bu çalışmada t^* değerleri P - dalgaları için $t_{\alpha}^* = 0.75$ sn, S - dalgaları için $t_{\beta}^* = 3.0$ sn olarak alınmıştır.

Alet tepkisi önceden bilinir. Bilinmemesi halinde kayıtlar üzerindeki kalibrasyon pulslarından yararlanılarak elde edilebilir. WWSSN sismografları için ise Hagiwara (1958)'nın analitik olarak elde ettiği bağıntılardan hesaplanabilir. Bu çalışmada Hagiwara (1958)'nın analitik bağıntıları kullanılmıştır.

Yer tepkisi, soğurma etkisi ve alet tepkisi frekansın fonksiyonudur. Bu nedenle konvolusyon işlemleri frekans ortamında çarpım olarak yapılmıştır. Daha sonra toplam tepki ters Fourier dönüşümü ile zaman ortamına aktarılarak yapay sismogramlar elde edilmiştir.

İncelenen depremler için gelen P ve S dalgalarının geliş açıları ve işin parametreleri Jeffreys ve Bullen (1948) çizelgelerine göre hesaplanmıştır. Gelen dalgaların işin parametreleri depremlerin uzaklık ve derinliklerine bağlı olarak iki farklı değer civarında kümelenme göstermektedir. Bu kümelenmelerde değişim aralığı yaklaşık 1° kadardır. Bu ise $\Delta > 30^\circ$ uzaklıklarda önemli bir fark değildir. Bu nedenle yapay sismogramlar iki farklı işin parametresi için hesaplanmıştır. (1), (2), (11) ve (12) numaralı depremlere yaklaşımada işin parametresi, P dalgaları için 0.083 sn/km, S dalgaları için 0.15 sn/km; (3), (4), (5), (7), (8), (9) ve (10) numaralı depremlerde P dalgaları için 0.055 sn/km ve S dalgaları için 0.105 sn/km alınmıştır. Yalnız (6) numaralı deprem, diğerlerinden farklı bir değere sahip olduğu için işin parametresi P dalgası için 0.067 sn/km, S dalgası için 0.125 sn/km alınmıştır. Hesaplanan yapay sismogramlar Şekil 5 - 6'da gözlemsel sismogramlarla birlikte verilmiştir.

GÖZLEMSİZ VE YAPAY SİSMOGRAMLARIN KARŞILAŞTIRILMASI

Yapay sismogram hesaplamaları için başlangıçta verilmesi gereken en önemli karar Moho süreksizliğinin eğimli olması durumunda probleme ne şekilde yaklaşılacağıdır. Çünkü Moho süreksizliğinin büyük bir eğime sahip olması halinde sismogramlarda azimuta bağlı önemli farklılıklar beklenir. Eğimli bir arayüzeyin etkileri daha çok enine bileyende gözlenir. Bu nedenle, eğimli bir arayüzeyden oluşan model enine dalgı şıkları kullanılarak belirlenmeye çalışılır. Bu hemen hemen tüm kadranlara dağılmış azimutlara sahip veri gruplarını gerektirir. Enine dalgı genliklerinin küçük olması yatay heterojenliğin özellikle istasyon altında şiddetli olduğunu gösterir (Hebert ve Langston 1985). Tekrarlı yansımalar kabuk içerisindeki kabuk boyunca yayıldıkları için kabuktaki yanal heterojenliğin varlığı enine dalgı şıklarında daha iyi gözlenir. Eğimli arayüzeylerle, kabuksal yansımı ve kırılmalar nedeniyle işin yolları gittikçe artarak bozulur ve bu olay tekrarlı yansımalarla sağlanır neden olur (Langston 1981). P dalgalarının üç boyutta da eğimli arayüzeylerde ne şekilde davranışını göstereceğini kestirebilmek oldukça zordur (Lee ve Lang-

ston 1982). Bu durumda dalgı yayımı anizotropik ortamlardaki gibi çok daha karmaşık bir şekilde ele alınmalı veya yanal süreksizliklerin oluşturduğu saçılımaya bakılmalıdır (Keith ve Crampin 1977 a, b).

Eğimli bir arayüzeyin diğer bir göstergesi de enine bileyende P dalgası polaritesinin azimutal değişiminin beklenenden farklı bir davranış göstermesidir (Langston 1976 b). Bu azimutal anomaliler bizim verilerimizde gözlenmemiştir. Bu ise iki şekilde yorumlanabilir: Birincisi Moho süreksizliğinin yatay olması; ikincisi ise, gözlemlerin yalnızca birinci kadran da yer almış olmasıdır. Bu olasılıklardan ikincisi daha olası gözükmetedir. Çünkü; Ege bölgesi, İstanbul ve Karadeniz için daha önceki jeolojik ve jeofizik çalışmalarдан elde edilen bulgular, Moho süreksizliğinin eğimli olduğu yolundadır. Ayrıca gözlemsel verilerin enine P dalgası bileyenleri oldukça karmaşıktr (Şekil 4). Bunun nedenleri sayısallaştırma hataları, radyal ve enine bileyenlerin elde edilmesi için vektörel olarak döndürülmeleri, yatay heterojenlik ve bir miktar da eğimli arayüzeyin etkisi olduğu düşünülebilir. Zaten polarizasyonlardaki yaklaşık 15° ye kadar olan azimutal anomalilerin belirlenebilmesi çok güçtür (Langston 1979).

Moho süreksizliğinin büyük bir eğime sahip olması durumda yukarıdaki beklenilerin ötesinde düşey ve radyal bileyenlerde I ve III numaralı gruplara ait veriler arasında geliş açıları nedeniyle olan farkların dışında kabuksal fazların, farklı varış zamanlarında gelmesi beklenir. Bunlar özellikle PpPms ve PpSms gibi radyal bileyende iyi bir şekilde tanımlanabilen dönüştürülmüş tekrarlar için belirlenebilir olmalıdır. Çünkü genlik oranları arayüzeylerin hız kontrastlarına bağlı olmasına rağmen fazların yayılma zamanları tabaka hızı ve kalınlığa bağlıdır. I. gruba ait gözlemler yaklaşık 84° lik bir azimuta sahiptir. Yani doğu - batı bileyeni hemen hemen radyaldır. Bu gruba ait verilerin işin yolları yaklaşık Karadeniz'in güney kıyısı boyunca dır. Üçüncü gruba ait depremler yaklaşık 33° azimuta sahiptir. Bunların işin yolları ise Karadeniz'i yaklaşık olarak kuzey - doğu doğrultusunda geçmektedir. Bu depremlere ait işinlerin kabuğa giriş noktaları arasındaki uzaklığın (kuzey - güney doğrultusunda) tekrarlı yansımalar için eğimin etkili olabileceği uzunlukta olması beklenir. Fakat incelemenin kuzeye doğru olması nedeniyle Moho süreksizliğini geçiş açıları daha da küçük olacağı için kalınlık değişimini gözleyebilmek hemen hemen olanaksızdır. Nitekim bu veri grupları arasında böyle bir farklılık gözlenmemiştir. Bu nedenle kabuk modelinin yatay tabakalı olarak alınması daha gerçekçi bir yaklaşım olacaktır.

Yerkabuğu yapısının modellenmesi için yapay sismogram hesaplamalarında, kaynak fonksiyonu ve yerin soğurma etkisi sabit etkilidir. Dolayısıyla sismogramlar yerkabuğu parametrelerine bağlı olarak şekilleneceklidir. Yatay tabakalı bir yer modeli P ve S dalgı hızları, yoğunluk, kalınlık ve geliş açısının fonksiyonudur. Bu nedenle yer tepki fonksiyonunun bu parametrelerden nasıl etkilendikleri bilinmelidir. Tepki fonksiyonu ve kabuksal parametreler arasındaki ilişkiler özetle söyledir (Kenar 1978):

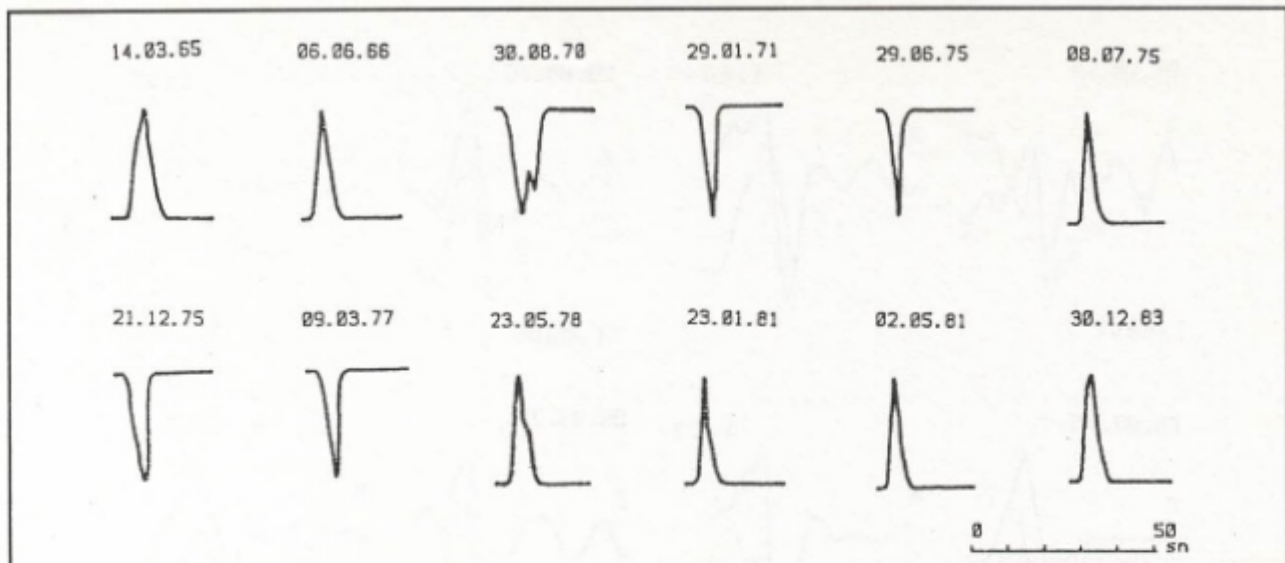
- P ve S dalgı hızları arasındaki hız kontrasti (α / β) ile genlikler arasındaki ilişki doğrusaldır.

- yoğunluk ve genlik arasında ters bir ilişki vardır.

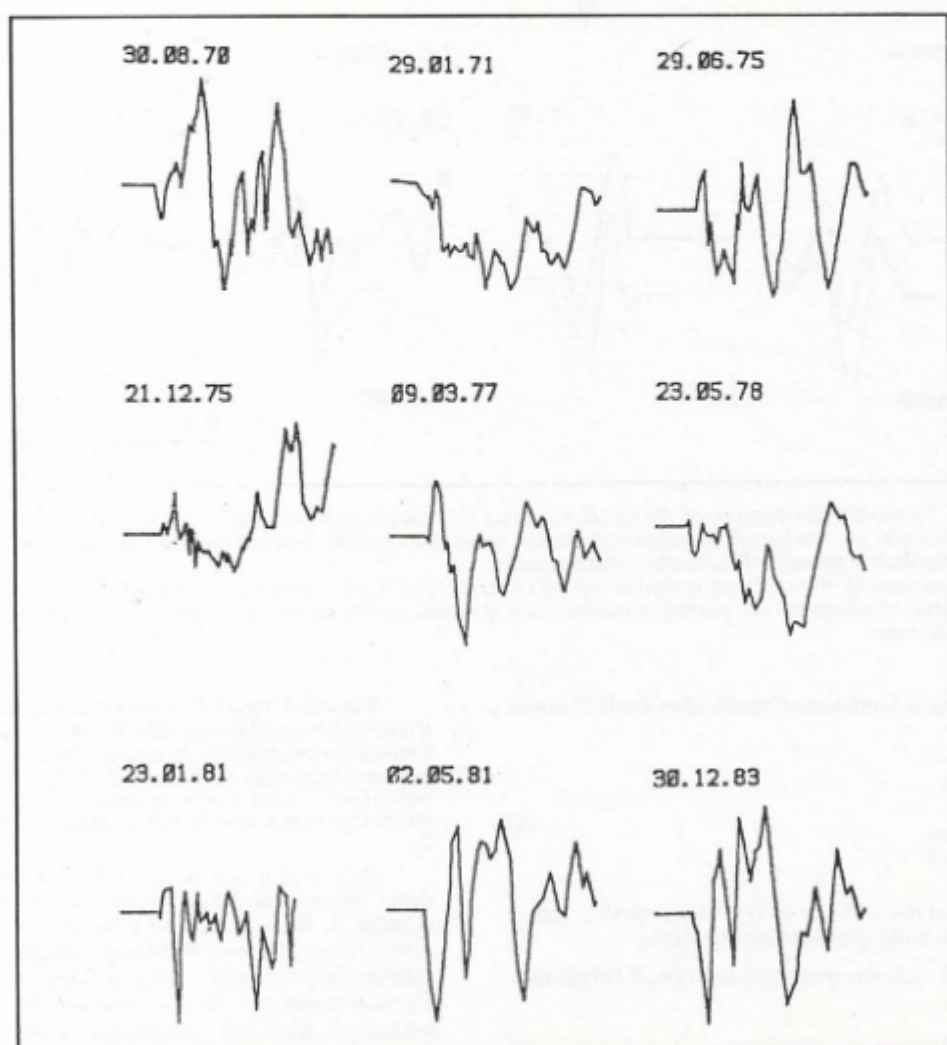
- en küçük frekansta yer alan doruk toplam kalınlık tarafından kontrol edilir.

- geliş açısı bileyenler arasındaki genlik oranlarını kontrol eder. Yani geliş açısı arttıkça (radyal / düşey) genlik oranı artar.

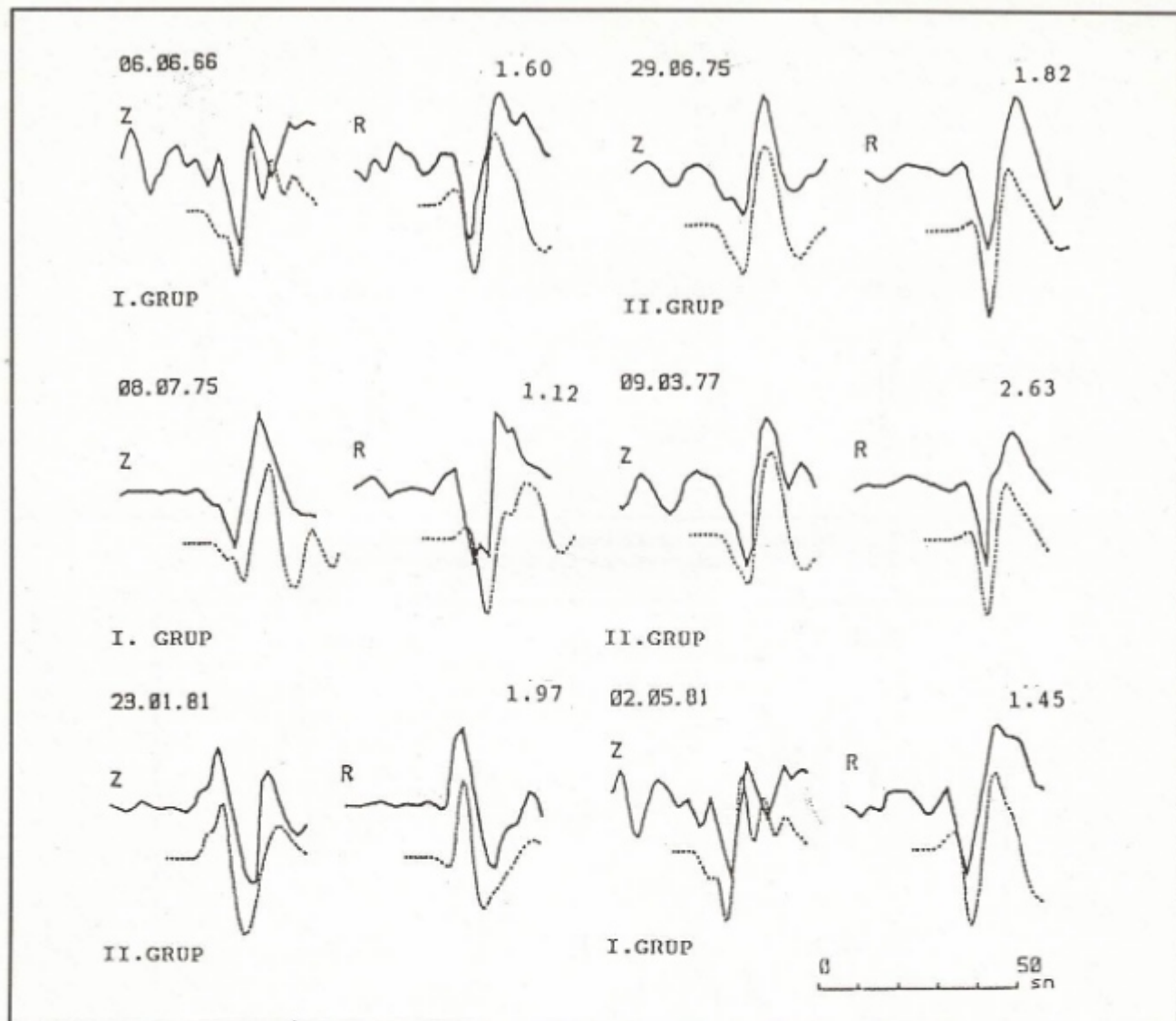
Yapının modellenmesine başlanırken kabuksal parametreler aşağıdaki ilişkilerden kontrol edilmiştir.



Şekil 3. Dekonvolüsyon yöntemi ile belirlenen kaynak - zaman fonksiyonları.
Fig. 3. The source - time functions estimated by the deconvolution method.



Şekil 4. İncelenen depremlerin bazılarının enine P dalga şekilleri.
Fig. 4. Some of the tangential P wave forms for the earthquakes used



Şekil 5. İST - T3 modeli için hesaplanan düşey (Z) ve radyal (R) bileşen yapay S - dalga şekilleri ve gözlemlisel sismogramların karşılaştırılması. Gözlemlisel sismogramlar sürekli, yapay sismogramlar noktalı olarak çizilmiştir. Herbir sismogramun sağ üst köşesindeki rakamlar R/Z oranını göstermektedir.

Fig. 5. Comparision of observed and synthetic vertical (Z) and radial (R) S - wave forms for the İST - T3 model. Observed and synthetic seismograms are plotted as continuous and dotted curves, respectively. The numbers on the upper right show the R/Z ratios.

1. Yer kabuğunda ortalama Poisson oranı $\delta = 0.25$ olarak kabul edilmiştir.

$$\sigma = \frac{\alpha^2 - 2\beta^2}{2(\alpha^2 - \beta^2)} \quad (6)$$

bağıntısından $\delta = 0.25$ için $\alpha / \beta = \sqrt{3}$ ilişkisinden, atanan P ve S hızlarından birisi için diğerini belirlenmiştir.

2. Yoğunluk ve hızlar arasındaki ilişki Birch (1964) tarafından verilen

$$\delta = 0.77 + 0.30 \cdot 2\alpha \quad (7)$$

ilişkisi ile kontrol edilmiştir.

Başlangıç modeli Camtez (1962) tarafından gravite anomalilerinden yararlanarak verdiği yaklaşık kabuk modeli, yine Canitez'in (1969) yüzey dalgası verilerini kullanarak Ege bölgesi için belirlediği ve Kenar (1978) tarafından cisim dalgası verilerinden spektral oran yöntemi ile elde edilen İstanbul ve civarı için kabuk modeli baz alınarak belirlenmiştir (Çizelge 3).

Önce toplam kabuk kalınlığının belirlenmesine çalışılmıştır. Bunun için kabuk tek tabakalı olarak modellenmiştir. (Çizelge 4, İST - T1 modeli). Kestirimde öncelikle S - Sp zaman farkı kullanılmış, belirlenen yaklaşık model, P ve S dalgalarının düşey ve radyal dalga şekilleri ile kontrol edilmiştir. Tabakalı modellerin oluşturulmasında çok sayıda ince ara tabakalar gibi spekulatif ayrıntılardan kaçınılmıştır. Modeller kital kabuk yapısına uygun olarak iki ve üç tabakalı olarak oluşturulmuştur.

Çizelge 3. Ege (Canitez 1969) ve İstanbul (Kenar 1978) yöreleri için yerkabuğu modelleri.

Table 3. The crustal models for Egean (Canitez 1969) and İstanbul (Kenar 1978) regions.

	Tabaka No	Vp (km/sn)	Vs (km/sn)	ρ (gr/cm ³)	h (km)
Canitez (1969)					
1	2.90	1.98	2.26	2	
2	5.40	3.20	2.67	5	
3	6.16	3.60	2.82	10	
4	6.63	3.72	2.92	18	
5	8.16	4.44	3.30	-	
Kenar (1978)					
1	4.0	2.2	2.1	4	
2	6.0	3.5	2.65	10	
3	7.0	4.0	2.90	16	
4	8.1	4.6	3.35	-	

S - Sp ZAMAN FARKLARI

S - Sp zaman farkları aşağıdaki bağıntıdan kolayca hesaplanabilir (Jordan ve Frazer 1975):

$$t_{S-Sp} = \sum_{i=1}^m \left[\left(\beta_i^{-2} - p^2 \right)^{1/2} - \left(\alpha_i^{-2} - p^2 \right)^{1/2} \right] \quad (8)$$

Burada m; tabaka sayısı; i; tabaka numarası; h_i ; tabaka kalınlıkları; α_i ve β_i ; P ve S dalga hızları; p; işin parametresidir.

Çok tabaklı modeller ile başlangıçta belirlenecek tek tabaklı ortalama bir modeli karşılaştırılmak için çok tabaklı modellerde ortalama hızlar kullanılır. Yani bu modeller başlangıç hesaplamaları için tek tabaklı olarak düşünülmüştür. Ortalama hızlar

$$\alpha = \frac{1}{H} \sum_{i=1}^m h_i \alpha_i, \quad \beta = \frac{1}{H} \sum_{i=1}^m h_i \beta_i, \quad i = 1, \dots, m \quad (9)$$

şeklinde hesaplanmıştır. (8) bağıntısını amacımıza uygun olarak düzenlersek;

$$t_{S-Sp} = H \left[\left(\beta^{-2} - p^2 \right)^{1/2} - \left(\alpha^{-2} - p^2 \right)^{1/2} \right] \quad (10)$$

elde edilir. Burada H toplam kalınlık. Sismogramlardan okunan S - Sp zaman farkı yaklaşık 4.5 sn'dır. İşin parametresi 0.105 sn/km alındığında İST - T1 modeli için hesaplanan zaman farkı 4.45 sn dir. Bu, gözlemsel zamandan 0.05 sn kadar azdır. Bu da okuma hatası içerisinde kalacak kadar küçütür.

Çizelge 4. Belirlenen yerkabuğu modelleri.

Table 4. Estimated crustal models.

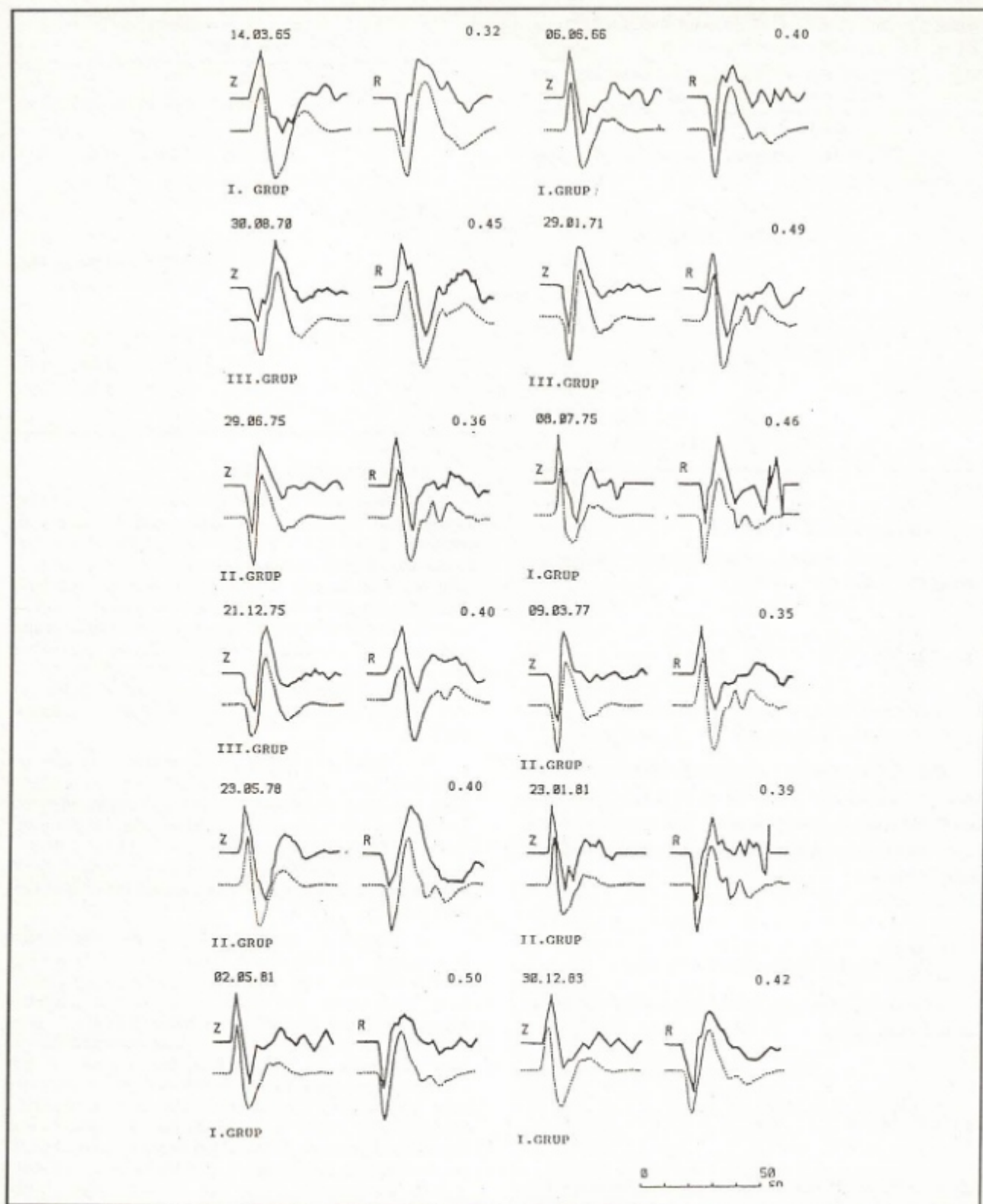
	Tabaka No	Vp (km/sn)	Vs (km/sn)	ρ (gr/cm ³)	h (km)
İST-T1	1	6.20	3.45	2.80	30
	2	8.10	4.60	3.35	-
İST-T2	1	5.50	3.20	2.50	19
	2	6.80	3.90	2.90	11
	3	8.10	4.60	3.35	-
İST-T3	1	4.00	2.30	2.25	4
	2	5.60	3.25	2.60	14
	3	6.80	3.90	2.90	12
	4	8.10	4.60	3.35	-

S DALGA ŞEKİLLERİ

S - dalga şekilleri modellemelerinde veriler özellikle kaynağın tekil olduğu basit olaylardan seçilir. Çünkü kaynak civarındaki P → S ve S → P faz dönüşümleri SV dalgaların için karmaşık bir kaynak fonksiyon oluştururlar. Ayrıca kaynağın çoğul olması durumunda, örneğin bir çift - olay için, ikinci şok nedeniyle oluşacak olan Sp fazı iki şok arasındaki zaman kadar gecikme ile varacağı için ilk şoka ilişkin S fazı ile etkileşerek hem S - Sp zamanı, hem de genlik oranları için bozucu etki oluşturacaktır (Jordan ve Frazer 1975). 45° den daha küçük episantr uzaklıklar için S dalgası PL dalgası ile birleşerek bozulur ve yorum çok daha güçleştir (Burdick ve Langston 1977).

Bu çalışmada Sp fazının iyi bir şekilde belirlenebildiği altı deprem için S dalga şekilleri modellenmiştir. S - dalgası yapay sismogramlarının hesaplanması, P dalgası düşey bileşenlerinden elde edilen kaynak fonksiyonları kullanılmıştır (Şekil 3). Hesaplamaarda, iyi bir şekilde belirlenen P dalgası kaynak fonksiyonunun kullanılması, kaynak civarındaki S - P dönüşümleri nedeniyle olabilecek karmaşıklığı ortadan kaldırılmıştır.

S - dalga şekillerinde Sp fazının gözlendiği düşey bileşen kayıtlarındaki benzerlik esastır. Gözlemsel ve yapay S dalga şekilleri arasında iyi bir benzerlik elde edilmiştir. Elde edilen bu uyum iki önemli bilgi verir. Birincisi, bu sismogramların hesaplanması P dalgalarından belirlenen kaynağın S dalga şekillerinde de başarılı bir şekilde kullanılabileceğini göstermiştir. Bu sonuç, bir anlamda hesaplanan kaynak - zaman fonksiyonlarının doğru bir şekilde elde edildiğini kanıtlamaktadır. İkincisi, Sp / SV genlik oranının büyük bir yaklaşımıkla elde edildiğiidir. Çünkü, S - Sp zaman farkı, kabuğun Poisson (eşdegeri α / β) oranına ve kabuk kalınlığına karşı çok duyarlıdır. Buna karşılık Sp / SV genlik oranı Moho süreksizliğindeki S dalga hızı kontrastına karşı çok duyarlıdır (Özer 1989). Moho'da dönüşmüs Sp fazının genliği yükseltilmek istendiğinde, moho süreksizliğindeki S dalgası hız kontrastının artırılması gerekmektedir. Sp fazı kabuksal arayüzeylerdeki hız değişimlerinden çok az etkilendir. Kabuksal tabakalarındaki hız değişimi geliş açısını etkiler. Bu nedenle daha yüksek Sp / SV genlik oranı beklenir. Bunun yapay sismogramlarda ne ölçüde



Şekil 6. IST-T3 modeli için hesaplanan düşey (Z) ve radyal (R) bileşen yapay P - dalga şekilleri ve gözlemlsel sismogramların karşılaştırılması. Gözlemlsel sismogramlar sürekli, yapay sismogramlar noktalı olarak çizilmiştir. Herbir sismogramın sağ üst köşesindeki rakamlar R/Z oranını göstermektedir.

Fig. 6. Comparison of observed and synthetic vertical (Z) and radial (R) P - wave forms for the IST-T3 model. Observed and synthetic seismograms are plotted as continuous and dotted curves, respectively. The numbers on the upper right show the R/Z ratios.

etkili olacağı düşük hızlı (örneğin sesedimanter tabaka), yatay tabakalı modeller için Jordan ve Frazer (1975) tarafından denenmiştir. Üst tabakada P ve S hızları % 20 azaltıldığında Sp/SV genlik oranındaki artışın % 3 den daha küçük olduğunu saptamışlardır. Buradan, gelen pulsun dalga boyunun bu tabakanın kalınlığından çok daha uzun olduğu sonucuna varılmıştır. Aynı araştırcıların bu çalışmalarında elde etkileri bir başka sonuç, Sp genliğinin kullanılan yoğunluk değerlerindeki mantıklı (kabul edilebilir) hatalardan etkilenmemesidir. Diğer bir sonuç da, (Sp / SV) genlik oranının Moho süreksizliğindeki P dalgası hız kontrastının değişimlerine duyarsızlığıdır.

Bu sonuçlara göre S dalga şekillerinden elde edilen uyum Moho süreksizliğindeki hız kontrastının büyük bir yaklaşılıkla belirlendiğini göstermektedir. Bu sonuç, S - Sp zaman farkları ile birlikte düşünüldüğünde, kabuktaki ortalama S hızı ve (α / β) hız oranının iyi bir şekilde modellendiğini göstermektedir.

P DALGA ŞEKİLLERİ

Yerkabuğu modelinin belirlenmesinde P dalgası radyal bileşen dalga şekillerinin uyumu temel almıştır. Kaynak fonksiyonları dekonvolüsyon yöntemiyle elde edildiklerinden, doğrudan gelen P dalgalarının düşey bileşenlerinin kabuğu hemen altındaki şeklidir. Düşey bileşende gözlenmesi beklenen kabuksal fazlardan PpPmp fazı çoğunlukla alet tepkisi nedeniyle, doğrudan gelen P dalgası tarafından kısmen örtülüdür. Bu nedenle düşey bileşende bazen güçlükle tanınırlar. Bu kolay tanınılabilmesi beklenen PpSmp fazıdır. Diğer tarafından daha önce ayrıntılı olarak tartışıldığı gibi, diğer kabuksal dönülmüş fazlar (P - S dönüşmüsleri) radyal bileşende iyi bir şekilde gözlenebilmektedir.

İST - T3 modeli için hesaplanan yapay sismogramlar Şekil 6'da verilmiştir. Şekil 6'da gözlemlenmiş ve yapay P dalga şekilleri arasında yeterli bir uyumun elde edildiği görülmektedir. Özellikle birinci gruba ait depremler için benzerliğin daha fazla olması önemlidir. Çünkü birinci grup depremlerde E - W bileşeni hemen hemen radyaldır. Bu nedenle bu sismogramlarda vektörel döndürmeden kaynaklanacak bilgi kayipları olumsamamaktadır.

İST - T3 modeli (Çizelge 4) yüzeyde 4 km kalınlıkta bir tabaka içerir. Bu tabakanın kalınlığı Kenar (1978) modeli ile aynıdır. Fakat S dalga hızı ve yoğunluğu biraz daha yüksektir. IST - T3 modelinde üçüncü tabakanın kalınlığı 12 km olarak belirlenmiştir. Bu değer Kenar (1978) modelindeki aynı tabakadan 4 km kadar daha incedir. Bu tabaka ilişkin parametreler gözlemlenmiş sismogramlarda Ps ve PpSms fazlarının zaman ve genlikleriyle iyi bir şekilde kontrol edilmektedir. Faz varyansları korunarak daha kalın bir tabaka, daha küçük hızlar ve yoğunluk ile modellenebilir. Bu ise, moho süreksizliğinde daha yüksek hız ve yoğunluk kontrastına neden olur. Artan hız kontrasti daha yüksek genlikli Moho yansımaları oluşturur. Ayrıca, Şekil 5'de verilen S dalga şekillerinde Sp/SV genlik oranından iyi bir hız kontrasti belirlendiği ortaya çıkmaktadır. Hız ve yoğunluk değerlerinin korunarak kalınlığın artırılması, bu tabakanın yukarısında daha düşük hızlı bir yapının modellenmesini gerektirir. Bu da birinci tabakanın kalınlaştırılması ile sağlanabilir. Birinci tabaka kalınlığının yaklaşık 7 - 8 km alınması halinde bu tabakanın tabanından olan yansımalar yaklaşık olarak Ps fazı ile aynı zamana sahip olmaktadır. Bu yansımalar Ps fazı ile birleştiğinde yapay sismogramlarda

güçlü bir doruk olarak yer almaktadırlar. Oysa, Ps fazı gözlemsel sismogramlarda ya çok zayıf bir doruk olarak görülmekte, ya da hiç görülememektedir. Bu nedenle, üste daha kalın bir tabakanın modellenebilmesi olanaksızdır.

SONUÇLAR

P dalga şekillerindeki S varyanslarının ($P \rightarrow S$ dönüşümleme) modellenmesinde yapay sismogramların kullanılmasının istasyon altındaki yerkabuğu yapısının modellenmesinde iyi bir yaklaşım olduğu görülmüştür. Yapay sismogram hesaplama yönteminin en büyük avantajı ise sonuçların gözlemlerle doğrudan karşılaştırılabilmesidir. Karşılaştırmanın zaman ortamında yapılması sıra ve süre bilgilerinin korunmasını sağlar. Ayrıca gözlemsel verilerin hiç bir işlem uygulanmaksızın doğrudan sonuçlarla karşılaştırılması nedeniyle verilerde herhangi bir bilgi kaybı söz konusu değildir. Yapay sismogramlar hem sismik kaynak, hem de manto ve çekirdek fazlarının belirlenmesinde kullanılabilir. Nitekim, yapay sismogramların kaynak ve yapı problemlerinin çözümünde kullanılmıştır son yıllarda gitikçe artmaktadır.

İstanbul ve civarında yerkabuğu yapısı için elde edilen sonuç bilgiler söyle özetlenebilir:

Daha önceki çalışmalarдан da bilindiği gibi, Moho süreksizliği yatay değildir. Kabuk kuzeye doğru incelemektedir. Verilerimizin yalnızca birinci kadranda yer almazı nedeniyle eğimin belirlenmesine çalışılmamıştır. Ancak, enine P dalga şekillerinin karmaşık olması bölgede önemli yanal heterojenliğin varlığını göstermektedir. Eğimin yönü ve derecesi uygun veri ve yöntemle araştırılmalıdır.

Toplam kabuk kalınlığı yaklaşık 30 km kadardır. Bu değer S - Sp zaman farkı, P ve S dalga şekillerinin kontrollü olarak modellenmesi ile belirlenmiştir. Üç tabakalı (İST - T3) model kabuk yapısını iyi bir şekilde temsil etmektedir.

Belirlenen yoğunluk ve hızlar fizikal olarak uygun olup, önceki çalışmaların sonuçlarıyla uyumludur. Fakat belirlenen tabaka kalınlıkları önceki çalışmaların sonuçlarından önemli ölçüde farklıdır. Bunun ise ikinci ve üçüncü tabakaların arasında hız kontrastının keskin olmayıp, dereceli bir geçiş nedeniyle olduğu düşünülebilir. Nitekim önceki bazı çalışmalarda bu süreksizlikte hız kontrasti 1 km/sn den küçüktür. Bu dereceli geçişin üçüncü tabakanın kalınlığını en çok 1 - 2 km kada değiştirmesi beklenir.

Moho süreksizliğinde hız kontrasti bu süreksizlikte oluşan dönüşüm fazlarının genlikleri ile kontrol edilir. Bu nedenle hız değerlerinin büyük bir duyarlılıkla belirlenmiş olduğu söylenebilir.

KATKI BELİRTME

Bu çalışmada eleştiri ve önerileri ile değerli katkılarından dolayı Prof. Dr. Silva Büyükaşikoğlu ve Prof. Dr. Ömer Alptekin'e içten teşekkürlerimizi sunarız.

Arşivini açarak bu çalışmada kullanılan gözlemler ve rilleri sağlayan İ.T.Ü. Maden Fakültesi Yer Fiziği Araştırma Merkezi Müdürlüğü'ne ve tüm çalışanlarına teşekkür ederiz.

Yapay sismogram hesaplamaları için geliştirilen bilgisayar programının önemli altprogramlarını gönderen Dr. Charles A. Langston'a teşekkür ederiz.

KAYNAKLAR

- Alptekin, Ö., Nabelek J.N. ve Toksöz M.N. 1987, 3 Eylül 1968 Bartın depreminin kaynak mekanizması ve Karadeniz'in aktif tektoniği hakkında düşünceler, *Jeofizik* 1, 89 - 102.
- Anonymous. 1962, Operation and maintenance manual World - Wide Seismograph System, Model 10700, The Geotechnical Corporation, 3401 Shiloh Rot, Garland, Texas.
- Bath, M. and Stefansson, R. 1966, S - P conversion at the base of the crust, *Ann. Geophys.* 19, 119 - 130.
- Baumgardt, D.R. and Alexander, S.S. 1984, Structure of the mantle beneath Montana LASA from analysis of long - period, mode - converted phases, *Bull. Seism. Soc. Am.* 74, 1683 - 1702.
- Birch, F. 1964, Density and composition of mantle and core, *J. Geophys. Res.* 69, 4377 - 4388.
- Bock, G. and Ha, J. 1984, Short - period S - P conversion in the mantle at a depth near 700 km, *Geophys. J. Roy. Astr. Soc.* 77, 593 - 615.
- Bock, G. 1988, Sp phases from the Australian upper mantle, *Geophys. J.* 94, 73 - 81.
- Burdick, L.J. and Helmberger D.V. 1974, Time functions appropriate for deep earthquakes, *Bull. Seism. Soc. Am.* 64, 1419 - 1928.
- Burdick, L.J. and Langston C.A. 1977, Modeling crustal structure through the use of converted phases in teleseismic body - wave forms, *Bull. Seism. Soc. Am.* 67, 677 - 691.
- Canitez, N. 1962, Gravite Anomalileri ve Sismolojiye Göre Kuzey Anadolu'da Arz Kabığının Yapısı, Doktora Tezi, İ.T.Ü. Maden Fakültesi, İstanbul.
- Canitez, N. 1969, Türkiye ve Çevirindeki Depremlere Ait Fundamental Moddan Yüzey Dalgaları Üzerine İncelemeler, Proje: TBTA MAG - 150.
- Carpenter, E.W. 1966, Absorption of elastic waves-An operator for a constant Q mechanism, UK. Atom. Ener. Auth. AWRE Rep. O - 43 / 66.
- Ergin, K. 1983, Jeofiziğin verilerine göre yer kabığının ve üst mantonun yapısı, İ.U. Yerbilimleri Dergisi, 50. yıl özel sayısı.
- Ezen, Ü. 1983, Kuzey ve Doğu Anadolu'da Love dalgalarının dispersiyonu ve yer kabığının yapısı, *Dep. Araç. Bül.* 43, 42 - 62.
- Faber, S. and Müller, G. 1980, Sp phases from the transition zone between the upper and lower mantle, *Bull. Seism. Am.* 70, 487 - 508.
- Fernandez, L.M. 1967, Master curves for the response of layered media to compressional seismic waves, *Bull. Seism. Soc. Am.* 57, 515 - 543.
- Futterman, W.I. 1962, Dispersive body waves, *J. Geophys. Res.* 67, 5279 - 5291.
- Hagiwara, T. 1958, A note on the theory of the electro - magnetic seismograph, *Bull. Earthquake Res. Int.*, Tokyo Univ. 36, 139 - 164.
- Hannon, W.J. 1964, An application of the Haskell - Thomson matrix method to the synthesis of the surface motion due to dilatational waves, *Bull. Seism. Soc. Am.* 54, 2067 - 2079.
- Haskell, N.A. 1960, Crustal reflection of plane SH waves, *J. Geophys. Res.* 65, 4147 - 4150.
- Haskell, N.A. 1962, Crustal reflection of plane P and SV waves, *J. Geophys. Res.* 67, 4751 - 4767.
- Hebert, L. and Langston, C.A. 1985, Crustal thickness estimate at AAE (Addis - Ababa, Ethiopia) and NAI (Nairobi, Kenya) using teleseismic P wave conversion, *Tectonophysics* 111, 299 - 327.
- Helmberger, D.V. 1968, The crust - mantle transition in the Bering Sea, *Bull. Seism. Soc. Am.* 58, 179 - 214.
- İlkışık, M. 1980, Trakya'da Yerkabığının Elektrik Yapısının Magnettelliürük Yöntemle İncelenmesi, Doktora Tezi, İ.T.Ü. Maden Fakültesi.
- Jeffreys, H. and Bullen, K.E. 1948, *Seismological Tables*, British Association for the Advancement of Science, London.
- Jordan, T.H. and Frazer L.N. 1975, Crustal and upper mantle structure from Sp phases *J. Geophys. Res.* 80, 1504 - 1518.
- Kanasewich, E.R., Alpaslan, T. and Hron, T. 1973, The importance of S - wave precursors in shear - waves studies, *Bull. Seism. Soc. Am.* 63, 2167 - 2176.
- Keith, C.M. and Crampin, S. 1977a, Seismic body waves in anisotropic media: reflection and refraction at a plane interface, *Geophys. J. Roy. Astr. Soc.* 49, 181 - 208.
- Keith, C.M. and Crampin, S. 1977b, Seismic body waves in anisotropic media: propagation through a layer, *Geophys. J. Roy. Astr. Soc.* 49, 209 - 223.
- Kenar, Ö. 1978, *Sismik P - dalgalarının Genlik Spektrumlarından Yararlanarak İstanbul ve Çivarında Yerkabğu Yapısı*, Doktora Tezi, İ.T.Ü., İstanbul.
- Kenar, Ö. ve Toksöz, M.N. 1989, Anadolu Yarımadasında yüzey dalgalarının dispersiyonu ve ortamın soğurma özellikleri, *Jeofizik* 3, 92 - 106.
- Langston, C.A. 1976a, A body wave inversion of the Koyna, India, earthquake of December 10, 1967 and some implications for body wave focal mechanisms, *J. Geophys. Res.* 81, 2517 - 2529.
- Langston, C.A. 1976b, The effect of planar dipping structure on source and receiver responses for constant ray parameter, *Bull. Seism. Soc. Am.* 67, 1027 - 1050.
- Langston, C.A. 1977, Corvallis, Oregon, crustal and upper mantle receiver structure from teleseismic P and S waves, *Bull. Seism. Soc. Am.* 67, 713 - 724.
- Langston, C.A. 1979, Structure under Mount Rainier, Washington, inferred from teleseismic body waves, *J. Geophys. Res.* 84, 4749 - 4762.
- Langston, C.A. 1981, Evidence for the subducting lithosphere under Southern Vancouver Island and Western Oregon from teleseismic P - wave conversions, *J. Geophys. Res.* 86, 3857 - 3866.
- Lee, Jia - Ju and Langston C.A. 1982, Three - dimensional ray tracing and the method of principal curvature for geometric spreading, *Bull. Seism. Soc. Am.* 73, 765 - 780.
- Leong, L.S. 1975, Crustal structure of the Baltic shield beneath Umea, Sweden, from the spectral behavior of long - period P waves, *Bull. Seism. Soc. Am.* 65, 113 - 126.
- Mindevalli, O.Y. and Mitchell, B.J. 1989, Crustal structure and possible anisotropy in Turkey from seismic surface waves dispersion, *Geophys. J. Int.* 98, 93 - 106.
- Nabelek, J.L. 1984, Determination of earthquake source parameters from inversion of body waves, Ph. D. thesis, Massachusetts Inst. of Tech., U.S.A.
- Osmansahin, İ. 1989, *Yüzey Dalgası Ortam Tepki Fonksiyonlarından Yararlanarak Anadolu ve Çivarında Kabuk ve Üst - Mantonun Belirlenmesi*, Doktora Tezi, İ.U., İstanbul.
- Özer, M.F. 1989, Dönüşüm Fazlarla Yerkabğu Yapısı Modelleme, Doktora Tezi, K.T.Ü., Trabzon.
- Phinney, R.A. 1964, Structure of the Earth's crust from spectral behavior of long period body waves, *J. Geophys. Res.* 69, 2997 - 3017.
- Snoke, J.A., Sacks, I.S. and Okada, H. 1977, Determination of the subducting lithosphere boundary by use of converted phases, *Bull. Seism. Soc. Am.* 67, 1051 - 1060.
- Treho, A.M., Nabelek, J.L. and Solomon, S.C. 1981, Source characterization of two Reykjanes Ridge Earthquakes; Surface waves and moment tensors, P waveforms and nonorthogonal nodal planes, *J. Geophys. Res.* 86, 1701 - 1724.

TEZ ÖZETLERİ

MANYETOTELLÜRK VE YAPAY KAYNAKLI MANYETOTELLÜRK FREKANS SONDAJ EĞRİLERİNDEN KATMAN PARAMETRELERİNİN DOĞRUDAN YORUMU

Cemal KAYA

Manyetotellürik (MT) derinlik sondajı tekniğinde diğer jeofizik yöntemlerde olduğu gibi yeraltı hakkında bilgi sağlamaya çalışılır. MT sondaj eğrilerinden ardışık yaklaşım yöntemi uygulaması ile katman parametreleri çözülebilir. Bu yöntemde işleme başlamadan önce katman parametreleri tahmin edilmelidir. İlk tahmin edilen değerler, gerçek katman parametrelerinden çok farklı ise ardışık yaklaşım yöntemiyle doğru sonuçlara ulaşılamaz.

Doğrudan yorum tekniği, ilk katman parametrelerinin gerçeğe çok yakın olarak bulunmasını sağlar. Doğrudan yorum yöntemi ile bulunan parametrelerin ardışık yaklaşım yönteminin ilk tahmin parametresi olarak kullanılması yararlı olacaktır.

Bu amaç için MT yöntemde kullanılmak üzere homojen ortamda fazı sıfır olan "Sıfır Fazlı Empedans" (ZPI) bağıntısı önerilmiştir. Tarafımızdan önerilen bu bağıntı kullanılarak MT sondaj eğrilerinden katman parametrelerini bulmak mümkündür. Ayrıca ZPI bağıntısının gerçek ve sanal bileşenleri ayrı ayrı incelendiğinde değişik özellikler ortaya çıkmaktadır. MT sondaj eğrilerinde özdirenç yöntemlerinde olduğu gibi katmanların etkisi açık biçimde görülmemektedir. Cagniard görünür özdirenç grafiği yerine ZPI değerleri frekansın fonksiyonu olarak grafiklenirse, katmanlar arasındaki ayırım daha kolay olarak görülebilir.

ZPI bağıntısı yardımıyla katman parametrelerini doğrudan saptanması için bir FORTRAN programı geliştirilmiştir. Yöntem bu program aracılığı ile 4 değişik tipte (K,Q,A,H) üç katmanlı eğriler ve 8 değişik tipte (HK, HA, KH, KQ, AA, AK, QQ, QH) dört katmanlı eğri örneklerine uygulanmıştır.

Yüksek Lisans Tezi (1992)

Ankara Üniversitesi, Fen Bilimleri Enstitüsü

Danışman: Doç.Dr. Ahmet Tuğrul Başokur

VİBROSİSMİK TEKNİĞİNDE SWEEP SİNYALİ SEÇİMİ

Yılmaz SAKALLIOĞLU

Hidrokarbon aramalarında vazgeçilmez yöntem olan yansımali sismik yöntemin kaynak seçimi oldukça önemlidir. Yöntemde, patlayan enerji kaynakları yanında vibratör kaynağı da çok yaygın bir şekilde kullanılmaktadır. Dünyadaki sismik ekiplerin yansımadan fazlasının kaynak olarak vibratör kullandığını anımsarsak, konunun önemini daha da vurgulamış oluruz.

Vibratörlerin yansımali sismik çalışmalarında önemini gösteren çeşitli nedenleri vardır. Herseyden önce vibratörler çeşitli parametrelere bağlı olarak kontrollü bir kaynaktır. Böyle ki, vibratörün yere gönderdiği sweep sinyali amaca uygun şekilde dizayn edilecek enerjisi ve frekans içeriği yönünden jeolojik hedef seviyelerle göre ayarlanabilir. İkinci olarak diğer enerji kaynaklarına göre daha ucuz ve daha fazla verimlilik sağlar. Üçüncü olarak; dinamitin enerji kaynağı olarak kullanılamadığı sahalarada etkin ve zararsız bir kaynak olarak kullanılabilir.

Sweep sinyali, vibratör kaynağının en önemli parametresidir. Sweep sinyali, hidrokarbon araması yapılan sahanın sinyal özeliklerine uygun aranan hedef seviyelerde arzu edilen ayırlığı sağlayabilecek şekilde seçilmelidir. Ancak bu seçim bir ön model çalışması ile yapılabilir. Genel olarak lineer ve lineer olmayan frekanslı sweep sinyalleri seçilirse de, sahanın sinyal/gürültü oranına bağlı olarak "Kombi Sweep" diye bilinen özel amaçlı sweep teknikleri de uygulanır. Arama yapılan sahalarда yansımama sinyalleri çok zayıf, hedef seviyelere yeterli miktarda enerji gönderilmiyor ve çevre gürültülerini sismik kayıtları etkiliyor ise, kombi sweep tekniği bu tip sahalarda çok başarılı olmaktadır. Ayrıca konvensiyonel sweep teknikleri ile yapılan vibrosismikte korelasyon işlemi sonucu kayıtlar üzerinde artan kolerasyon gürültüleri kombi sweep tekniği ile etkili bir şekilde bastırılabilmektedir.

Bu çalışmada, Türkiye Petrolleri Anonim Ortaklığının hidrokarbon aramaları yaptığı Güneydoğu Anadolu, bindirme kuşağındaki sismik veri kalitesinin zayıf olduğu sahalarla veri kalitesini artırabilmek için yapılan ön çalışmalar, konvensiyonel sweep teknikleri diye bilinen lineer ve lineer olmayan sweep verileri ile kombi sweep tekniği çalışmalardan elde edilmiş sismik kayıtlarının sonuçları tartışılmış ve uygulamalarla gösterilmiştir.

Yüksek Lisans Tezi (1992)

Ankara Üniversitesi, Fen Bilimleri Enstitüsü

Danışman: Prof.Dr. Turan Kayıran.

ODA ÜYELERİ

SİCİL NUMARASI	ADI SOYADI	SİCİL NUMARASI	ADI SOYADI
1108	Erdem ÖZCAN	1132	Özer BENNECİ
1109	Mustafa KUTLU	1133	Yusuf YÖNDEM
1110	Hasan GÜNDÜZ	1134	Hakan İŞYAR
1111	Murat AKÇAY	1135	Nurhan DURMAZ
1112	Nizam AKTÜRK	1136	Mehmet DEMİR
1113	Mustafa BİRİNCİ	1137	Sema KORAL
1114	Canan ORAN	1138	Taner ARICI
1115	M. Ali KARAÇAYLI	1139	Kemal ORMAN
1116	İlhami HALICI	1140	Zeynep KÖMÜRCÜ
1117	Hakan ÖZŞAHİN	1141	Mustafa TOKER
1118	M. Rifat KADIPINAR	1142	Ali SAVRAN
1119	Ö. Nasuhi YONAL	1143	G. Çiğdem ERAYMAN
1120	İ. Haluk KORKUT	1144	İzlem SELİMOĞLU
1121	Ö. Ediz AGAN	1145	Hasan ÜSTÜN
1122	H. Ertuğrul ARPACI	1146	Deniz ŞOLPAN
1123	Mehmet KARA	1147	Deniz EZER
1124	Vuslat TATAR	1148	Erkan DÜZTAŞ
1125	Hülya HOCAOĞLU	1149	Şakir ŞAHİN
1126	Nile ERTÜRK	1150	Songül HASANÇEBİ
1127	Mesut KARAKAYA	1151	Nihat KERKÜTLÜ
1128	Serdar TANK	1152	Mahmut BAYAR
1129	S. Avni DİNÇER	1153	Mustafa İŞLEKLİ
1130	Murat AYGÜN	1154	Metin ÇETİN
1131	İ. Nuri KARAGÜL	1155	GülfİYE YILMAZ

ARGEN

Yusuf GÖNDÈS

Mümessilik ve Müşavirlik Limited

Providing comprehensive support and services to
foreign companies operating in Turkey

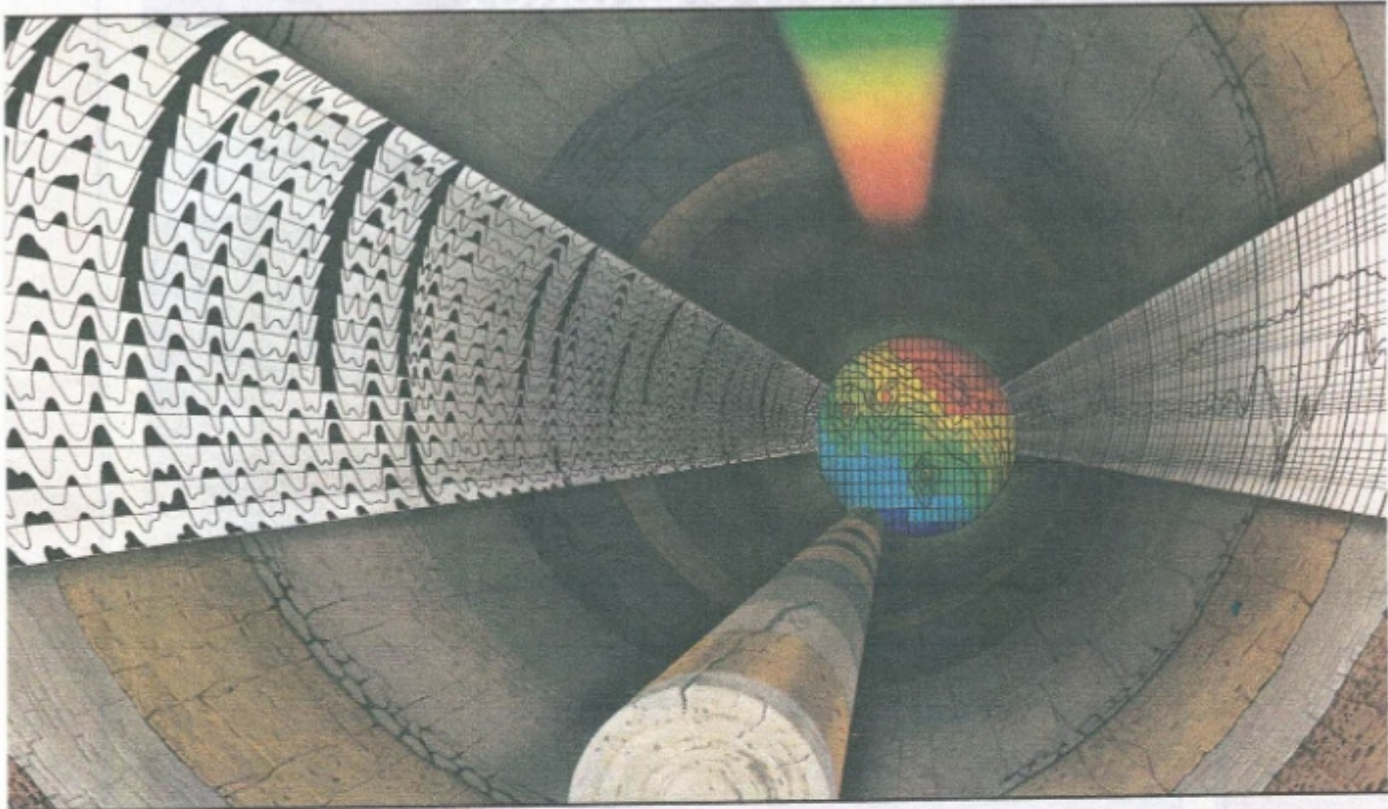
SERVICES

- ★ Representation & Agency Services
- ★ Customs Clearance and trucking
- ★ Import/Export documentation
- ★ Provision of skilled and unskilled labour
 - ★ Local purchasing
 - ★ Resident and work permits

Başçavuş sokak No: 160/1
Küçükkesat-Ankara/Turkey

Phone: 436 02 87 - 436 49 65 - 436 44 63
Fax: 436 97 03

This new combination will help you unlock more hydrocarbons



Now the oil and gas industry has its first single source for complete exploration, development, and production services. Western Atlas International (created by the combination of the Litton Resources Group and Dresser's Atlas Oilfield Services Group) links the technical resources you need.

Together, our eight companies represent a proven source for geophysical surveys, well logging, core and fluid analysis, and enhanced oil recovery—a service package unmatched by any other company in the world.

Whether you deal with one company or eight, you have a direct link to the technical resources and experience of all.

Western Geophysical

The world's largest geophysical contractor. A leader in seismic data acquisition, processing, interpretation, and reservoir geophysics.

Atlas Wireline Services

A leader in wireline services providing the latest technology in digital data acquisition and analysis for every stage in the life of a well.

McCullough

A pioneer in cased hole wireline services. Provides completion, pipe recovery, and production logging services that help maximize production.

Core Laboratories

The world's largest supplier of core and reservoir fluid analyses. Offers petrophysical services, interpretive software, petroleum-engineering, and mineral and environmental services.

LRS

Manufactures seismic sensors, energy sources, cables and connectors, data acquisition systems, logging equipment for Atlas Wireline and lab equipment for Core Laboratories.

Aero Service

Offers airborne geophysical surveys, remote sensing, photogrammetry, geodetic positioning and GPS systems, and digital data base development.

Downhole Seismic Services

Provides proprietary technology for 3-component VSPs, walkaway and salt proximity surveys, and frac monitoring.

J.S. Nolen & Associates

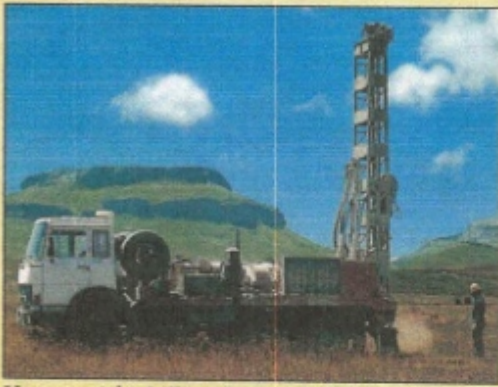
Provides a family of software to solve reservoir engineering and well performance problems throughout the world.



**Western Atlas
International**
A Litton/Dresser Company

Wesgeco House, P.O. Box 18
455 London Road, Isleworth,
Middlesex, England TW7 5AB
(01) 560-3160

EXPLORATION INNOVATORS FOR TOMORROW'S ENERGY



Heavy weight drilling rig, type P 5001



Vibrators, type VVCA, during a 3D survey

GECO-PRAKLA is an international geophysical company within the Schlumberger Group and offers a wide range of seismic acquisition, data processing and interpretation services.

GECO-PRAKLA is one of the world's leading geophysical contractors with more than 25 survey vessels, 40 land crews, 15 processing centers, 3 petroleum laboratories and 8500 employees.

GECO-PRAKLA operates a major region office in Hanover, coordinating all land seismic activities for its Europe, CIS and Middle East Region (ECM).

Schlumberger

GECO-PRAKLA

For information contact the GECO-PRAKLA office in Ankara:

PRAKLA-PETROL ARAMA ŞİRKETİ

Üğur Mumcu Caddesi No: 87/12 Gaziosmanpaşa 06700 Ankara/TURKEY

P.O. Box 41, Kavaklıdere 06691 Ankara/TURKEY

Telephone: ++90 (312) 447 05 44 Telefax: ++90 (312) 446 77 36 Telex: 42906 Scha Tr